

Page Denied

The Stability of Motion in Journal Bearings with-Dyan Subjected to Dynamic

25X1

Forces, by N. Tipei, Ref. 349NN, Rev. de Mecanique Appliquee,
v. 1, no. 2, pp. 115-122.

25X1

For very large speeds of rotation, the solution of bearings/ films, based on the modern hydrodynamic theory, needs more of a ~~verifiat~~ verification of the stability of motion than is ~~usa~~ usually assured. It is possible that such a journal may produce excessive motions rapidly, resulting in frictional wear. By utilizing the results found here, one is able to study the stability problem for journal bearings of ~~infinite~~ finite length, having three-dimensional motion.

Consider a system of fixed axes $O_1 x_1 y_1 z_1$ (Fig. 1) chosen such that the axis $O_1 z_1$ is normal to the plane of the figure and parallel to the axis of rotation (1) of the journal, and of the bearing (2). Let $Oxyz$ be a ~~mobile~~ moving axis system chosen such that the origin is at the point O and the axis Ox coincides with the line of centers $O_1 O_2$ and Oz is parallel to $O_1 z_1$.

Assume, in addition, that the geometrical axes of surfaces 1 and 2 are always parallel and that O_1 and O_2 represent the points where the axes cross the plane Oxy . Let e_1 and e_2 be ~~dx~~ the distances from the origin O to O_1 and O_2 . Then one is able to write the velocities df for surfaces (1) and (2)

(1)

Let \bar{F}_i be the resultant of the applied force \bar{P}_i and the pressures on

the surface (i). Let ~~capital~~ Ω_{i_1} be the speed of rotation of about the ~~xxx~~ axes O_i and \bar{V}_0 the velocity of motion of point O. Then one may write the equations of motion of the two bodies (journal and bearing) in which ~~of~~ M_i is the mass ~~ox~~ each (1)

(2)

In addition, the axes O_i are such that the centers of gravity of the ~~respedc~~ respective bodies move such that the moments of inertia of the bodies and the applied moments must be considered. Let M_{mi} be the applied moment and M_{fi} be the frictional moment due to the fluid film on the surfaces (i). Then $M_i = M_{mi} - M_{fi}$. Thus,

(3)

Let it be assumed that the moment of rotation are parallel to Oz as given in (3) so that they have vector characteristics. Consider the original system to move with respect ~~with~~ to point O_2 . If $d// \bar{E}_2 = p 0$, and $\bar{E}_1 / \bar{E}_1 = -E$, the equations of motion are

(4)

~~ox~~ or
for respectively for axes Ox and Oy

(5)

In Figure 1 it may be seen that, existing between the speed of rotation, gamma with a dot over it ($\Omega_{i_1}, \Omega_{i_2}, T$) of the load \bar{P} , the speed of rotation \dot{P} of the line of centers, and the relative speed of rotation theta with

-3-

a dot above it and an asterisk following it) of the load relative to the line of centers, there exists a relation

(6)

Consider ~~perturb-~~ perturbations of the variables V_{Ox} , V_{Oy} , θ^* and $\alpha = E/\Delta$ (in which Δ is the radial clearance) to have the forms

(7)

By using these relations in the equation of motion and linearizing the results with ~~resp~~ respect to the perturbations, it follows that

(8)

In case the perturbations permit, one may consider α^* , θ^* , ω_1^* , θ_2^* , V_{Ox}^* , V_{Oy}^* are independent of time. The system (8) must satisfy the condition of compatibility. It follows that, if D is the determinant of the coefficients,

(9)

the result is an equation of the eighth degree in nu .

(10)

Stability exists if the real parts of the roots nu_j ($j = 1, 2, \dots, 8$) are negative. This may be determined by the Routh-Hurwitz criterion. Thus, the successive determinants D_j included by the horizontal and vertical lines of the following table must have the sign of C_1

(11)

Now it should be noted that in the majority of the cases, one may consider that the perturbation velocities ~~Ex~~ $\delta \Omega_1$ and $\delta \Omega_2$ are 0 respectively, $\Omega_1^* = \Omega_2^* = 0$. In this case, the last two equations of the system (8) necessarily require that the total variation of the moment due to the perturbations of ~~alpha~~ θ^* , V_{Ox} , V_{Oy} , are 0, and the moment varies in this case with the moment of friction. For rapid motion, this condition is difficult to realize because it is necessary to note that the perturbations have little effective influence on the motion about the center of gravity and that the variations of Ω_1 and Ω_2 are therefore negligible.

Continuing this hypothesis, equation (10) is of the sixth degree since $C_0 =$
~~C~~ $C_1 = 0$, and the stability conditions require

(12)

The derivatives of the functions F_{ix} , F_{iy} and M_i taken with respect to α , ~~Ex~~ θ^* , Ω_1 , Ω_2 , ~~Ex~~ V_{Ox} , V_{Oy} , may be very easily found and the results expressed as ~~Ex~~ in (3) and (4) for cases of variable speed and for slight misalignment (?).

Assume in particular that $\bar{V}_0 = 0$ and that the point O_2 is fixed with respect to the origin O , $\Omega_0 = 0$ and $\dot{\gamma}$ with a dot over it $= -\Omega_1$. One has, therefore, a bearing with a centrifugal-like force such as is often encountered. The characteristic equation (10) is now of the fourth

degree

(13)

Conditions (11) simplify considerably for this case since one may set $C_0 = C_1 = C_2 = C_3 = 0$. in equation (10). It follows that

(14)

From references (2), (3), (4), it is possible to write previously obtained results

(15)

Finally, one must consider

(un)

with

(16)

If, $((\alpha \text{ with a dot over it})_0)$ is greater than 0, that is the initial moment of the surfaces have the tendency to approach each other, an undesirable situation in practice, C_5 and C_6 are positive. Assuming finally that Θ/θ with two dots above it, followed by an asterisk, is greater than 0, is it possible to note that $\partial(F_1 y)/\partial \alpha/M_1 \Delta$, and also $(\Omega_1 + \theta \text{ with a dot over it and an asterisk})^2$, it follows that immediately that C_8 is greater than 0 and the sign of coefficient C_7

depends ~~on~~ upon the sign of the sum,

(17)

By virtue of the preceding hypothesis, the second parenthesis of the first ~~term~~ term and of the second term in Equation (17) are positive. When the speed of rotation is great, the first parenthesis of the first term may be taken to be positive if alpha approaches 1. Similarly, at very large speeds, and alpha approach 1, the second term predominates such that s is greater than 0 even if the first parenthesis becomes negative. On the other hand, if alpha approaches 0, s is negative and the motion will be unstable such that it is necessary to examine the two last conditions of (14). It is evident, finally, ^{as} that/the rotational speed reduces, stability conditions improve for reduced values of the relative eccentricity α ratio, but the conclusions which concern ~~the~~ the regions of favorable values of alpha for stability are the same.

It is necessary to mention, finally, that the values of alpha which are taken for determining the ~~coeff-~~ coefficients C_i are those which correspond to the initial condition when they are more or less constant. Only when, under large loads, alpha approaches 1, does one have generally good stability. Similarly, for short periods of heavy loads, the derivatives (3) partial $F_1 x /$ partial alpha and ~~dynamic straight line~~ partial $F_1 y /$ partial alpha have very large values.

In the case of centrifugal loading, one may determine approximately the motion of rotation ~~by~~ by direct observation. By neglecting N(5), the derivatives

-7-

e and e the system reduces to

(18)

If the load is large, $(\Omega_1 + T \dot{\theta}^*)^2$, and the rotational speed is very large such that small quantities θ occurring in the second term are in the order of 10^{-1} , and $\ddot{\theta}$ has also reduced values. In this case, one may make a first approximation from (18), $C_n/C_t = \tan \theta^*$; as a consequence, a differential-differential equation and $\dot{\theta}^*$ results

(19)

If $\dot{\theta}^*$ is negligible in comparison to Ω_1 (at these speeds, high rotation,) and if one considers the tangent θ^* to be approximately equal to $\alpha \theta^*$ (a valuable hypothesis for ordinary loads), it results that θ_0^* and $\dot{\theta}_0^*$ correspond to the initial values

/(BØY

(20)

It is easy to deduce from the preceding equation that θ^* may be reduced to near zero only if θ_0^* and $\dot{\theta}_0^*$ have contrary signs and if $-\theta_0^* \Omega_1 / \dot{\theta}_0^*$ is less than or equal to 1. Generally, this last condition does not occur since it results

only with large loads and reduced values of θ_0^* , and Ω_1 greater than $\dot{\theta}_0^*$. Therefore, $|\theta^*|$ must be diminished so that the moment --you can see this in the middle of page 121, starts with a t^{-1} over Ω_1 , a value which is continually increasing (non-periodic). If $\dot{\theta}_0^*$ is less than 0, θ_0^* and $\dot{\theta}_0^*$ are of the same sign and $|\theta^*|$ continually increase. Then the sort of ^{simplified} hypotheses introduced in (19) are not valid. It is important to note that this situation is less dangerous in the operation of bearings because ^{it} they correspond generally to a contact (?) of bodies (1), (2), in the region where the film thickness is minimum. Finally, if the value of the initial speed is $\dot{\theta}_0^* = -\Omega_1 \theta_0^*$, it follows that

next to the last paragraph
(page 7)

As the result of this analysis, using another method than the preceding result indicates that for certain values for $\dot{\theta}_0^*$, the consequence of including the effect of small perturbation is that the motion x is limited in amplitude because of the direction of ^{retardation} loading, and this varies rapidly with time. The final position $(\theta^*)_t \rightarrow \infty = 0$ is independent of θ_0^* and $\dot{\theta}_0^*$, as a consequence of the perturbations $\Delta \theta_0^*$ and $\Delta \dot{\theta}_0^*$. Therefore, the resulting motion is characterized as being stable.

Tipei, N. 7346
 La stabilité du mouvement dans les paliers à charge dynamique
 Revue de mécanique appliquée, Tome 1, 1956 No. 2, pp. 1-8.

REVUE DE MÉCANIQUE APPLIQUÉE
 Tome 1, 1956, N° 2

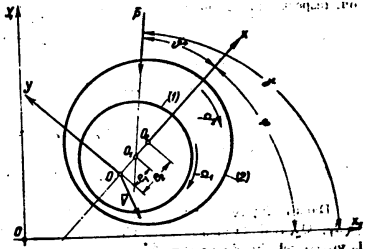
LUBRIFICATION

LA STABILITÉ DU MOUVEMENT DANS LES PALIERS
 À CHARGE DYNAMIQUE*)

PAR N. TIPEI

Pour des vitesses de rotation très grandes, le calcul des paliers, ayant à la base les théories hydrodynamiques modernes, demande en plus une vérification de la stabilité du mouvement, qui n'est pas toujours assurée et peut produire rapidement des usures excessives ou des accidents de fonctionnement. Utilisant les résultats trouvés antérieurement, on fera l'étude du problème de la stabilité pour les paliers circulaires de largeur finie (mouvement tridimensionnel).

Soit un système fixe d'axes $O_1x_1y_1z_1$ (fig. 1) choisi de sorte que l'axe O_1x_1 soit normal au plan de la figure parallèle aux axes du tourillon (1) et du coussinet (2) et $O_1y_1z_1$ un système mobile ayant l'origine dans un point O quelconque; l'axe Ox coïncide avec la ligne des centres O_1O_2 et Oz est parallèle à O_1z_1 .



On suppose, ensuite, que les axes géométriques des surfaces (1) et (2) sont toujours parallèles, et O_1 et O_2 représentent les points où elles percent le plan Oxy . Notant e_1 et e_2 les distances à l'origine O de O_1 et O_2 , on peut écrire les vitesses des corps (1) et (2)

$$\vec{V}_i = \dot{e}_i + \vec{\omega} \wedge \vec{e}_i, \quad (i = 1, 2). \quad (1)$$

*) Cette étude a été publiée en roumain dans « Comunicările Academiei R.P.R. », 1956, 5, 16, 1723.

Soit \bar{F}_i la résultante de la force appliquée \bar{F}_i et des pressions sur la surface (i), Ω_i les vitesses de rotation autour des axes O_i et V_0 la vitesse d'entraînement du point O ; on peut écrire les équations du mouvement des deux corps, si m_i est la masse de chacun [1]

$$\ddot{\bar{e}}_i + \dot{\bar{V}}_0 + \dot{\phi} \wedge (2\bar{e}_i + \bar{V}_0) + \ddot{\phi} \wedge \bar{e}_i - \bar{e}_i \dot{\phi}^2 = \frac{\bar{F}_i}{m_i} \quad (2)$$

Autour des axes O_i , dont on admet qu'elles passent par les centres de gravité des corps respectifs, on obtient, aussi, les équations du mouvement suivantes, où I_i sont les moments d'inertie par rapport à ces axes, M_{mi} les moments moteurs appliqués, M_f les moments de frottement exercés par le fluide sur les surfaces (i), et $M_i = M_{mi} - M_f$ la différence respective

$$-I_i \dot{\Omega}_i = M_i \quad (3)$$

Etant donné que les moments et les rotations sont parallèles à Oz , la relation (3) n'a plus un caractère vectoriel. Si l'on considère l'origine du système mobile au point O_2 , $\bar{e}_2 = 0$, $e_1 = -e$, on obtient les équations de mouvement

$$\begin{aligned} -\ddot{\bar{e}} + \dot{\bar{V}}_0 + \dot{\phi} \wedge (-2\bar{e} + \bar{V}_0) - \ddot{\phi} \wedge \bar{e} + \bar{e} \dot{\phi}^2 &= \frac{\bar{F}_1}{m_1} \\ \dot{\bar{V}} + \dot{\phi} \wedge \bar{V}_0 &= \frac{\bar{F}_2}{m_2} \end{aligned} \quad (4)$$

ou, respectivement, pour les axes Ox et Oy

$$\begin{aligned} -\ddot{e} + \dot{V}_0 - \dot{\phi} V_0 + e \dot{\phi}^2 &= \frac{F_{1x}}{m_1} \\ \dot{V}_0 + \dot{\phi} V_0 - 2\dot{\phi} e - \ddot{e} &= \frac{F_{2x}}{m_2} \\ \dot{V}_0 - \dot{\phi} V_0 &= \frac{F_{2y}}{m_2} \\ \dot{V}_0 + \dot{\phi} V_0 &= \frac{F_{2z}}{m_2} \end{aligned} \quad (5)$$

Dans la figure 1 on voit aisément qu'il existe entre la vitesse de rotation $\dot{\phi}$ (Ω_1 , Ω_2 , $\dot{\phi}$) de la charge \bar{P} , la vitesse de rotation $\dot{\phi}$ de la ligne des centres et la vitesse relative de rotation δ^* de la charge par rapport à la ligne des centres, la relation

$$\dot{\phi} = \dot{\gamma} - \delta^* \quad (6)$$

En considérant les perturbations des variables V_{0x} , V_{0y} , δ^* et $\alpha = \frac{e}{\Delta}$ (Δ étant le jeu radial) de la forme

$$\begin{aligned} \delta V_{0x} &= V_{0x}^* e^{i\omega t}; \quad \delta V_{0y} = V_{0y}^* e^{i\omega t}; \quad \delta \delta^* = \delta^{**} e^{i\omega t}; \\ \delta \alpha &= \alpha^* e^{i\omega t}; \quad \delta \Omega_1 = \Omega_1^* e^{i\omega t}; \quad \delta \Omega_2 = \Omega_2^* e^{i\omega t}; \end{aligned} \quad (7)$$

on arrive aux équations qui définissent les valeurs V_{0x}^* , V_{0y}^* , δ^{**} , α^* , si l'on écrit que les solutions (7) vérifient le système (5) et si l'on linéarise les équations par rapport aux valeurs des perturbations

$$\begin{aligned} \left[\Delta v^2 - (\dot{\gamma} - \delta^*)^2 \Delta + \frac{1}{m_1} \frac{\partial F_{1x}}{\partial \alpha} \right] \alpha^* - \left[V_{0y} - 2\alpha \Delta (\dot{\gamma} - \delta^*) - \frac{1}{m_1} \frac{\partial F_{1x}}{\partial \delta^*} \right] v^* - \frac{1}{m_1} \frac{\partial F_{1x}}{\partial \delta^*} \delta^{**} + [V_{0y} - 2\alpha \Delta (\dot{\gamma} - \delta^*)] \left(\frac{\partial \dot{\gamma}}{\partial \Omega_1} \Omega_1^* + \frac{\partial \dot{\gamma}}{\partial \Omega_2} \Omega_2^* \right) + \frac{1}{m_1} \frac{\partial F_{1x}}{\partial \Omega_1} \Omega_1^* + \frac{1}{m_1} \frac{\partial F_{1x}}{\partial \Omega_2} \Omega_2^* - \left(v - \frac{1}{m_1} \frac{\partial F_{1x}}{\partial V_{0x}} \right) V_{0x}^* + (\dot{\gamma} - \delta^* + \frac{1}{m_1} \frac{\partial F_{1x}}{\partial V_{0y}}) V_{0y}^* = 0, \\ - \left[2(\dot{\gamma} - \delta^*) \Delta v + (\dot{\gamma} - \delta^*) \Delta + \frac{1}{m_1} \frac{\partial F_{1y}}{\partial \alpha} \right] \alpha^* + \left[\alpha \Delta v^2 + (2\dot{\alpha} \Delta - V_{0x} - \frac{1}{m_1} \frac{\partial F_{1y}}{\partial \delta^*}) v - \frac{1}{m_1} \frac{\partial F_{1y}}{\partial \delta^*} \right] \delta^{**} + \left[(V_{0x} - 2\dot{\alpha} \Delta) \frac{\partial \dot{\gamma}}{\partial \Omega_1} - \alpha \Delta \left(\frac{\partial \dot{\gamma}}{\partial \Omega_1} + \frac{\partial \dot{\gamma}}{\partial \Omega_2} \right) v \right] - \frac{1}{m_1} \frac{\partial F_{1y}}{\partial \Omega_1} \Omega_1^* + \left[(V_{0x} - 2\dot{\alpha} \Delta) \frac{\partial \dot{\gamma}}{\partial \Omega_2} - \alpha \Delta \left(\frac{\partial \dot{\gamma}}{\partial \Omega_2} + \frac{\partial \dot{\gamma}}{\partial \Omega_1} \right) v \right] - \frac{1}{m_1} \frac{\partial F_{1y}}{\partial \Omega_2} \Omega_2^* + (\dot{\gamma} - \delta^* - \frac{1}{m_1} \frac{\partial F_{1y}}{\partial V_{0x}}) V_{0x}^* + \left(v - \frac{1}{m_1} \frac{\partial F_{1y}}{\partial V_{0y}} \right) V_{0y}^* = 0, \\ - \frac{1}{m_2} \frac{\partial F_{2x}}{\partial \alpha} \alpha^* + \left[\left(V_{0y} - \frac{1}{m_2} \frac{\partial F_{2x}}{\partial \delta^*} \right) v - \frac{1}{m_2} \frac{\partial F_{2x}}{\partial \delta^*} \right] \delta^{**} - \left(V_{0y} \frac{\partial \dot{\gamma}}{\partial \Omega_1} + \frac{1}{m_2} \frac{\partial F_{2x}}{\partial \Omega_1} \right) \Omega_1^* - \left(V_{0y} \frac{\partial \dot{\gamma}}{\partial \Omega_2} + \frac{1}{m_2} \frac{\partial F_{2x}}{\partial \Omega_2} \right) \Omega_2^* + \left(v - \frac{1}{m_2} \frac{\partial F_{2x}}{\partial V_{0x}} \right) V_{0x}^* - (\dot{\gamma} - \delta^* + \frac{1}{m_2} \frac{\partial F_{2x}}{\partial V_{0y}}) V_{0y}^* = 0, \\ - \frac{1}{m_2} \frac{\partial F_{2y}}{\partial \alpha} \alpha^* - \left[\left(V_{0x} + \frac{1}{m_2} \frac{\partial F_{2y}}{\partial \delta^*} \right) v + \frac{1}{m_2} \frac{\partial F_{2y}}{\partial \delta^*} \right] \delta^{**} + \left(V_{0x} \frac{\partial \dot{\gamma}}{\partial \Omega_1} - \frac{1}{m_2} \frac{\partial F_{2y}}{\partial \Omega_1} \right) \Omega_1^* + \left(V_{0x} \frac{\partial \dot{\gamma}}{\partial \Omega_2} - \frac{1}{m_2} \frac{\partial F_{2y}}{\partial \Omega_2} \right) \Omega_2^* + (\dot{\gamma} - \delta^* - \frac{1}{m_2} \frac{\partial F_{2y}}{\partial V_{0x}}) V_{0x}^* + \left(v - \frac{1}{m_2} \frac{\partial F_{2y}}{\partial V_{0y}} \right) V_{0y}^* = 0, \\ \frac{\partial M_1}{\partial \alpha} \alpha^* + \left(\frac{\partial M_1}{\partial \delta^*} + \frac{\partial M_1}{\partial \delta^*} v \right) \delta^{**} + (2\Omega_1 + I_1 v) \Omega_1^* + \frac{\partial M_1}{\partial \Omega_2} \Omega_2^* + \frac{\partial M_1}{\partial V_{0x}} V_{0x}^* + \frac{\partial M_1}{\partial V_{0y}} V_{0y}^* = 0, \\ \frac{\partial M_2}{\partial \alpha} \alpha^* + \left(\frac{\partial M_2}{\partial \delta^*} + \frac{\partial M_2}{\partial \delta^*} v \right) \delta^{**} + \frac{\partial M_2}{\partial \Omega_1} \Omega_1^* + \left(\frac{\partial M_2}{\partial \Omega_2} + I_2 v \right) \Omega_2^* + \frac{\partial M_2}{\partial V_{0x}} V_{0x}^* + \frac{\partial M_2}{\partial V_{0y}} V_{0y}^* = 0. \end{aligned} \quad (8)$$

Au cas où les perturbations gardent des valeurs réduites, on peut admettre des valeurs moyennes pour les coefficients des inconnues α^* , δ^{**} , Ω_1^* , Ω_2^* , V_{0x}^* , V_{0y}^* , qui sont définies de cette manière comme indépendantes du temps,

Le système (8) doit satisfaire à la condition de compatibilité; si D est le déterminant des coefficients, on a

D = 0 (9)

d'où résulte ensuite une équation du huitième degré en v

C_0 v^8 + C_1 v^7 + C_2 v^6 + C_3 v^5 + C_4 v^4 + C_5 v^3 + C_6 v^2 + C_7 v + C_8 = 0. (10)

La condition de stabilité exige que la partie réelle des racines v_j (j = 1, 2, ..., 8) soit négative et s'exprime par les critères connus, Routh-Hurwitz, c'est-à-dire que les déterminants successifs D_j inclus par les lignes horizontales et verticales du tableau suivant, doivent avoir le signe de C_1

Table with 8 rows and 8 columns of coefficients C_1 through C_8. The table is used for Routh-Hurwitz stability analysis.

Toutefois, on remarque que, dans la majorité des cas, on peut considérer que les vitesses de perturbation delta Omega_1 et delta Omega_2 sont nulles, respectivement Omega_1 = Omega_2 = 0. Dans ce cas, les deux dernières équations du système (8) expriment le fait que la variation totale du moment due aux perturbations de alpha, delta, V_0 ou V_0v est nulle, le moment moteur variant à cette fin avec le moment de frottement. Pour des mouvements rapides, cette condition est difficilement réalisable, pourtant on peut admettre que les perturbations n'ont pas d'influence sensible sur les mouvements autour des centres de gravité, et que les variations de Omega_1 et de Omega_2 sont donc négligeables.

En partant de cette hypothèse, l'équation (10) est du sixième degré C_6 = C_1 = 0, et les conditions de stabilité sont

C_2 > 0, C_3 > 0, D_2 = C_2 C_4 - C_3 C_5 > 0, D_3 = C_2 D_2 - C_3 C_6^2 + C_3 C_7 C_7 > 0, D_4 = C_2 D_3 - C_3 [C_2 D_2 - C_3 (C_2 C_4 - C_3 C_5)] + C_3^2 C_7 D_2 > 0, D_5 = C_7 D_4 - C_3 [C_2 D_2 - C_3 (C_2 C_4 - C_3 C_5)] > 0. (12)

Les dérivées des fonctions F_x, F_y et M_t par rapport à alpha, delta, Omega_1, Omega_2, V_0v et V_0v peuvent être facilement tirées des expressions établies antérieurement [3], [4] pour le cas des forces et des vitesses variables et pour n'importe quel allongement lambda.

Soit le cas particulier V_0 = 0, le point O_2 fixe se confondant avec l'origine O, Omega_1 = 0 et delta = -Omega_1. On a ainsi le palier à charge centrifuge, souvent

rencontré en pratique. L'équation caractéristique (10) est dans ce cas du quatrième degré et a l'expression

v^4 + 1/alpha (2z - 1/m_1 Delta) v^3 + {3(Omega_1 + delta^*)^2 + 1/m_1 Delta [1/alpha - 1/alpha^2]} v^2 - 2/alpha (Omega_1 + delta^*) (1/m_1 Delta) v + {2[(Omega_1 + delta^*) (1/m_1 Delta) + alpha (1/m_1 Delta - delta^*)]} + {delta^* (Omega_1 + delta^*)^2 - 1/m_1 Delta} v + 1/m_1 Delta [(1/m_1 Delta) (1/alpha - (Omega_1 + delta^*)^2) + (delta^* - 1/m_1 Delta) (1/alpha^2)] = 0. (13)

Les conditions (11) se simplifient considérablement pour ces paliers; en tenant compte du fait que C_0 = C_1 = C_2 = C_3 = 0 dans l'équation (10), respectivement (13), elles sont,

C_4 > 0, C_5 > 0, C_7 > 0, C_6 > 0, D_2 = C_4 C_6 - C_5 C_7 > 0, C_7 D_2 > C_5 C_6^2. (14)

En tenant compte ensuite des résultats trouvés dans des études antérieures [2], [3], [4], on peut écrire

delta F_x / delta alpha = -12 mu_1 lambda r^2 / psi^2 (Omega_1 + 2 delta^*) (C_1 / (1 + alpha)); delta F_y / delta delta = P sin delta^*, delta F_x / delta delta^* = -12 mu_1 lambda r^2 / psi^2 (1 + alpha) C_1; delta F_y / delta alpha = -12 mu_1 lambda r^2 / psi^2 (Omega_1 + 2 delta^*) (C_2 / (1 + alpha)); delta F_y / delta delta^* = -P cos delta^*; delta F_x / delta delta^* = -12 mu_1 lambda r^2 / psi^2 (1 + alpha). (15)

C_1 < 0; C_2 > 0; -pi/2 < delta^* < 0; alpha > 0.

On peut considérer, ensuite,

delta (C_1 / (1 + alpha)) < 0, delta (C_2 / (1 + alpha)) > 0, |delta^*| < Omega_1

donc

delta F_x / delta alpha > 0, delta F_x / delta delta^* < 0, delta F_y / delta delta^* > 0, delta F_y / delta alpha < 0, delta F_y / delta delta^* < 0, delta F_x / delta delta^* < 0. (16)

Si (alpha)_0 > 0, c'est-à-dire au moment initial les surfaces ont la tendance de s'approcher, cas désavantageux en pratique, C_4 et C_5 sont positifs. En considé-

rant ensuite $\delta^* > 0$, ou petit par rapport à $\frac{1}{m_1 \Delta} \frac{\partial F_{12}}{\partial \alpha}$ et à $(\Omega_1 + \delta^*)^2$, on voit immédiatement que $C_1 > 0$ et le signe du coefficient C_1 dépend du signe de la somme

$$s = \left[\frac{1}{m_1 \Delta} \frac{\partial F_{12}}{\partial \alpha} - (\Omega_1 + \delta^*)^2 \right] \left(2\alpha - \frac{1}{m_1 \Delta} \frac{\partial F_{12}}{\partial \delta^*} \right) + \left(\frac{1}{m_1 \Delta} \frac{\partial F_{12}}{\partial \alpha} - \delta^* \right) \left[\frac{\partial F_{12}}{\partial \delta^*} \frac{1}{m_1 \Delta} - 2\alpha (\Omega_1 + \delta^*) \right]. \quad (17)$$

Conformément aux hypothèses, la seconde parenthèse du premier terme et le deuxième terme de s sont positifs. Au cas des grandes vitesses de rotation, la première parenthèse du premier terme peut à son tour être positive, si $\alpha \rightarrow 1$. De même, aux très grandes vitesses et $\alpha \rightarrow -1$, le second terme peut devenir prépondérant, de sorte que $s > 0$, même si la première parenthèse reste négative. Au contraire, si $\alpha \rightarrow 0$, s est négatif, et le mouvement s'avère instable, même sans qu'il soit nécessaire d'examiner les deux dernières conditions de (14). Il est évident ensuite, qu'aux vitesses de rotation réduites, les conditions de stabilité s'améliorent pour des valeurs réduites de l'excentricité relative, mais les conclusions, en ce qui concerne le domaine des valeurs d' α favorables à la stabilité, sont les mêmes.

Il faut mentionner ensuite que par les valeurs d' α on entend celles qui entrent dans le calcul des coefficients C_1 , c'est-à-dire les valeurs correspondantes au moment initial, ou les valeurs moyennes constantes. Il en résulte que les paliers à charge élevée où $\alpha \rightarrow 1$ ont généralement une bonne stabilité. De même, sont avantageux les petits allongements où pour une charge ζ donnée, [3], les dérivées $\frac{\partial F_{12}}{\partial \alpha}$ et $\left[\frac{\partial F_{12}}{\partial \alpha} \right]$ ont des valeurs élevées.

Au cas des charges centrifugales, on peut facilement déterminer le mouvement approximatif du tourillon, par voie directe. En négligeant en (5) les dérivées $\dot{\epsilon}$ et $\ddot{\epsilon}$, on en déduit le système

$$\left. \begin{aligned} (\Omega_1 + \delta^*)^2 &= \frac{F_{12}}{e m_1} = - \frac{12 \mu_1 \lambda r_0^2}{m_1 \psi^2 \Delta} (\Omega_1 + 2\delta^*) - \frac{C_1}{\alpha(1+\alpha)} - \frac{P}{e m_1} \cos \delta^*, \\ \delta^* &= \frac{F_{12}}{e m_1} = - \frac{12 \mu_1 \lambda r_0^2}{m_1 \psi^2 \Delta} (\Omega_1 + 2\delta^*) - \frac{C_2}{\alpha(1+\alpha)} - \frac{P}{e m_1} \sin \delta^*. \end{aligned} \right\} \quad (18)$$

Si la charge est élevée, $(\Omega_1 + \delta^*)^2$, même à des vitesses de rotation très grandes, est de l'ordre 10^{-1} ou plus petit par rapport aux termes du second membre, et δ^* a des valeurs encore plus réduites. En ce cas on peut poser en (18), en première approximation, $\frac{C_1}{\alpha} = \text{tg } \delta^*$; on obtient ainsi l'équation différentielle en δ^* :

$$\ddot{\delta}^* - (\Omega_1 + \delta^*)^2 \text{tg } \delta^* = 0. \quad (19)$$

Si δ^* est négligé par rapport à Ω_1 (à des vitesses de rotation élevées) et si l'on considère $\text{tg } \delta^* \approx \delta^*$ (hypothèse valable pour les charges importantes), il en résulte, en notant δ_0^* et δ_0^* les valeurs initiales correspondantes:

$$\delta^* = \frac{\delta_0^*}{\Omega_1} \text{sh } \Omega_1 t + \delta_0^* \text{ch } \Omega_1 t. \quad (20)$$

De cette équation, on déduit facilement que δ^* ne peut être annulé que si δ_0^* et δ_0^* ont des signes contraires, et $-\delta_0^* \frac{\Omega_1}{\delta_0^*} < 1$. Généralement, cette dernière condition n'est pas remplie, étant donné qu'aux charges élevées δ_0^* a des valeurs réduites, et $\Omega_1 > \delta_0^*$, donc $|\delta^*|$ peut diminuer, jusqu'au moment $t = \frac{1}{\Omega_1} \text{arg th} \left(-\frac{\delta_0^*}{\delta_0^* \Omega_1} \right)$, à partir duquel il augmente continuellement. Si $\delta_0^* < 0$, δ_0^* et δ_0^* sont du même signe et $|\delta^*|$ peut augmenter continuellement, de sorte que les hypothèses simplificatrices introduites en (19) ne sont plus valables. Toutefois, on remarque que cette situation est moins dangereuse dans le fonctionnement des paliers parce qu'elle correspond généralement à un écartement des corps (1) et (2) dans la région où l'épaisseur de la pellicule de lubrifiant est minime. Enfin, si la valeur de la vitesse initiale est $\delta_0^* = -\Omega_1 \delta_0^*$, il en résulte $\delta^* = \delta_0^* e^{-\Omega_1 t}$, $\dot{\delta}^* = \delta_0^* e^{-\Omega_1 t}$.

On trouve ainsi, par une autre voie, le résultat précédent, c'est-à-dire qu'aux charges élevées, pour certaines valeurs de δ_0^* où se trouve aussi inclus l'effet d'une perturbation quelconque, le mouvement est limité en amplitude par rapport à la direction de la charge rotative et varie très rapidement avec le temps. La position finale $(\delta^*)_{t \rightarrow \infty} = 0$ est indépendante de δ_0^* et δ_0^* , on peut entrer aussi les perturbations δ_0^* , δ_0^* , donc le mouvement présente un caractère stable.

STABILITÄT DER BEWEGUNG VON LAGERN MIT DYNAMISCHER BELASTUNG

(ZUSAMMENFASSUNG)

Es werden die Bewegungsgleichungen der Teile eines Lagers mit veränderlicher Belastung und Geschwindigkeit aufgestellt und die Lineargleichungen der dynamischen Stabilität abgeleitet.

Weiterhin werden die allgemeinen Stabilitätsbedingungen bestimmt, wobei der Bewegung fester Körper entsprechenden Gravitätszentren Rechnung getragen ist.

Es werden einfachere Fälle dynamischer Stabilität dargestellt und die verschiedenen Fälle zentrifugaler Belastung in einem Lager mit unbeweglicher Lagerschale untersucht.

Tipei, N.
La stabilité du mouvement dans les paliers à charge dynamique 7346
Revue de mécanique appliquée, tome 1, 1958 No. 2, pp.1-8.

193

N. TIPEI

BIBLIOGRAPHIE

1. T. LEVI CIVITA, UGO AWALDI, *Lezioni di meccanica razionale*. Zanichelli, Bologna, 1930.
2. N. TIPEI, *O metodă generală pentru studiul mișcării în pelicula de lubrifiant dintre două suprafețe de dimensiuni finite* (Une méthode générale pour l'étude du mouvement dans la pellicule de lubrifiant entre deux surfaces de dimensions finies). Studii și cercetări de mecanică și metalurgie, 1951, 2, 1-4, 27-34.
3. — *Considerații asupra calculului lagărelor prin alunecare* (Considérations sur le calcul des paliers lisses). Buletin științ. Acad. R.P.R., Secțiunea de științe tehnice și chimice, 1952, 4, 2-4, 291.
4. — *Calculul lagărelor cu alunecare supuse la forțe variabile* (Le calcul des paliers lisses à charge variable). Studii și cercetări de mecanică și metalurgie, 1953, 4, 1-4, 125-143.

Tipei, N. 7342 Gross, V
 O metoda generala pentru studiul miscarii in pelicula de...
 Studii si cercetari de mecanica si metalurgie, Tom II, 1951, pp.1-58 25X1

STUDII ȘI CERCETĂRI DE MECANICĂ ȘI METALURGIE

Tom. II, 1951

25X1

O METODĂ GENERALĂ PENTRU STUDIUL MIȘCĂRII
 ÎN PELICULA DE LUBRIFIANT DINTRE DOUA
 SUPRAFEȚE DE DIMENSIUNI FINITE

DE

N. TIPEI

Pentru a se asigura o lubrificație în bune condițiuni între două suprafețe solide în contact și supuse la forțe exterioare, este necesară existența unei pelicule de ulei suficient de groasă între aceste suprafețe, astfel ca nu numai coeficientul de frecare să fie scăzut, dar să se poată evacua și căldura dezvoltată prin travaliul forțelor de frecare, asigurându-se în acest scop un debit suficient de lubrifiant. În această situație, mișcarea din interiorul peliculei este supusă legilor hidrodinamice, pe baza cărora ea poate fi studiată în întregime.

Față de un sistem oarecare de axe de coordonate O, x, y, z , ecuațiile generale de mișcare ale unui fluid vâscos incompresibil sunt

$$\left. \begin{aligned} \frac{du}{dt} &= f_x - \frac{1}{\rho} \frac{\partial p}{\partial x} + \nu \Delta u \\ \frac{dv}{dt} &= f_y - \frac{1}{\rho} \frac{\partial p}{\partial y} + \nu \Delta v \\ \frac{dw}{dt} &= f_z - \frac{1}{\rho} \frac{\partial p}{\partial z} + \nu \Delta w \end{aligned} \right\} \quad (1)$$

$$\frac{\partial u}{\partial x} + \frac{\partial v}{\partial y} + \frac{\partial w}{\partial z} = 0 \quad (2)$$

în care u, v, w sunt componentele vitezei pe cele trei axe, f_x, f_y, f_z sunt forțele exterioare raportate la unitatea de masă, iar $\nu = \frac{\mu}{\rho}$ este viscozitatea cinematică a fluidului, adică raportul dintre coeficientul de viscozitate μ și densitatea ρ . Ecuațiile (1) sunt ecuațiile propriu zise ale mișcării, iar (2) este relația de continuitate care exprimă conservarea masei de fluid.

Pentru cazul peliculei de lubrifiant se poate observa imediat că atât forțele exterioare (greutatea uleiului din peliculă), cât și forțele de inerție, respectiv accelerațiile care figurează în membrul întâiu al ecuațiilor (1) sunt foarte mici față de efectul presiunilor și al viscozității, care joacă rolul preponderent.

Intr'adevăr, vitezele variază dela un punct la altul în pelicula de ulei, ceea ce face să apară accelerații a căror mărime este însă redusă, vitezele respective nefiind, la rândul lor, însemnate, iar variațiile cu punctul sunt de asemenea lente. Totodată, mișcarea în pelicula de ulei se poate considera staționară, ea nedepinzând direct de timp decât în cazuri speciale cum ar fi articulațiile oscilante dintre biela și capul de cruce sau bolțul pistonului la motoare.

Pentru studiul în trei dimensiuni al mișcării uleiului dintre palier și cuzinet se poate neglija, fără eroare, curbura suprafețelor, deoarece grosimea filmului de ulei este foarte mică față de raza de curbură corespunzătoare. În consecință, aceste raze, raportate la grosimea stratului de lubrifiant, se pot considera în mod practic ca infinite. În acest caz, vom alege originea axelor de coordonate într'un punct pe suprafața în mișcare, axa Ox după direcția mișcării și situată pe suprafața mobilă, Oy normală pe aceasta, iar Oz după direcția axului de rotație.

Se observă în acest caz că filmul de ulei fiind foarte subțire, vitezele după normala Oy la suprafață sunt nule sau extrem de mici și, ca urmare, negliabile față de componentele u și w (în sensul mișcării și axială). De asemenea se pot neglija și derivatele componente v . Pe grosimea foarte mică a filmului de ulei u variază dela zero la valoarea maximă V și w de asemenea, deci derivatele $\frac{\partial u}{\partial y}$, $\frac{\partial w}{\partial y}$ sunt mult mai mari decât pe direcțiile Ox sau Oz .

După aceste direcțiuni, variațiile sunt foarte lente, deoarece lungimile după care ele au loc sunt considerabil mai mari, iar limitele de variație mai restrânse. Urmează că se pot neglija derivatele lui u și w după Ox și Oz , față de acelea după Oy .

Având în vedere observațiile de mai sus, ecuațiile (1) se simplifică mult, reducându-se la forma următoare:

$$\left. \begin{aligned} \frac{\partial p}{\partial x} &= \mu \frac{\partial^2 u}{\partial y^2} \\ \frac{\partial p}{\partial y} &= 0 \\ \frac{\partial p}{\partial z} &= \mu \frac{\partial^2 w}{\partial y^2} \end{aligned} \right\} (3)$$

iar ecuația (2) se poate păstra sub forma inițială, deoarece derivatele după Ox și Oz ale lui u și w sunt mici, însă de același ordin de mărime ca și derivata componente v după Oy .

Dacă $f(x, z)$ este curba care limitează suprafețele de contact ale arborelui și cuzinetului, se vede imediat că soluțiile ecuațiilor (2) și (3) trebuie să satisfacă următoarele condiții la limită, δ fiind grosimea peliculei de ulei într'un punct oarecare, iar V viteza suprafeței mobile:

$$\left. \begin{aligned} y=0 & \quad u=V, \quad v=0, \quad w=0 \\ y=\delta & \quad u=0, \quad v=0, \quad w=0 \\ \text{Pe curba } f(x, z) &= 0 \quad p=p_0 \end{aligned} \right\} (4)$$

p_0 fiind o constantă (presiunea în mediul exterior).

Prima și ultima ecuație a sistemului (3) se pot integra imediat dacă avem în vedere că a doua ecuație (3) arată că p este independent de y :

$$\left. \begin{aligned} u &= V \left(1 - \frac{y}{\delta}\right) - \frac{1}{2\mu} \frac{\partial p}{\partial x} y \delta \left(1 - \frac{y}{\delta}\right) \\ w &= -\frac{1}{2\mu} \frac{\partial p}{\partial z} y \delta \left(1 - \frac{y}{\delta}\right) \end{aligned} \right\} (5)$$

Diferențind prima ecuație (5) în raport cu x și a doua în raport cu x și introducând aceste valori în (2), rezultă

$$\frac{\partial v}{\partial y} = \frac{\partial}{\partial x} \left[\frac{1}{2\mu} \frac{\partial p}{\partial x} y \delta \left(1 - \frac{y}{\delta}\right) \right] + \frac{\partial}{\partial z} \left[\frac{1}{2\mu} \frac{\partial p}{\partial z} y \delta \left(1 - \frac{y}{\delta}\right) \right] - \frac{\partial}{\partial x} V \left(1 - \frac{y}{\delta}\right). (6)$$

Să integrăm această ecuație în raport cu y între 0 și δ , ținând seama că p nu depinde de y și că la limite trebuie satisfăcute condițiunile (4). Se obține:

$$\frac{\partial}{\partial x} \left(\frac{\delta^3}{\mu} \frac{\partial p}{\partial x} \right) + \frac{\partial}{\partial z} \left(\frac{\delta^3}{\mu} \frac{\partial p}{\partial z} \right) = 6 V \frac{\partial \delta}{\partial x} (7)$$

relație cunoscută în teoria lubrificației și care dă repartiția de presiune într'un palier oarecare de lungime finită. Ne vom ocupa în cele ce urmează de soluționarea acestei ecuații, deoarece cunoscând presiunile în fiecare punct, ecuațiile (5) dau imediat vitezele în pelicula de ulei, după care se pot calcula toate elementele mișcării.

Viscozitatea uleiului variază în lungul filmului, începând dela secțiunea de intrare. Dacă δ_1 este grosimea maximă a peliculei se poate pune

$$\mu = \mu_1 \left(\frac{\delta}{\delta_1} \right)^q (8)$$

relație care este în acord cu experiențele executate (Freudenreich).

Exponentul q este de obicei egal cu unitatea, pentru uleiurile obișnuite. Efectiv, viscozitatea μ depinde de temperatura uleiului și de presiunea locală; cum însă acestea sunt în directă legătură cu variația grosimii δ a peliculei de ulei, așa după cum se va vedea mai departe, μ se poate scrie sub forma (8), care traduce suficient de bine fenomenul fizic. În orice caz, (8) reprezintă o relație mai exactă decât ipoteza care se face în mod curent pentru aceste calcule și anume $\mu = \text{constant}$.

Exponentul q apare astfel legat de indicele Dean-Davis al uleiului, iar pentru alte lubrifiante poate căpăta valori foarte variate, în unele cazuri chiar negative (aer), schimbând prin aceasta întregul aspect al fenomenului ungerii. Ca deosebite în aceste cazuri speciale, este util să se introducă în calcule expresia (8), care urmărește mai exact acest fenomen.

Pentru a găsi soluția generală a ecuației (7), se va considera întâi membrul ecuația (7) fără membrul al doilea

$$\frac{\partial}{\partial x} \left(\frac{\delta^3}{\mu} \frac{\partial p}{\partial x} \right) + \frac{\partial}{\partial z} \left(\frac{\delta^3}{\mu} \frac{\partial p}{\partial z} \right) = 0 (9)$$

a cǎrei soluție se poate pune sub forma

$$p^* = f_{1m}(x) \times f_{2m}(x) \quad (10)$$

unde $f_{1m}(x)$ este o funcție numai de x , iar $f_{2m}(x)$ depinde numai de x . În acest caz (9) se scrie,

$$\frac{1}{f_{1m}} \frac{d^2 f_{1m}}{dx^2} + \frac{3-q}{\delta} \frac{\partial \delta}{\partial x} \frac{1}{f_{1m}} \frac{df_{1m}}{dx} + \frac{1}{f_{1m}} \frac{d^2 f_{2m}}{dx^2} = 0 \quad (11)$$

și alegând axul Ox astfel ca δ să fie o funcție numai de x se deduce din (11) sistemul de ecuații următor, în care γ_m este o constantă arbitrară.

$$\left. \begin{aligned} \frac{d^2 f_{1m}}{dx^2} + \frac{3-q}{\delta} \frac{d\delta}{dx} \frac{df_{1m}}{dx} + \gamma_m f_{1m} &= 0 \\ \frac{d^2 f_{2m}}{dx^2} - \gamma_m f_{2m} &= 0 \end{aligned} \right\} \quad (12)$$

Dacă, pe de altă parte, se cunoaște soluția p_∞ a ecuației

$$\frac{d}{dx} \left(\frac{\delta^2}{\mu} \frac{dp_\infty}{dx} \right) = 6V \frac{d\delta}{dx} \quad (13)$$

care reprezintă cazul mișcării plane, în palierul de lungime infinită fără scǎpări de ulei pe la capete, mișcare ce a fost studiată și este bine cunoscută, se poate pune soluția generală a ecuației complete (7) sub forma

$$p = p_\infty - p^* + ax \quad (14)$$

cu condițiile la limită, $b = b_1 + b_2$ fiind lățimea palierului constantă de-a-lungul axei Ox

$$\left. \begin{aligned} p &= p_0 \text{ pentru } x = -b_1 \\ p &= p_0 \text{ , } x = b_2 \\ p &= p_1 \text{ , } x = x_1, x = x_2 \\ p &= p_1 \text{ , } x = x_2, x = x_2 \end{aligned} \right\} \quad (15)$$

unde p_0 reprezintă presiunea în mediul exterior pe o parte a palierului ($x = -b_1$) a cǎrui suprafață a fost presupusă de o lățime constantă după axul Ox , ipoteză întotdeauna realizată în practică atât la palierele circulare cât și la acelea plane (patină-glisieră), iar p_1 este presiunea exterioară de cealaltă parte ($x = b_2$) (fig. 1). De asemenea, p_1 este în general presiunea de alimentare cu ulei într'un punct dat x_1, x_2 ; iar p_2 , în punctul x_1, x_2 rezultă din condițiunile de funcționare dela caz la caz, după cum se va vedea.

Dacă suprafața palierului este limitată de o curbă oarecare închisă $ABCD$, presiunea este de obicei constantă de-a-lungul acestei curbe $p_0 = p_1$. Când AB și CD coincid, BD și AC formează două curbe închise deosebite, în lungul cǎroră presiunile pot fi de asemenea constante și diferite, așa după cum s'a presupus pentru generalitate în condițiunile (15).

Fie

$$b_1 - b_2 = \frac{b}{2} \quad (16)$$

adică axul Ox desp rte suprafața $ABCD$ care se deplasează cu viteza relativă V față de suprafața $A'B'C'D'$, în două jumătăți egale, lucru care nu scade cu nimic generalitatea problemei.

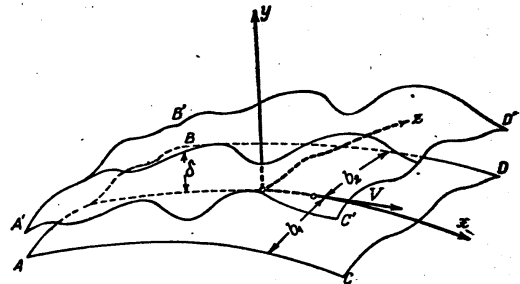


Fig. 1

Dând valori diferite lui γ_m , se obține o infinitate de soluțiuni p^* , de tipul (10). Astfel (14) se scrie, dacă c_m este o constantă arbitrară

$$p = p_\infty - \sum_{m=1}^{\infty} c_m f_{1m}(x) \times f_{2m}(x) + ax. \quad (17)$$

Să presupunem de asemenea că $f_{2m}(x)$ este o funcțiune pară, deci

$$f_{2m}(-b_1) = f_{2m}(b_2) = f_{2m}\left(\pm \frac{b}{2}\right) = \frac{1}{c_m} \quad (18)$$

Fiind date valorile γ_m se scrie identitatea

$$p_\infty \equiv \frac{1}{2} (f_0 + f_1) + \sum_{m=1}^{\infty} f_{1m}(x) \quad (19)$$

lucru întotdeauna posibil cunoscând soluția completă pentru palierul infinit și dezvoltând în serie $f_{1m}(x)$ dată de (12); este suficient apoi să se identifice coeficienții termenilor de același grad în x . Să presupunem în general că p_∞ și $f_{1m}(x)$ sunt puse sub forma

$$\left. \begin{aligned} p_\infty - \frac{1}{2} (f_0 + f_1) &= a_0 + a_1 x + a_2 x^2 + \dots + a_n x^n + \dots \\ f_{1m}(x) &= a_{m0} + a_{m1} x + a_{m2} x^2 + \dots + a_{mn} x^n + \dots \end{aligned} \right\} \quad (20)$$

in care coeficienții a_m sunt funcțiuni de χ_m . In acest caz, rezultă din cele arătate mai sus condițiile:

$$\left. \begin{aligned} a_0 &= a_{10} + a_{20} + \dots + a_{m0} + \dots \\ a_1 &= a_{11} + a_{21} + \dots + a_{m1} + \dots \\ &\dots \dots \dots \\ a_n &= a_{1n} + a_{2n} + \dots + a_{mn} + \dots \end{aligned} \right\} \quad (21)$$

După cum se va vedea mai departe, seriile definite de (20) sunt întotdeauna convergente și, pentru ușurința calculului, se pot pune după o transformare simplă, sub formă de serii trigonometrice. Fiecare soluție particulară f_{1m} cuprinde două constante arbitrare, fie a_{m0} și a_{m1} . Sistemul (21) este astfel un sistem infinit de ecuații cu un număr infinit de necunoscute $a_{10}, a_{20}, \dots, a_{m0}, a_{11}, a_{21}, \dots, a_{m1}, \dots$, care se pot deci calcula. Presupunând determinate aceste constante (17), se scrie

$$p = \frac{1}{2}(p_a + p_b) + \sum_{m=1}^{\infty} \left(1 - \frac{f_{2m}(x)}{f_{2m}\left(\frac{b}{2}\right)} \right) \cdot f_{1m}(x) + ax. \quad (22)$$

Pentru $x = \pm \frac{b}{2}$ suma este nulă, având în vedere condițiile (18).

Primele două condiții la limită (15) vor fi îndeplinite dacă se ia

$$a = \frac{p_b - p_a}{b} \quad (23)$$

iar ultimele două pot fi de asemenea ușor satisfăcute, dacă se ține seama că potrivit ecuației diferențiale (13) p_{∞} conține două constante arbitrare. Înlocuind succesiv în (22) valorile x_1, x_2 și x_2, x_1 , se pot defini aceste constante, spre a răspunde condițiilor la limită impuse. Se obține astfel soluținea generală a presiunilor și conform ecuațiilor (5) a întregii mișcări în pelicula de ulei dintr'un arbore și un cuzinet de dimensiuni limitate, adică a mișcării după trei direcțiuni:

$$p = \frac{1}{2}(p_a + p_b) + \frac{p_b - p_a}{b} x + \sum_{m=1}^{\infty} \left(1 - \frac{f_{2m}(x)}{f_{2m}\left(\frac{b}{2}\right)} \right) \cdot f_{1m}(x) \quad (24)$$

unde nu s'au făcut decât următoarele ipoteze restrictive:

1. Grosimea δ a peliculei este o funcțiune oarecare numai de x .
2. Viteza V este tangentă la Ox .
3. Suprafața lubrificată are o lățime constantă, iar a patra condițiune că f_{2m} să fie o funcțiune pară nu restrânge cu nimic generalitatea problemei. In aceste condițiuni, soluția (24) se poate aplica la toate cazurile întâlnite în practică.

Este de remarcat că într'o lucrare anterioară, Duffing a utilizat de asemenea, pentru soluția generală, forma $p = p_{\infty} - p^*$, dar rezolvarea, pe o cale cu totul diferită, este numai aproximativă, ea presupunând în cele din urmă neglijarea termenului în $\frac{df_{1m}}{dx}$ din (11) și aplicându-se numai la valori

Tipei, N.
O metoda generala pentru studiul miscarii in pelicula de...
Studii si cercetari de mecanica si metalurgie, Tom II, 1951, pp.1-58

particulare ale lui q din (8). In metodele de rezolvare a ecuațiilor (12) folosite mai departe, niciuna din aceste aproximatii nu este necesară, iar generalitatea soluției (24) este menținută în întregime.

Soluția ecuației (13) este bine cunoscută pentru cazul viscozității constante. Introducând relația (8), se găsește ușor și pentru μ variabil

$$p_{\infty} = \frac{1}{2}(p_a + p_b) + \frac{6\mu_1 V}{8\eta} \left(\frac{x}{\delta^2 - \delta} + \frac{C_1}{\delta - x} \right) dx \quad (25)$$

Pentru diferitele paliere se știe apoi cum variază δ cu distanța x , astfel că găsirea lui p_{∞} nu prezintă dificultăți, reducându-se la o simplă cuadratură. Constantele p_0 și C_1 se deduc apoi introducându-se ultimele două condițiuni la limită din (15) în soluținea generală (24). In calculele următoare se va explicita expresia lui p_{∞} , atât pentru paliere circulare cât și pentru patină-glisieră.

Pe de altă parte, ecuația a doua din sistemul (12) se poate integra imediat; având în vedere că $f_{1m}(x)$ trebuie să fie o funcție pară, rezultă, ținând seama și de (18),

$$\left. \begin{aligned} f_{2m}(x) &= \text{ch } \sqrt{\chi_m} x, \text{ sau, mai general dacă } b_1 \neq b_2, \\ f_{2m}(x) &= \text{ch } \sqrt{\chi_m} \left[x + \frac{1}{2}(b_1 - b_2) \right] \\ \frac{1}{c_m} &= \text{ch } \frac{1}{2} \sqrt{\chi_m} (b_1 + b_2) \end{aligned} \right\} \quad (26)$$

in care caz f_{1m} nu mai este o funcție pară.

Paliere circulare.

Se ia ca origine a axelor de coordonate punctul O (fig. 2), unde distanța dintre fus și cuzinet este maximă, axul Oy după raza, Ox paralel cu axul de rotație; conform celor arătate mai înainte, se poate considera axul Ox de-a-lungul periferiei fusului. Aproximația introdusă în calcule prin aceasta este complet neglijabilă.

In acest caz, δ depinde numai de unghiul θ cuprins între raza ce trece prin originea O (axul Oy) și raza dusă din centrul B al cuzinetului prin punctul P oarecare, unde se măsoară δ . Notăm

$$\Delta = R - r \quad (27)$$

diferența celor două raze, adică jocul radial și cu e excentricitatea (distanța dintre centrele A și B ale fusului și palierei) se poate scrie

$$r = e \cos \theta + (R - \delta) \cos \alpha \quad (28)$$

și cum e este de ordinul de mărime $r/1000$, e este extrem de mic, iar $\cos \alpha \approx 1$. Astfel rezultă

$$\delta = R - r + e \cos \theta = \Delta + e \cos \theta = \Delta (1 + \alpha \cos \theta) \quad (29)$$

unde $\alpha = \frac{e}{\Delta}$ este excentricitatea relativă.

Punând

$$x = r\theta \quad (30)$$

și introducând un nou parametru β_m în locul lui χ_m , legat de acesta prin relația

$$\beta_m = r^2 \chi_m \quad (31)$$

ecuațiile (12) admit ca soluțiuni expresiile

$$\left. \begin{aligned} f_{1n} &= \sum_{\theta=0}^{\pi} (A_{mn} \sin n\theta + B_{mn} \cos n\theta) \\ & \frac{(1 + \alpha \cos \theta)^2}{\sqrt{\beta_m} r} \end{aligned} \right\} \quad (32)$$

$$f_{2n} = \text{ch} \frac{\sqrt{\beta_m} r}{r}$$

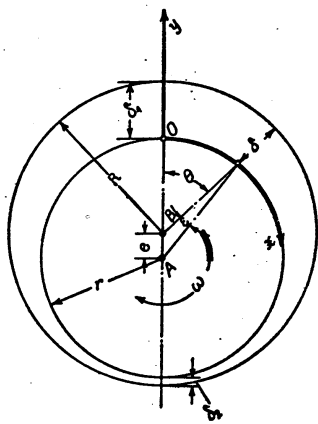


Fig. 2

Înlocuind pe f_{1n} în ecuația (10) și anulând coeficienții termenilor în $\sin n\theta$, $\cos n\theta$ se obține pentru calculul lui A_{mn} și B_{mn} o ecuație cu diferențe finite.

$$\begin{aligned} & \frac{\alpha^2}{4} [\beta_m - (n+x+2)(n+x+q-1)] A_{m,n+2} (B_{m,n+2}) + \\ & + \alpha \left[\beta_m - (n+1) \left(n+x + \frac{q-1}{2} \right) + \frac{x}{2} \right] A_{m,n+1} (B_{m,n+1}) + \\ & + \left[\left(1 + \frac{\alpha^2}{2} \right) (\beta_m - n^2) + \frac{x \alpha^2}{2} (x+q-1) \right] A_{mn} (B_{mn}) + \alpha \left[\beta_m - \right. \\ & - (n-1)(n-x - \frac{q-1}{2}) + \frac{x}{2} \left. \right] A_{m,n-1} (B_{m,n-1}) + \frac{\alpha^2}{4} \left[\beta_m - \right. \\ & \left. - (n-x-2)(n-x-q+1) \right] A_{m,n-2} (B_{m,n-2}) = 0 \end{aligned} \quad (33)$$

Tipul, N.
O metoda generala pentru studiul miscarii de pelicula de...
Studii si cercetari de mecanica si metalurgie, Tom II, 1951, pp.1-58

Soluția generală a ecuațiilor (33) de ordinul 4, va depinde de 4 constante arbitrare; numărul acestora poate fi redus la 4 în cazul când există k relațiuni suplimentare între necunoscute. Observând că avem

$$\left\{ \begin{aligned} A_{m,-1} &= -A_{m1} & B_{m,-1} &= B_{m1} \\ A_{m,-2} &= -A_{m2} & B_{m,-2} &= B_{m2} \end{aligned} \right. \quad (34)$$

rămân astfel încă 2 constante arbitrare de care vor depinde coeficienții A_{mn} și B_{mn} . Rezolvarea directă a acestei ecuațiuni omogene, cu coeficienți variabili de gradul 2, prin metodele obișnuite, fie folosind integralele lui Laplace, fie utilizând seriile de facultăți, este anevoioasă, iar rezultatele nu se prezintă sub o formă concisă, ușor utilizabilă în calculele ulterioare. Pe de altă parte, interesează în problema de față numai valorile întregi ale lui n, ceea ce permite a se considera (33) ca o simplă relație de recurență. De aceea se preferă o metodă indirectă de soluționare. Pentru aceasta vom face succesiv $n=0, 1, 2, \dots$ în (33) formând un sistem infinit de ecuațiuni cu tot atâtea necunoscute. Rezultă

$$\begin{aligned} A_{m0} &= 0 \\ & \frac{\alpha^2}{4} [\beta_m - (x+3)(x+q)] A_{m3} + \alpha \left(\beta_m - \frac{3}{2} x - q - 1 \right) A_{m2} + \\ & + \left[\left(1 + \frac{\alpha^2}{4} \right) \beta_m - 1 + \alpha^2 \left[\frac{3x}{4} (x+q-1) - 1 + \frac{q}{4} \right] \right] A_{m1} = 0 \\ & \frac{\alpha^2}{4} [\beta_m - (x+4)(x+q+1)] A_{m4} + \alpha \left[\beta_m - \frac{1}{2} (9+5x-3q) \right] A_{m3} + \\ & + \left[\left(1 + \frac{\alpha^2}{2} \right) (\beta_m - 4) + \frac{x \alpha^2}{2} (x+q-1) \right] A_{m2} + \alpha \left[\beta_m + \frac{1}{2} (3x+q-5) \right] A_{m1} = 0 \\ & \frac{\alpha^2}{4} [\beta_m - (x+5)(x+q+2)] A_{m5} (B_{m5}) + \alpha \left(\beta_m - \frac{7}{2} x - 2q - 10 \right) A_{m4} (B_{m4}) + \\ & + \left[\left(1 + \frac{\alpha^2}{2} \right) (\beta_m - 9) + \frac{x \alpha^2}{2} (x+q-1) \right] A_{m3} (B_{m3}) + \alpha \left[\beta_m + \frac{5}{2} x + \right. \\ & \left. + q - 7 \right] A_{m2} (B_{m2}) + \frac{\alpha^2}{4} [\beta_m - (1-x)(4-x-q)] A_{m1} (B_{m1}) = 0 \\ & \frac{\alpha^2}{4} [\beta_m - (x+6)(x+q+3)] A_{m6} (B_{m6}) + \alpha \left[\beta_m - \frac{1}{2} (9x+5q+35) \right] A_{m5} (B_{m5}) + \\ & + \left[\left(1 + \frac{\alpha^2}{2} \right) (\beta_m - 16) + \frac{x \alpha^2}{2} (x+q-1) \right] A_{m4} (B_{m4}) + \\ & + \alpha \left[\beta_m + \frac{1}{2} (7x+3q-27) \right] A_{m3} (B_{m3}) + \frac{\alpha^2}{4} [\beta_m - (2-x)(5-x-q)] A_{m2} (B_{m2}) = 0 \end{aligned} \quad (35)$$

Pentru coeficienții $B_{m,n}$ primele trei ecuațiuni vor fi diferite, din cauza relațiilor (34) și anume:

$$\left. \begin{aligned} & \frac{\alpha^2}{2} [\beta_m - (x+2)(x+q-1)] B_{m,2} + 2\alpha (\beta - x - q + 1) B_{m,1} + \\ & + \left[\left(1 + \frac{\alpha^2}{2} \right) \beta_m + \frac{\alpha x^2}{2} (x+q-1) \right] B_{m,0} = 0 \\ & \frac{\alpha^2}{4} [\beta_m - (x+3)(x+q)] B_{m,3} + \alpha \left[\beta_m - \frac{3}{2} x - q - 1 \right] B_{m,2} + \\ & + \left[\left(1 + \frac{3}{4} \alpha^2 \right) \beta_m - 1 + \frac{\alpha^2}{4} (x+q-1) - g \right] B_{m,1} + \alpha \left(\beta_m + \frac{x}{2} \right) B_{m,0} = 0 \\ & \frac{\alpha^2}{4} [\beta_m - (x+4)(x+q+1)] B_{m,4} + \alpha \left[\beta_m - \frac{1}{2} (5x+3q+9) \right] B_{m,3} + \\ & + \left[\left(1 + \frac{\alpha^2}{4} \right) (\beta_m - 4) + \frac{\alpha x^2}{2} (x+q-1) \right] B_{m,2} + \alpha \left[\beta_m + \frac{1}{2} (3x+q-5) \right] B_{m,1} + \\ & + \frac{\alpha^2}{4} [\beta_m + x(3-x-q)] B_{m,0} = 0 \end{aligned} \right\} (36)$$

Când $n \rightarrow \infty$ ecuația (33) devine o ecuație cu coeficienți constanți

$$\frac{\alpha^2}{4} A_{m,n+2} (B_{m,n+2}) + \alpha A_{m,n+1} (B_{m,n+1}) + \left(1 + \frac{\alpha^2}{2} \right) A_{m,n} (B_{m,n}) + \alpha A_{m,n-1} (B_{m,n-1}) + \frac{\alpha^2}{4} A_{m,n-2} (B_{m,n-2}) = 0 \quad (37)$$

a cărei rezolvare se efectuează imediat. Fie

$$A_m = K_m \rho^n \quad (38)$$

Inlocuind în (20), se obține ecuația

$$\frac{\alpha^2}{4} \rho^2 + \alpha \rho + 1 + \frac{\alpha}{2} + \frac{\alpha^2}{\rho} + \frac{\alpha^2}{4} \cdot \frac{1}{\rho^2} = \frac{\alpha^2}{4} \left(\rho^2 + \frac{2}{\alpha} \rho + 1 \right) \frac{1}{\rho^2} = 0 \quad (39)$$

care dă, mai departe

$$\rho = -\frac{1}{\alpha} \pm \sqrt{\frac{1}{\alpha^2} - 1} \text{ sau } \frac{A_{m,n+1}}{A_{m,n}} = \frac{B_{m,n+1}}{B_{m,n}} = -\frac{1}{\alpha} + \sqrt{\frac{1}{\alpha^2} - 1} \quad (40)$$

Cum $0 < \alpha < 1$, rezultă că șirul $A_{m,1}, A_{m,2}, \dots$ respectiv $B_{m,1}, B_{m,2}, \dots$ este format din termeni alternați cu o valoare absolută descrescătoare, când n este suficient de mare. Acest rezultat este de asemenea independent de β_m . Sistemul (35), (36) poate fi apoi rezolvat pe o cale aproximativă, considerându-se β_m necunoscut și determinându-se printr-o condițiune suplimentară valoarea acestuia, sau admitând dela început o valoare pentru β_m .

Tipul N.
O metoda generala pentru studiul miscarii in pelicula de...
Studii si cercetari de mecanica si metalurgie, Tom II, 1951, pp.1-58

In primul caz se poate considera ca, data fiind alura descrescatoare a coeficienților $A_{m,n}, B_{m,n}$, dela o anumita valoare $n = i$ se pot neglija $A_{m,i+1}, B_{m,i+1}, A_{m,i+2}, B_{m,i+2}$ in ultimele doua ecuații, deduse din (17) facand $n = i - 1$ și $n = i$.

Se obtine astfel un sistem de $i + 1$ ecuațiuni omogene, care se reduce la i ecuațiuni pentru coeficienții $A_{m,n}$, deoarece prima da direct $A_m = 0$. Punand condițiunea de compatibilitate, anularea determinantului acestui sistem da o ecuație de gradul $i + 1$, respectiv i in β_m , care se poate calcula pe aceeași cale. Valorile gasite verifica, in general, ipoteza ca șirurile $A_{m,1}, A_{m,2}, \dots, A_{m,i}$ și $B_{m,0}, B_{m,1}, B_{m,2}, \dots, B_{m,i}$ descresc repede, pe care am introdus-o dela inceput neglijand termenii de indici $i + 1, i + 2$. Acest lucru se va vedea mai departe din verificările numerice efectuate. Se pot calcula astfel, coeficienții $A_{m,2} (B_{m,2}), \dots, A_{m,i} (B_{m,i})$, pastrand $A_{m,1} (B_{m,1})$ ca o constanta arbitrara. Mai departe, β_m fiind cunoscut, calculul se poate extinde la grupul format de restul ecuațiunilor pentru determinarea celorlalți termeni, pe aceeași cale, introducand in aceste ecuații valorile $A_{m,i-1} (B_{m,i-1}), A_{m,i} (B_{m,i})$ și β_m gasite; se obtine astfel ca intr'adevar coeficienții de indici superiori sunt descrescatori și neglijabili față de primii i termeni, iar dela o anumita valoare a lui n , ei se pot deduce direct din relația (40). Modul de lucru este indicat mai jos.

In al doilea caz, când β_m este dat, primele $i + 1$ ecuațiuni se rezolvă direct in funcțiune de $A_{m,1}, (B_{m,1})$, neglijându-se numai termenul $A_{m,i+2} (B_{m,i+2})$, ultima ecuațiune corespunzand la $n = i$ in (33). Convergența șirului format de coeficienții astfel calculați este obtinută întotdeauna, deoarece la limita ($n \rightarrow \infty$) este valabila relația (40); totuși ea poate fi mai rapidă sau mai incetă după valorile lui β_m . Cunoscand astfel primii $i + 1$ termeni, ceilalți se pot determina rezolvand pe aceeași cale grupul format de următoarele k ecuațiuni, in care se introduc valorile lui $A_{m,i} (B_{m,i})$ și $A_{m,i+1} (B_{m,i+1})$. Se va vedea ca și acești termeni de ordin superior sunt mici față de primii i calculați, astfel ca neglijarea lui $A_{m,i+2} (B_{m,i+2})$ este justificată pentru primele $i + 1$ ecuațiuni. Pentru o verificare mai rapidă se pot rezolva din aproape in aproape ecuațiile următoare obtinute din (33) cu valori $n > i$, neglijand in fiecare din acestea ultimii doi coeficienți de ordin superior, față de ceilalți trei, dintre care unul singur apare astfel ca necunoscut.

In acest mod se obtin două serii de soluțiuni. Prima folosind valorile lui β_m definite prin condiția de compatibilitate a sistemului de $i + 1$ ecuațiuni omogene, care presupune la rândul său o convergență rapidă a valorilor $A_{m,n} (B_{m,n})$. Această ipoteză verificată de calculele numerice, arată ca intr'adevar valorile β_m respective asigura cea mai bună convergență a șirului.

A doua serie de soluțiuni se deduce dand lui β_m valori arbitrare. Aceste valori pot fi pozitive sau negative; pentru β_m negativ va trebui să fie satisfăcută condițiunea

$$\sqrt{|\beta_m|} \neq (2k + 1) \pi \frac{\tau}{b} \quad (41)$$

asa după cum se poate vedea ușor din (24).

Se observă ca coeficienții $A_{m,n} (B_{m,n})$ astfel determinați depind numai de o constanta arbitrara $A_{m,1}$ sau $B_{m,1}$. Aceasta se datorește faptului ca prin metoda de soluționare indicată se neglijează, dacă se consideră dat β_m , termenul

$A_{n,i+2}$ sau $B_{n,i+2}$ care se admite deci nul și prin aceasta se fixează valoarea celei de a doua constante arbitrare. Se calculează astfel primii $i+1$ termeni, apoi, n fiind destul de mare, se poate aplica relația (40). Un procedeu mai exact ar fi să se determine a doua constantă a fiecărei soluțiuni f_{1m} , astfel încât convergența primilor termeni să fie maximă. Din cauza complicației ecuațiilor (35), (36), este însă greu de exprimat această condițiune, ținând seama și de faptul că i trebuie să fie o funcțiune de α , deoarece convergența șirurilor A_{mn} , B_{mn} variază cu excentricitatea relativă. Pe de altă parte, folosind procedeele indicate mai sus, se va demonstra că într'adevăr convergența este complet satisfăcătoare, chiar pentru cazurile cele mai desavantajoase, când $\alpha \rightarrow 1$, astfel că din punctul de vedere al calculului numeric nu este nevoie să se treacă la o analiză mai exactă a acestei convergențe.

Cunoscând soluțiunile f_{1m} , f_{2m} ale ecuațiilor (12) date de formulele (32), se poate scrie ecuația presiunilor (24)

$$p = \frac{1}{2}(p_a + p_b) + \frac{p_b - p_a}{b} x + \sum_{n=1}^{\infty} \sum_{m=0}^{\infty} \left[\left(1 - \frac{\text{ch} \frac{\sqrt{\beta_{m,n}} x}{r}}{\text{ch} \frac{\sqrt{\beta_{m,n}} b}{2r}} \right) \frac{A_{mn} \sin n\theta}{(1 + \alpha \cos \theta)^{n-2}} + \right. \quad (42)$$

$$\left. + \left(1 - \frac{\text{ch} \frac{\sqrt{\beta_{m,n}} x}{r}}{\text{ch} \frac{\sqrt{\beta_{m,n}} b}{2r}} \right) \frac{P_{mn} \cos n\theta}{(1 + \alpha \cos \theta)^{n-2}} \right]$$

exponenții x_A și x_B fiind oarecare.

Palierul circular de alunțire infimă. În cazul palierului circular, ecuația (25) dă valoarea lui p_{∞} înlocuind pe δ și x din (29) și (30)

$$p_{\infty} = \frac{1}{2}(p_a + p_b) + \frac{6\mu_1 V r}{(1 + \alpha)^2 \Delta^2} \left[\frac{1}{(1 + \alpha \cos \theta)^{2-\epsilon}} + \frac{C_1}{\Delta(1 + \alpha \cos \theta)^{2-\epsilon}} \right] d\theta. \quad (43)$$

Dacă se fac substituțiile introduse de Sommerfeld

$$1 + \alpha \cos \theta = \frac{1 - \alpha^2}{1 - \alpha \cos \gamma}; d\theta = \frac{\sqrt{1 - \alpha^2}}{1 - \alpha \cos \gamma} d\gamma \quad (44)$$

(43) se transformă

$$p_{\infty} = \frac{1}{2}(p_a + p_b) + \frac{6\mu_1 V r}{\Delta^2 (1 + \alpha)^2 (1 - \alpha^2)^{\frac{3}{2}-\epsilon}} \int (1 - \alpha \cos \gamma)^{1-\epsilon} \left[1 + \frac{C_1}{\Delta(1 - \alpha^2)} (1 - \alpha \cos \gamma) \right] d\gamma. \quad (45)$$

Tipei, N.
O metoda generala pentru studiul miscarii in pelicula de...
Studii si cercetari de mecanica si metalurgie, Tom II, 1951, pp.1-58

Funcția de variabilă γ care se găsește sub integrală se poate dezvolta în serie

$$(1 - \alpha \cos \gamma)^{1-\epsilon} \left(1 + \frac{C_1}{\Delta(1 - \alpha^2)} - \frac{C_1 \alpha}{\Delta(1 - \alpha^2)} \cos \gamma \right) = 1 + \frac{C_1}{\Delta(1 - \alpha^2)} - \left(1 - q + \frac{2-q}{1-\alpha^2} \cdot \frac{C_1}{\Delta} \right) \alpha \cos \gamma - \sum_{n=1}^{\infty} \Xi_n \cos^n \gamma \quad (46)$$

unde

$$\Xi_n = - \frac{(q-1)q(q+1)\dots(q+n-3)}{(n-1)!} \alpha^n \left[\left(1 + \frac{C_1}{\Delta(1 - \alpha^2)} \right) \frac{q+n-2}{n} - \frac{C_1}{\Delta(1 - \alpha^2)} \right]. \quad (47)$$

Valorile coeficientului Ξ_n sunt nule pentru $q=0$ și $q=1$. La uleiurile curente, q este efectiv cuprins între aceste valori; în acest caz, Ξ_n descrește repede pentru valorile $n > 2$. Astfel, admitând $q=0,5$, $\alpha=0,9$, $n=3$ se găsește

$$\Xi_3 = 0,0455 \left(1 - \frac{C_1}{\Delta(1 - \alpha^2)} \right) \quad (48)$$

Deoarece condițiunile la limită care determină valoarea lui C_1 fac ca valoarea parantezei să nu fie, în general, mai mare de 2, Ξ_3 este mic față de primii doi termeni din (46). Se observă de asemenea că paranteza mare din expresia lui Ξ_n tinde către unitate numai când $n \rightarrow \infty$.

Dacă se ține seama de expresia completă (46), se găsește valoarea integralei:

$$I = \int (1 - \alpha \cos \gamma)^{1-\epsilon} \left(1 + \frac{C_1}{\Delta(1 - \alpha^2)} - \frac{C_1 \alpha}{\Delta(1 - \alpha^2)} \cos \gamma \right) d\gamma = C_2 + \left[1 + \frac{C_1}{\Delta(1 - \alpha^2)} - \sum_{n=1}^{\infty} \Xi_n \left(\frac{1}{2} \right)^n \right] \gamma - \left[\alpha \left(1 - q + \frac{2-q}{1-\alpha^2} \cdot \frac{C_1}{\Delta} \right) + \sum_{n=3,5}^{\infty} \Xi_n \left(\frac{1}{2} \right)^{n-1} \left(\frac{n-1}{2} \right) \right] \sin \gamma - \dots \quad (49)$$

Notând

$$\frac{1}{v} \sum_{n=3,5}^{\infty} \Xi_n \left(\frac{1}{2} \right)^{n-1} \left(\frac{n-1}{2} \right) = P_{1v}; \frac{1}{2v} \sum_{n=1}^{\infty} \Xi_n \left(\frac{1}{2} \right)^{n-1} \left(\frac{2n}{n-1} \right) = P_{2v} \quad (50)$$

desvoltând $\sin v\gamma$, $\sin 2v\gamma$ în serie de puteri și înlocuind $\sin \gamma$, $\cos \gamma$ în funcție de $\sin \theta$ și $\cos \theta$ după (44), se găsește, în cele din urmă, notând cu C_2 constanta de integrare

$$\begin{aligned}
p_\infty = & \frac{1}{2} (p_a + p_b) + \frac{6\mu_1 V r}{\Delta^2 (1 + \alpha)^2 (1 - \alpha^2)^{\frac{3}{2} - q}} \left\{ C_2 + \left[1 + \frac{C_1}{\Delta(1 - \alpha^2)} - \right. \right. \\
& - \sum_{n=1}^{\infty} \Xi_{2n} \left(\frac{2n}{n} \right) \frac{1}{2^{2n}} \left. \right\} \cdot \arcsin \frac{\sqrt{1 - \alpha^2} \sin \theta}{1 + \alpha \cos \theta} - \left[\alpha \left(1 - g + \frac{2 - g}{1 - \alpha^2} \cdot \frac{C_1}{\Delta} \right) + \right. \\
& + \sum_{n=3,5}^{\infty} \Xi_n \frac{1}{2^{n-1}} \left(\frac{n-1}{2} \right) \frac{\sqrt{1 - \alpha^2} \sin \theta}{1 + \alpha \cos \theta} - \\
& - \sum_{v=2,5}^{\infty} P_{1v} \frac{\sum_{\sigma=1,3}^{\infty} (-1)^{\frac{\sigma-1}{2}} (1 - \alpha^2)^{\frac{\sigma}{2}} \left(\frac{v}{\sigma} \right) \sin^{\sigma} \theta (\alpha + \cos \theta)^{v-\sigma}}{(1 + \alpha \cos \theta)^v} \\
& - \sum_{v=1}^{\infty} P_{2v} \frac{\sum_{\sigma=1,3}^{\infty} (-1)^{\frac{\sigma-1}{2}} (1 - \alpha^2)^{\frac{\sigma}{2}} \left(\frac{2v}{\sigma} \right) \sin^{\sigma} \theta (\alpha + \cos \theta)^{2v-\sigma}}{(1 + \alpha \cos \theta)^{2v}} \quad (51)
\end{aligned}$$

Această formulă se poate pune apoi sub forma unei serii trigonometrice în funcție de unghiurile $n\theta$ și păstrând la numitor pe $(1 + \alpha \cos \theta)^{2\sigma}$ în care σ se poate alege astfel încât coeficienții termenilor în $\sin n\theta$ să aibă convergența cea mai bună. Dacă se desvoltă de asemenea în serie trigonometrică expresia

$$\begin{aligned}
\arcsin \frac{\sqrt{1 - \alpha^2} \sin \theta}{1 + \alpha \cos \theta} = & \sqrt{1 - \alpha^2} \frac{\sin \theta}{1 + \alpha \cos \theta} + \sum_{\sigma=1}^{\infty} \frac{1 \cdot 3 \dots (2\sigma - 1)}{2 \cdot 4 \dots 2\sigma} \cdot \\
& \cdot \frac{(1 - \alpha^2)^{\frac{\sigma+1}{2}}}{2\sigma + 1} \cdot \frac{\sin^{2\sigma+1} \theta}{(1 + \alpha \cos \theta)^{2\sigma+1}} \quad (52)
\end{aligned}$$

se obține în cele din urmă desvoltarea lui p_∞ analogă cu (2c)

$$p_\infty = \frac{1}{2} (p_a + p_b) + \frac{b_0 + \sum_{n=1}^{\infty} (a_n \sin n\theta + b_n \cos n\theta)}{(1 + \alpha \cos \theta)^{2\sigma}} \quad (53)$$

Din ecuațiile (19), (32), (42) și (53) se deduce $\kappa_A = \kappa_B$, iar sistemul (21) se desparte în două grupe independente, identificând coeficienții termenilor în $\sin n\theta$ și $\cos n\theta$

$$\begin{cases} a_1 = A_{11} + A_{21} + A_{31} + \dots + A_{n1} + \dots \\ a_2 = A_{12} + A_{22} + A_{32} + \dots + A_{n2} + \dots \\ \dots \\ a_n = A_{1n} + A_{2n} + A_{3n} + \dots + A_{nn} + \dots \end{cases} \quad (54)$$

Tipei, N. O metoda generala pentru studiul miscarii in pelicula de... Studii si cercetari de mecanica si metalurgie, Tom II, 1951, pp.1-58

și

$$\begin{cases} b_0 = B_{10} + B_{20} + B_{30} + \dots + B_{n0} + \dots \\ b_1 = B_{11} + B_{21} + B_{31} + \dots + B_{n1} + \dots \\ \dots \\ b_n = B_{1n} + B_{2n} + B_{3n} + \dots + B_{nn} + \dots \end{cases} \quad (55)$$

În felul acesta se obține soluția cea mai generală a problemei. Această soluție prezintă avantajul de a fi în același timp riguroasă, însă este greu de utilizat în calculele numerice. O simplificare importantă se poate aduce neglijând în expresia lui p_∞ termenii superiori ($v > 2$), care conțin ca factori (50) coeficienții Ξ_n de indice $n > 2$, deoarece s'a arătat că acești coeficienți sunt mici față de primii doi termeni, iar factorii P_{1v} , P_{2v} decresc și mai repede, după cum se vede ușor din (50).

Formula (51) va fi astfel

$$\begin{aligned}
p_\infty = & \frac{1}{2} (p_a + p_b) + \frac{6\mu_1 V r}{\Delta^2 (1 + \alpha)^2 (1 - \alpha^2)^{\frac{3}{2} - q}} \left\{ C_2 + \left[1 + \frac{C_1}{\Delta(1 - \alpha^2)} \frac{1}{2} \Xi_2 \right] \times \right. \\
& \times \arcsin \frac{\sqrt{1 - \alpha^2} \sin \theta}{1 + \alpha \cos \theta} - \alpha \sqrt{1 - \alpha^2} \left(1 - g + \frac{2 - g}{1 - \alpha^2} \cdot \frac{C_1}{\Delta} \right) \frac{\sin \theta}{1 + \alpha \cos \theta} - \\
& \left. - \frac{1}{2} \Xi_2 \sqrt{1 - \alpha^2} \frac{\sin \theta (\alpha + \cos \theta)}{(1 + \alpha \cos \theta)^2} \right\} \quad (56)
\end{aligned}$$

unde

$$\Xi_2 = \alpha^2 (1 - g) \left[\frac{g}{2} - \left(1 - \frac{g}{2} \right) \frac{C_1}{\Delta(1 - \alpha^2)} \right] \quad (57)$$

Pe de altă parte, pentru uleiurile obișnuite se poate considera valoarea $g = 1$ ca fiind aproape de realitate, așa cum rezultă din experiențele lui F r e u d e n r e i c h. În acest caz, din (47) rezultă $\Xi_n = 0$ și integrala (49) apare sub o formă foarte simplă, cu ajutorul căreia se găsește imediat din (51):

$$\begin{aligned}
f_\infty = & \frac{1}{2} (p_a + p_b) + \frac{6\mu_1 V r}{\Delta^2 (1 + \alpha)^2 (1 - \alpha^2)^{\frac{3}{2}}} \left\{ C_2 + \left(1 + \right. \right. \\
& \left. \left. + \frac{C_1}{\Delta(1 - \alpha^2)} \right) \arcsin \frac{\sqrt{1 - \alpha^2} \sin \theta}{1 + \alpha \cos \theta} - \frac{C_1 \alpha}{\Delta \sqrt{1 - \alpha^2}} \frac{\sin \theta}{1 + \alpha \cos \theta} \right\} \quad (58)
\end{aligned}$$

De multe ori se obișnuiește a se considera viscozitatea constantă și anume se ia valoarea sa medie, sau aceea corespunzătoare temperaturii medii a peliculei. În acest caz, în loc de μ_1 se ia $\mu = \mu_m$, $g = 0$. Din (47) și (50) se deduce

$$\begin{aligned}
\Xi_2 = & - \frac{\alpha^2 C_1}{\Delta(1 - \alpha^2)} ; \Xi_3 = \Xi_4 = \dots = \Xi_n = 0, \\
P_{21} = & - \frac{\alpha^2 C_1}{4\Delta(1 - \alpha^2)} ; P_{1v} = P_{2v} = 0 \quad (59)
\end{aligned}$$

și expresia (51) ia o formă de asemenea mai simplă.

$$p_{\infty} = \frac{1}{2}(p_a + p_b) + \frac{6\mu_m V r}{\Delta^2 (1-\alpha^2)^2} \left\{ C_1 + \left[1 + \frac{(2+\alpha^2)C_1}{2(1-\alpha^2)\Delta} \right] \arcsin \frac{\sqrt{1-\alpha^2} \sin \theta}{1+\alpha \cos \theta} - \alpha (1-\alpha^2) \left[1 + \frac{2C_1}{\Delta(1-\alpha^2)} \right] \times \right. \\ \left. \times \frac{\sin \theta}{1+\alpha \cos \theta} + \frac{\alpha^2 C_1}{2\Delta \sqrt{1-\alpha^2}} \frac{\sin \theta (\alpha + \cos \theta)}{(1+\alpha \cos \theta)^2} \right\} \quad (60)$$

Se regăsește astfel, cu ajutorul soluției generale (51), formula cunoscută (60) pentru palierul de lungime infinită, în cazul când viscozitatea este constantă. Se remarcă mai departe că pentru un interval $0,9 < \beta_m < 8$ avem, la două valori β_1 și β_m oarecare, relația

$$1 - \frac{\text{ch} \frac{\sqrt{\beta_m} x}{r}}{\text{ch} \frac{\sqrt{\beta_m} b}{2r}} \approx \frac{1 - \frac{\text{ch} \frac{\sqrt{\beta_1} x}{r}}{\text{ch} \frac{\sqrt{\beta_1} b}{2r}}}{1 - \frac{\text{ch} \frac{\sqrt{\beta_1} b}{2r}}{\text{ch} \frac{\sqrt{\beta_1} b}{2r}}} \quad (61)$$

valabilă cu o aproximație foarte bună (fig. 3) pentru palierele scurte, la care ra-

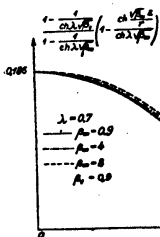


Fig. 3

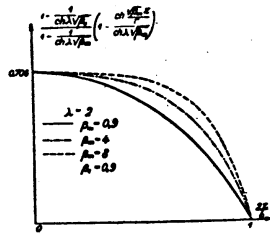


Fig. 4

portul $\frac{b}{2r}$ este mic (în jurul unității). Pentru valori mai mari ale acestui raport, diferențele dintre curbele trasate pentru β_m cuprins între 0,9 și 8 (fig. 4) sunt mai mari. Rezultă că pentru mai multă rigoare este necesar să se reducă intervalul fixat pentru β_m ; în exemplele numerice care urmează se va vedea însă că în realitate valorile lui β_m adoptate depind de excentricitatea α și în cazul cel mai defavorabil (pentru valori mari $\alpha = 0,9$), $1,149 < \beta_m < 7,5$.

Și acest domeniu poate fi însă mult mai restrâns, dacă se folosește un număr mai mare de integrale particulare pentru construirea soluției căutate.

Pe de altă parte, aceste soluțiuni f_{1m} , în care β_m are valori mai ridicate, sunt numai termeni de corecție ai unora din coeficienții A_{m1} (B_{m1}), pe lângă o soluție principală. În consecință, ele sunt afectate de constante cu valori foarte reduse (de ordinul $1/10$ față de coeficientul soluției principale sau mai mici), iar eroarea care se face folosind relația (61) este neglijabilă, chiar în cazurile cele mai dezavantajoase.

Deoarece primele două ecuațiuni ale sistemelor (35) și (36) diferă din cauza condițiilor (34) diferite, se obțin două serii de valori β_{m1A} și β_{m1B} atunci când se rezolvă ecuația în β_m formată după procedul indicat mai sus, prin anularea determinantului primelor $i+1$ ecuațiuni. Fie β_{1A} și β_{1B} valorile cele mai mici ale rădăcinilor β_m . Ecuația (42) se poate scrie astfel

$$p = \frac{1}{2}(p_a + p_b) + \frac{p_b - p_a}{b} x + \frac{1}{(1+\alpha \cos \theta)^2} \left[\left(1 - \frac{\text{ch} \frac{\sqrt{\beta_{1A}} x}{r}}{\text{ch} \frac{\sqrt{\beta_{1A}} b}{2r}} \right) \sum_{n=1}^{\infty} \sum_{m=1}^{\infty} k_{m1A} A_{m1} \sin n\theta + \left(1 - \frac{\text{ch} \frac{\sqrt{\beta_{1B}} x}{r}}{\text{ch} \frac{\sqrt{\beta_{1B}} b}{2r}} \right) \sum_{n=1}^{\infty} \sum_{m=1}^{\infty} k_{m1B} B_{m1} \cos n\theta \right] \quad (62)$$

unde, notând cu $\lambda = \frac{b}{2r}$ alungirea palierului

$$k_{m1A} = \frac{1 - \frac{1}{\text{ch} \lambda \sqrt{\beta_{1A}}}}{1 - \frac{1}{\text{ch} \lambda \sqrt{\beta_{1A}}}}, k_{m1B} = \frac{1 - \frac{1}{\text{ch} \lambda \sqrt{\beta_{1B}}}}{1 - \frac{1}{\text{ch} \lambda \sqrt{\beta_{1B}}}}, k_{1A} = k_{1B} = 1 \quad (63)$$

Condițiuni la limită. În interiorul filmului însă, la fiecare valoare θ și x rezultă o anumită presiune. În particular, aceasta se anulează pentru $\theta = 0$, $x = x_1$ și $\theta = \theta_1$, $x = x_1$ după ce s'au determinat constantele de integrare C_1 și C_2 , iar pentru $\theta_1 < \theta < 2\pi + \theta_1$ $p - p_a$ este negativ ($p_a < p_b$). Tensiunile dirijate după axele Ox , Oy , Oz și normale pe suprafețele perpendiculare pe aceste axe sunt (fig. 1 și 2)

$$\left. \begin{aligned} p_x &= -p - 2\mu \frac{\partial u}{\partial x} \\ p_y &= -p - 2\mu \frac{\partial v}{\partial y} \\ p_z &= -p - 2\mu \frac{\partial w}{\partial z} \end{aligned} \right\} \quad (64)$$

iar tensiunile de forfecare, dacă se notează, ca și pentru acelea normale, cu primul indice normal la suprafața pe care ele se exercită și cu al doilea direcția în care lucrează

$$\left. \begin{aligned} p_{xy} &= -\mu \frac{\partial w}{\partial y} \\ p_{xz} &= -\mu \left(\frac{\partial w}{\partial x} + \frac{\partial u}{\partial z} \right) \\ p_{yz} &= -\mu \frac{\partial u}{\partial y} \end{aligned} \right\} \quad (65)$$

În aceste relații, derivatele vitezelor u, v, w sunt date de ecuațiile (5) și (6), din care se vede imediat că există puncte în interiorul filmului de ulei unde $\frac{\partial u}{\partial x}, \frac{\partial v}{\partial y}$ sau $\frac{\partial w}{\partial z}$ sunt nule sau pozitive. Astfel, pentru $y = \delta$ (pe suprafața cuzinetului) și $y = 0$ (pe suprafața arborelui) aceste derivate sunt nule. În consecință, tensiunile normale date de (64) în punctele acestor suprafețe au semnul lui p și devin negative când $p < 0$.

Cercetările experimentale arată însă că în fluide incompresibile, așa cum se poate considera uleiul, nu pot apărea tensiuni negative importante, deoarece sub acțiunea acestor sollicitări, volumul de ulei care nu-și poate măări dimensiunile se rupe, formând un spațiu de conexiune multiplă, în interiorul căruia se stabilește presiunea din exterior.

Ca urmare, pe toată porțiunea cuprinsă între valorile $\theta_2 \leq \theta \leq 2\pi + \theta_1$, ecuația (51) nu se mai aplică, iar presiunea se consideră, în această regiune, constantă și egală cu aceea exterioară.

Această eliminare a presiunilor negative nu poate rezulta direct din ecuațiile de mișcare (1), (2) și (3), care nu mai sunt valabile în punctele unde $p < p_0$, astfel că, din acest punct de vedere, ecuația (51) nu-și pierde generalitatea sa; este necesar însă a se aplica această ecuație numai între $\theta_1 \leq \theta \leq \theta_2$.

În realitate, unghiurile θ_1 și θ_2 sunt funcțiuni de x , astfel încât curba de suprapresiune nulă pe suprafața arborelui nu este o dreaptă, așa după cum se vede ușor din ecuația (42). Totuși această curbă nu diferă mult de un arc de elice dacă $p_a \neq p_b$ sau de o dreaptă paralelă cu axul arborelui când $p_a = p_b = p_0$. Ecuația (62) care este foarte apropiată de soluția exactă (42) arată imediat acest lucru; punând ca și în expresia (61)

$$\frac{\text{ch} \frac{\sqrt{\beta_{1B}}}{r} x}{\text{ch} \lambda \sqrt{\beta_{1B}}} \approx \frac{1 - \frac{1}{\text{ch} \lambda \sqrt{\beta_{1B}}} \left(\frac{\text{ch} \frac{\sqrt{\beta_{1A}}}{r} x}{1 - \frac{1}{\text{ch} \lambda \sqrt{\beta_{1A}}} \right)}{1 - \frac{1}{\text{ch} \lambda \sqrt{\beta_{1A}}}} = \lambda \left(1 - \frac{\text{ch} \frac{\sqrt{\beta_{1A}}}{r} x}{\text{ch} \lambda \sqrt{\beta_{1A}}} \right) \quad (66)$$

(62) se mai poate scrie

$$p = \frac{1}{2}(p_a + p_b) + \frac{p_b - p_a}{b} x + \frac{\text{ch} \frac{\sqrt{\beta_{1A}}}{r} x}{(1 + \text{acos} \theta)^{2A}} \sum_{m=1}^{\infty} \sum_{n=0}^{\infty} (k_{mA} A_{mn} \sin n\theta + k_{mB} B_{mn} \cos n\theta) \quad (67)$$

și dacă $p_a = p_b = p_0$ rezultă $p = p_0$ pentru valorile θ_1 și θ_2 obținute prin anularea sumei duble care este o funcțiune numai de θ , independentă de x . Când $p_a \neq p_b$, presiunea în secțiunea mediană $x = 0$ este egală cu media p_0 a celor două presiuni exterioare, pentru aceleași valori θ_1 și θ_2 . Curba de

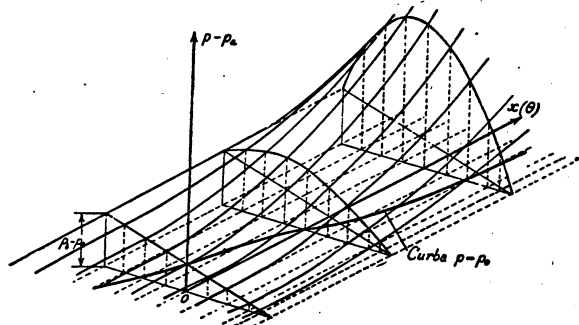


Fig. 5

nivel $p = p_0$ are alura din figura 5, putând fi asemănată, pe porțiunea centrală, cu un arc de elice dacă axul θ se consideră curb, așa cum el este în realitate (fig. 2).

Pentru calculul constantelor C_1 și C_2 se admit în cazul obișnuit când $p_a = p_b = p_0$ următoarele condițiuni

$$\left. \begin{aligned} (p)_{x=0} &= p_0 \text{ pentru } \theta_1 = 0 \\ \text{și} \\ \left(\frac{\partial p}{\partial \theta} \right)_{x=0} &= 0 \text{ pentru } (p)_{x=0} = p_0 \end{aligned} \right\} \quad (68)$$

A doua condițiune, deși corespunde la aceeași valoare a presiunii, are loc însă pentru un $\theta_2 \neq 0$ diferit de θ_1 și ea exprimă că în pelicula de ulei, neputând exista presiuni negative, minimumul lui p este egal cu p_0 , presiunea din mediul exterior. Deoarece însă $p_{\theta=0} \neq p_{\theta=2\pi}$ ecuațiile (42), (62), (67) cât și aceea stabilite pentru p_0 rămân valabile numai în intervalul $\theta_1 \leq \theta \leq \theta_2$ iar între θ_2 și $2\pi + \theta_1$, $p = p_0$ constant.

Dacă palierul circular nu are cuzinetul pe toată pferiferia, ci acesta îmbracă arborele pe un unghi (Θ) , rezultă condiția

$$\Theta = \theta_2 - \theta_1 \quad (69)$$

în locul primei relații din (68), θ_1 fiind în general diferit de zero pentru aceste paliere.

În cazul când alimentarea se face cu uleiul sub o presiune $p_1 > p_0$ la un unghi θ (fig. 6) față de linia centrelor, condiția aceasta înlocuiește pe prima din (68). Unghiul θ se poate determina odată cu excentricitatea α și cu unghiul θ^* dintre linia centrelor și forța exterioară F care lucrează asupra palierului. Pe lângă condițiile la limită fixate pentru palierul cu cuzinet complet, trebuie ca rezultanta presiunilor să fie egală cu F și dirijată după aceeași direcțiune. În cazul când cuzinetul este parțial, nu mai subsistă nici a doua condiție din (68), astfel că vom avea altele legături și anume

$$\left. \begin{aligned} p &= p_1 \text{ pentru } \theta = \theta \\ p &= p_0 \text{ pentru } \theta = \theta_1 \text{ și } \theta = \theta_2 \\ \theta_2 &\leq \theta + \theta_1 \end{aligned} \right\} \quad (70)$$

Aceste condiții la limită sunt complicate, iar soluția generală (42), chiar simplificată sub formele (62) și (67), nu permite un calcul numeric comod. Pentru palierul cu cuzinet complet, se pot admite condițiunile simplificate (Gumbel)

$$p = p_0 \text{ pentru } \theta_1 = 0 \text{ și } \theta_2 = \pi \quad (71)$$

care se aplică chiar când alimentarea se face sub presiune, punctul de alimentare

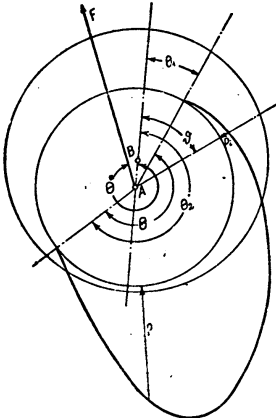


Fig. 6

fiind de obicei la cea $\frac{\pi}{2}$ față de direcția forței exterioare. Poziția liniei centrelor corespunde astfel în mod satisfăcător cu direcția pentru care $p = p_0$ (fig. 6). Pe de altă parte se poate admite că presiunea de alimentare, foarte redusă față de valorile maxime care iau naștere în filmul de ulei, servește numai la învingerea pierderilor în circuitul de ulei și la intrarea în zona dintre arbore și cuzinet, fără a influența asupra poziției axului AB. Experiențele au arătat că nu se produc creșteri de presiune în zona divergentă a filmului de ulei ($\pi < \theta < 2\pi$, astfel că presiunea p_0 se găsește de obicei în punctul $\theta \cong 0$). De asemenea se constată experimental că presiunea revine la valoarea p_0 în apropierea unghiului $\theta = \pi$, astfel încât condițiunile (71) sunt apropiate de realitate. Aplicațiunile numerice făcute pentru palierul infinit cu viscozitatea constantă arată totodată că diferențele dintre forțele F rezultante ale presiunilor, în cazul condițiunilor (66) și pentru relațiile (71), diferă până la 20% fiind mai mici în ultimul caz, care se prezintă astfel acoperitor pentru aplicațiile numerice.

Se remarcă de asemenea că relațiile (71) reproduc aproape exact condițiunile de funcționare din palierul cu ungere prin inel (Sellers), din palierul lucrând în baie de ulei și ținând seama de direcția încălzirii și de poziția curent adoptată pentru admisiunea uleiului, din majoritatea palierelor pentru arbori motori.

Formula presiunilor se prezintă astfel mult mai simplă. Din (51) se deduc constantele

$$C_2 = 0 \text{ și } C_1 = -\Delta(1-\alpha^2) \left[1 - \sum_{n=1}^{\infty} \frac{2n}{\pi} \frac{1}{2^{2n}} \right] \quad (72)$$

iar expresia presiunilor pentru palierul de alungire infinită va fi

$$p_{\infty} = p_0 + \frac{6\mu_1 V r \alpha}{\Delta^2 (1+\alpha)^2 (1-\alpha^2)^{3/2}} \frac{\alpha}{1 + \frac{1}{2} \alpha^2 (1-g) \left(1 - \frac{g}{2}\right)} \times \left[1 - \frac{\alpha^2}{2} (1-g) \left(2 - \frac{g}{2}\right) \right] \sin \theta + \frac{\alpha}{2} \left[1 - \frac{1}{2} (1-g) \left[1 + \alpha^2 \left(1 - \frac{g}{2}\right) \right] \right] \sin 2\theta \quad (73)$$

Comparând această ecuație cu (53), se vede imediat că avem

$$\begin{aligned} \mu_4 &= 2; \quad b_0 = c_2 = c_4 = \dots = c_n = b_n = 0; \\ a_1 &= \frac{6\mu_1 V r \alpha \left[1 - \frac{\alpha^2}{2} (1-g) \left(2 - \frac{g}{2}\right) \right]}{\Delta^2 (1+\alpha)^2 (1-\alpha^2)^{3/2} \left[1 + \frac{1}{2} \alpha^2 (1-g) \left(1 - \frac{g}{2}\right) \right]} \\ a_2 &= \frac{3\mu_1 V r \alpha^2 \left[1 - \frac{1}{2} (1-g) \left[1 + \alpha^2 \left(1 - \frac{g}{2}\right) \right] \right]}{\Delta^2 (1+\alpha)^2 (1-\alpha^2)^{3/2} \left[1 + \frac{1}{2} \alpha^2 (1-g) \left(1 - \frac{g}{2}\right) \right]} \end{aligned} \quad (74)$$

Influența variației viscozității. Rezultă din cele de mai sus că atât p_{∞} cât și presiunile în palierul de lungime finită depind de parametrul g care redă variația viscozității cu grosimea peliculei (8). Pentru uleiurile normale se poate considera $g \cong \frac{2}{3} - 1$. Deoarece însă nu se cunoaște a priori, la proiectarea unui palier, legea exactă de variație a viscozității (valoarea lui g), se consideră de multe ori $\mu = \text{constant} = \mu_m$, egal cu viscozitatea medie a uleiului din palier, iar $g = 0$.

Dacă se ia $g = 1$, ecuația (73) dă

$$p_{\infty} = p_0 + \frac{6\mu_1 V r \alpha}{\Delta^2 (1+\alpha)} \frac{\sin \theta + \frac{\alpha}{2} \sin 2\theta}{(1+\alpha \cos \theta)^2} = p_0 + \frac{6\mu_1 V r \alpha}{\Delta^2 (1+\alpha)} \frac{\sin \theta}{1+\alpha \cos \theta} \quad (75)$$

iar pentru $g = 0$, $\mu = \mu_m$

$$p_{\infty} = p_0 + \frac{12\mu_m V r \alpha}{\Delta^2 (2 + \alpha^2)} \cdot \frac{\sin \theta + \frac{\alpha}{4} \sin 2\theta}{(1 + \alpha \cos \theta)^2} \quad (76)$$

Spre a pune în evidență diferența dintre formulele (75) și (76) s'a calculat repartiția de presiuni pe un palier având următoarele caracteristici: $\alpha = 0,7$; $\mu_1 = 175$ cp. corespunzând unei temperaturi la intrare $t_1 = 30^\circ$; $\mu_2 = 30,9$ cp. corespunzând temperaturii la ieșire $t_2 = 58^\circ,3$

— Raportul $\frac{\mu_2}{\mu_1} = 0,1765 = \frac{1 - \alpha}{1 + \alpha} = \frac{\delta_2}{\delta_1}$, deci $g = 1$.

— Viscositatea medie se poate considera ca media viscosităților la intrare și ieșire $\mu_{111} = \frac{\mu_1 + \mu_2}{2} = 102,95$ cp., sau se poate lua viscositatea corespunzătoare temperaturii medii. În acest caz, $t_m = \frac{1}{2} (t_1 + t_2) = 44,15^\circ$ și viscositatea corespunzătoare de pe curba de variație a acesteia cu temperatura, rezultă $\mu_{111} = 69$ cp.

Cu aceste date s'a calculat coeficientul fără dimensiuni Cp_{∞} în care s'a notat $\psi = \frac{\Delta}{r}$ jocul radial relativ

$$Cp_{\infty} = \frac{(p - p_0) \psi^2}{\mu_1 \omega} \quad (77)$$

Aplicând formulele (75) și (76) se găsesc următoarele expresii

$$\left. \begin{aligned} Cp_{\infty I} &= 2,47 \frac{\sin \theta}{1 + 0,7 \cos \theta} \text{ pentru } g = 1. \\ Cp_{\infty II} &= 1,984 \frac{\sin \theta + 0,175 \sin 2\theta}{(1 + 0,7 \cos \theta)^2} \text{ pentru } g = 0, \mu_{111} = 102,95 \text{ cp.} \\ Cp_{\infty III} &= 1,33 \frac{\sin \theta + 0,175 \sin 2\theta}{(1 + 0,7 \cos \theta)^2} \text{ pentru } g = 0, \mu_{111} = 69 \text{ cp.} \end{aligned} \right\} \quad (78)$$

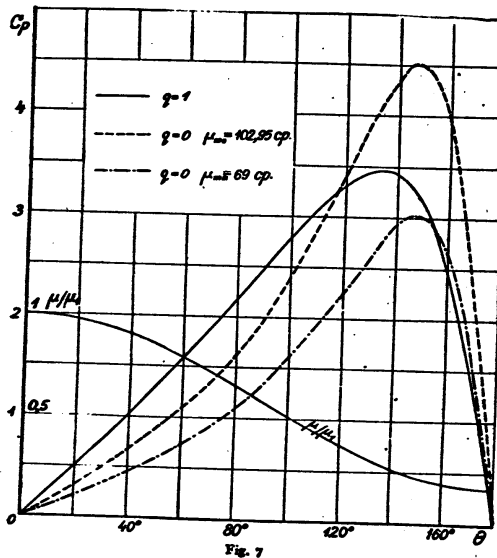
cu ajutorul cărora s'a calculat tabloul Nr. 1.

TABLEUL Nr. 1

θ	0	30°	45°	60°	90°	120°	135°	150°	160°	170°	180°
$\frac{\mu}{\mu_1}$	I	0,916	0,88	0,795	0,588	0,382	0,297	0,2305	0,2005	0,1822	0,1762
$Cp_{\infty I}$	o	0,768	1,169	1,588	2,47	3,297	3,46	3,148	2,48	1,388	o
$Cp_{\infty II}$	o	0,5	0,782	1,11	1,983	3,36	4,14	4,49	3,92	2,355	o
$Cp_{\infty III}$	o	0,336	0,535	0,744	1,33	2,255	2,74	3,015	2,63	1,580	o

Tîpei, N. 7342 Gross, W.
O metoda generala pentru studiul miscarii in pelicula de...
Studii si cercetari de mecanica si metalurgie, Tom II, 1951, pp.1-58

Cu aceste date s'au trasat diagramele din figura 7, din care rezultă că deosebirea dintre cele două cazuri (viscozitate constantă și viscozitate variabilă) sunt importante. Rezultanta presiunilor (diferită de suprafața curbelor figurate), nu este totuși mult deosebită în cele 3 cazuri.



Efectuând calculele, se găsește coeficientul global de portanță al palierului, cu datele de mai sus

$$\zeta_{\infty} = \frac{1}{2} \sqrt{J_{\infty}^2 + \bar{J}_{\infty}^2} \text{ cu } J_{\infty} = \int_0^{\pi} Cp_{\infty} \sin \theta d\theta; \bar{J}_{\infty} = \int_0^{\pi} Cp_{\infty} \cos \theta d\theta \quad (79)$$

sau pentru cele trei cazuri

$$\zeta_{\infty I} = 3,175; \zeta_{\infty II} = 3,72; \zeta_{\infty III} = 2,495. \quad (80)$$

Față de $\zeta_{\infty I}$, portanța palierului cu viscozitatea variabilă, diferența este de +17,18% dacă se consideră viscozitatea constantă egală cu media acestora

dela intrare și ieșire și de $-21,4\%$ dacă se ia viscozitatea corespunzătoare temperaturii medii. Eroarea prin exces dată de ζ_{min} se accentuează dacă $\alpha > 0,7$ și scade odată cu α , iar pentru ζ_{max} situația se prezintă invers, rezultatele fiind cu atât mai bune cu cât excentricitatea este mai mare.

În realitate, nu se poate afirma că valoarea parametrului $q = 1$ este cea mai bună, decât după ce s'a făcut calculul termic al palierului, determinându-se exact temperaturile la intrare și ieșire. Valoarea lui q depinde astfel de posibilitățile de evacuare a căldurii dezvoltate în palier, variabile dela caz la caz cu genul de construcție al acestuia, cu temperaturile din mediul exterior, cu debitul de ulei asigurată prin circuitul de alimentare, cu sistemul de răcire a uleiului în exterior, etc. Totodată q depinde de curba de variație a viscozității uleiului cu temperatura, sau de indicele Dean-Davis al acestuia. De asemenea q este influențat și de variația presiunii care modifică viscozitatea, într-o măsură mult mai redusă însă decât temperatura.

Problema fixării parametrului q este astfel foarte complexă. Se poate totuși admite în general $q = 1$ sau $q = 0$, dacă se alege valoarea medie a viscozității după cum s'a arătat. De multe ori, este greu să se calculeze însă viscozitatea medie, acest lucru implicând o evaluare a temperaturilor t_1 și t_2 , astfel încât poate fi preferabil să se admită $q = 1$ și să se aprecieze numai t_1 la intrare pentru calculul lui μ_1 , ceea ce este mai ușor, eventual t_1 fiind chiar temperatura din mediul exterior. Rămâne bineînțeles să se verifice apoi dacă μ_2 rezultat corespunde cu valoarea dela temperatura t_2 de ieșire. În cazul când deosebirea este mare, se poate calcula q din relația (8), în care μ_2 se ia pentru temperatura t_2 și apoi se reface calculul până la încadrarea rezultatului final cu aproximația dorită.

Totuși, pentru calculul rezultantei presiunilor se poate renunța la aceste aproximații succesive care sunt laborioase, admitând $q = 1$ sau o viscozitate medie constantă.

Pe diagrama din figura 7 s'a trasat de asemenea variația viscozității în funcție de θ , așa cum rezultă din formula (8). Curba $\mu = f(\theta)$ este suficient de aproape de o linie dreaptă și corespunde astfel în mod satisfăcător cu ipoteza simplificatoare care se face uneori prin admiterea unei variații lineare a lui μ în lungul filmului de ulei.

Exemple numerice. Spre a pune în evidență rezultatele găsite și valoarea aproximațiilor pentru rezolvarea ecuației cu diferențe (33), s'au efectuat calculele pentru două cazuri limită $\alpha = 0,4$ și $\alpha = 0,9$, precum și pentru valoarea intermediară $\alpha = 0,6$.

Într'adevăr, se vede din (35), (42) și (56) că, pentru un palier de dimensiuni date și o anumită viteză periferică, parametrul α este acela de care depinde mărimea și repartiția presiunilor. Cu excentricitatea relativă cresc și presiunile maxime atinse, portanța totală a palierului, iar grosimea minimă δ_2 a filmului de ulei scade (fig. 1). Cum această grosime, pentru un joc radial dat, nu poate coborî sub o anumită limită spre a se evita contactul direct între suprafețele metalice, și cum între δ_2 , Δ și α există relația

$$\delta_2 = (1 - \alpha)\Delta$$

urmează că α nu poate depăși o valoare maximă, în jurul lui $\alpha \sim 0,9$. Exponentul q care dă variația viscozității în lungul filmului de ulei se admite egal cu unitatea, în acord cu rezultatele măsurătorilor experimentale

pentru uleiuri (Freudenreich). S'a găsit apoi (74) valoarea lui $\alpha = 2$.

I. $\alpha = 0,4$. Se vor aplica mai departe normele de calcul expuse mai sus. Fie $i = 3$. Ecuațiile (35) devin

$$\left. \begin{aligned} A_{m0} &= 0 \\ 0,04(\beta_{m,A} - 15)A_{m3} + 0,4(\beta_{m,A} - 5)A_{m2} + (1,04\beta_{m,A} - 0,64)A_{m1} &= 0 \\ 0,4(\beta_{m,A} - 11)A_{m3} + (1,08\beta_{m,A} - 4)A_{m2} + 0,4(\beta_{m,A} + 1)A_{m1} &= 0 \\ (1,08\beta_{m,A} - 9,4)A_{m3} + 0,4(\beta_{m,A} - 1)A_{m2} + 0,04(\beta_{m,A} + 1)A_{m1} &= 0 \end{aligned} \right\} (81)$$

Anulând determinantul coeficienților necunoscutelor A_{m1} , A_{m2} , A_{m3} , se obține ecuația în $\beta_{m,A}$

$$\beta_{m,A}^3 - 13,16\beta_{m,A}^2 + 45,43\beta_{m,A} - 33,9 = 0 \quad (82)$$

ale cărei rădăcini sunt

$$\beta_{1,A} = 1,028; \beta_{2,A} = 4,104 \text{ și } \beta_{3,A} = 8,028. \quad (83)$$

Pentru găsirea integralei p vom folosi, în vederea simplificării calculului, numai primele două valori $\beta_{1,A}$ și $\beta_{2,A}$. Înlocuind în sistemul (81) pe $\beta_{1,A} = 1,028$ se obține

$$\frac{A_{12}}{A_{11}} = 0,2665; \frac{A_{13}}{A_{11}} = 0,01015 \quad (84)$$

Pentru calculul coeficienților de ordin superior, se consideră următoarele 3 ecuații, în care se neglijează termenii A_{m1} și A_{m3} ,

$$\left. \begin{aligned} 0,04(\beta_{m,A} - 48)A_{m6} + 0,4(\beta_{m,A} - 29)A_{m5} + (1,08\beta_{m,A} - 16,96)A_{m4} + \\ + 0,4(\beta_{m,A} - 5)A_{m3} + 0,04\beta_{m,A}A_{m2} &= 0 \\ 0,4(\beta_{m,A} - 41)A_{m6} + (1,08\beta_{m,A} - 26,68)A_{m5} + 0,4(\beta_{m,A} - 11)A_{m4} + \\ + 0,04(\beta_{m,A} - 3)A_{m3} &= 0 \\ (1,08\beta_{m,A} - 38,56)A_{m6} + 0,4(\beta_{m,A} - 19)A_{m5} + 0,04(\beta_{m,A} - 8)A_{m4} &= 0 \end{aligned} \right\} (85)$$

cu valoarea $\beta_{1,A} = 1,028$ și coeficienții A_{12} , A_{13} din (84) se găsește, rezolvând sistemul (85)

$$\frac{A_{14}}{A_{11}} = -0,000343; \frac{A_{15}}{A_{11}} = 0,000234; \frac{A_{16}}{A_{11}} = -0,0000192 \quad (86)$$

De asemenea, pentru $\beta_{2,A} = 4,104$, ecuațiile (81) și (85) dau

$$\frac{A_{22}}{A_{21}} = 7,74; \frac{A_{23}}{A_{21}} = 1,975; \frac{A_{24}}{A_{21}} = 0,0467; \frac{A_{25}}{A_{21}} = -0,00221; \frac{A_{26}}{A_{21}} = 0,0001725 \quad (87)$$

Din aceste șiruri de valori se observă convergența rapidă a termenilor A_{mi} care justifică pe deplin neglijarea necunoscutelor A_{m4} , A_{m5} ... în primele trei ecuații, precum și deplasarea maximumului A_{m6} odată cu creșterea lui $\beta_{m,A}$.

Pentru $\beta_{1A} = 1,028$ se vede că A_{11} are valoarea cea mai mare, pentru $\beta_{2A} = 4,104$ A_{22} are valoarea cea mai mare, ordinea în mărime absolută fiind $A_{22} > A_{21} > A_{11} > A_{12} > A_{15} \dots$. Această alură a coeficienților A_{mn} în funcție de β_{mA} se regăsește pentru toate valorile lui α și este foarte utilă pentru construirea soluției căutate cu ajutorul unui număr redus de integrale particulare f_{im} .

Sistemul (54) se reduce astfel la 2 ecuații. Utilizând valorile lui a_1 și a_2 din (74) se găsește

$$\left. \begin{aligned} A_{11} + A_{21} = a_1 = \frac{1,715 \mu_1 V r}{\Delta^2} ; A_{11} = 1,009 \frac{1,715 \mu_1 V r}{\Delta^2} \\ 0,2665 A_{11} + 7,74 A_{21} = a_2 = 0,2 \frac{1,715 \mu_1 V r}{\Delta^2} ; A_{21} = -0,009 \frac{1,715 \mu_1 V r}{\Delta^2} \end{aligned} \right\} (88)$$

Mai departe, cu ajutorul valorilor (84), (86) și (87) ale coeficienților A_{mn} de ordin superior, se deduc coeficienții $a_3, a_4 \dots$ din sistemul (54)

$$\left. \begin{aligned} a_3 = -0,00753 \frac{1,715 \mu_1 V r}{\Delta^2} ; a_5 = 0,0000435 \frac{1,715 \mu_1 V r}{\Delta^2} \\ a_4 = -0,000766 \frac{1,715 \mu_1 V r}{\Delta^2} ; a_6 = -0,000003487 \frac{1,715 \mu_1 V r}{\Delta^2} \end{aligned} \right\} (89)$$

cel mai mare din aceștia reprezintă $7,53\%$ din a_1 și $3,77\%$ din a_2 , iar termenii următori formează o progresie geometrică descrescătoare cu rația sub $\frac{1}{10}$;

deci toți termenii dela a_3 înainte sunt neglijabili față de a_1, a_2 . Soluția găsită folosind numai două integrale particulare f_{11} și f_{12} coincide astfel aproape riguros cu p_{20} , pentru care a_1, a_2 au exact aceleași valori, iar $a_n = 0$ când $n > 2$.

S'a arătat că un mijloc rapid de calcul al coeficienților de ordin superior constă în a neglija în fiecare ecuație de ordin $n > i = 3$ ultimii doi termeni. Astfel, sistemul (85) se rezolvă din aproape în aproape, suprimând A_{m5} și A_{m6} în prima ecuație, pe A_{m6} în a doua, etc. Se găsește pe această cale, cu $\beta_{1A} = 1,028$

$$\frac{A_{14}}{A_{11}} = -0,000326; \frac{A_{15}}{A_{11}} = 0,00001956; \frac{A_{18}}{A_{11}} = -0,000001327 \quad (90)$$

iar pentru $\beta_{2A} = 4,104$

$$\frac{A_{24}}{A_{21}} = 0,045; \frac{A_{25}}{A_{21}} = -0,00188; \frac{A_{28}}{A_{21}} = 0,000122 \quad (91)$$

care corespund în mod satisfăcător cu valorile mai exacte date de (86) și (87). II. $\alpha = 0,9$. Deoarece pentru valorile mari ale lui α convergența coeficienților A_{mn} este mai mică și deoarece este necesar să se determine rădăcinile β_{mA} cât mai exact, s'a folosit un număr mai mare de ecuațiuni. Fie

$i = 6$; ca și în exemplul precedent, se pot scrie ecuațiile (35) în care se înlocuiește $\alpha = 0,9, q = 1, x = 2$

$$A_{m0} = 0$$

$$\left. \begin{aligned} 0,2025 (\beta_{mA} - 15) A_{m3} + 0,9 (\beta_{mA} - 5) A_{m2} + (1,2025 \beta_{mA} + 0,8225) A_{m1} &= 0 \\ 0,2025 (\beta_{mA} - 24) A_{m4} + 0,9 (\beta_{mA} - 11) A_{m3} + (1,405 \beta_{mA} - 4) A_{m2} + 0,9 (\beta_{mA} + 1) A_{m1} &= 0 \\ 0,2025 (\beta_{mA} - 35) A_{m5} + 0,9 (\beta_{mA} - 19) A_{m4} + (1,405 \beta_{mA} - 11,025) A_{m3} + 0,9 (\beta_{mA} - 1) A_{m2} + 0,2025 (\beta_{mA} + 1) A_{m1} &= 0 \\ 0,2025 (\beta_{mA} - 48) A_{m6} + 0,9 (\beta_{mA} - 29) A_{m5} + (1,405 \beta_{mA} - 20,85) A_{m4} + 0,9 (\beta_{mA} - 5) A_{m3} + 0,2025 \beta_{mA} A_{m2} &= 0 \\ 0,9 (\beta_{mA} - 41) A_{m6} + (1,405 \beta_{mA} - 33,5) A_{m5} + 0,9 (\beta_{mA} - 11) A_{m4} + 0,2025 (\beta_{mA} - 3) A_{m3} &= 0 \\ (1,405 \beta_{mA} - 48,93) A_{m6} + 0,9 (\beta_{mA} - 19) A_{m5} + 0,2025 (\beta_{mA} - 8) A_{m4} &= 0 \end{aligned} \right\} (92)$$

Din condiția de compatibilitate a sistemului (92) se găsește ecuația în β_{mA}

$$\beta_{mA}^6 - 71,3 \beta_{mA}^5 + 2006 \beta_{mA}^4 - 28320 \beta_{mA}^3 + 191900 \beta_{mA}^2 - 552300 \beta_{mA} + 420200 = 0 \quad (93)$$

cu rădăcinile

$$\beta_{1A} = 1,149; \beta_{2A} = \beta_{3A} = 6,2; \beta_{5A} = 27,5 \quad (94)$$

și încă două valori imaginare.

Procedând ca și pentru $\alpha = 0,4$, se înlocuiesc pe rând valorile β_{1A}, β_{2A} în sistemul (92), obținându-se două serii de coeficienți $\frac{A_{mn}}{A_{m1}}$. Deoarece rădăcina $\beta_{5A} = 27,5$ este prea mult diferită de primele, nu s'a utilizat această valoare spre a nu se introducă aproximații însemnate în cazul când se folosește ecuația (62) în locul relației exacte (42); totodată la $\beta_{2A} = 27,5$ se obțin valori prea mari pentru termenii superiori A_{51}, A_{55} , astfel că soluția corespunzătoare nu prezintă interes pentru construirea integralei căutate.

Se vor utiliza în acest scop încă două valori ale lui β_{mA} alese arbitrar, fie $\beta_{2A} = 4$ și $\beta_{5A} = 7,5$, procedându-se așa după cum s'a arătat anterior. În acest scop, este suficient să se suprimă ultima ecuațiune din (92) și să se rezolve acest sistem unde s'a înlocuit $\beta_{mA} = \beta_{2A}$ apoi $\beta_{mA} = \beta_{5A}$.

Se determină astfel patru grupe de valori $\frac{A_{m2}}{A_{m1}}, \dots, \frac{A_{m6}}{A_{m1}}$. Spre a deduce și termenii următori $\frac{A_{m7}}{A_{m1}}, \frac{A_{m8}}{A_{m1}}, \frac{A_{m9}}{A_{m1}}$ se rezolvă mai departe sistemul de ecuațiuni

corespunzând lui $n = 7$, $n = 8$ și $n = 9$, în care se înlocuiește $\beta_{2A} = 1,149$ și $\beta_{2A} = 6,2$ și se neglijează A_{m10} , A_{m11} ; apoi se consideră sistemul de ecuațiuni derivat din (35) în care $n = 6$, $n = 7$ și $n = 8$, A_{m10} se neglijează, iar $\beta_{2A} = 4$ și $\beta_{2A} = 7,5$, deducându-se ultimele două serii de valori ale termenilor căutați. S'a obținut astfel tabloul Nr. 2.

TABLEUL Nr. 2

m	β_{2A}	$\frac{A_{m2}}{A_{m1}}$	$\frac{A_{m3}}{A_{m1}}$	$\frac{A_{m4}}{A_{m1}}$	$\frac{A_{m5}}{A_{m1}}$	$\frac{A_{m6}}{A_{m1}}$	$\frac{A_{m7}}{A_{m1}}$	$\frac{A_{m8}}{A_{m1}}$	$\frac{A_{m9}}{A_{m1}}$
1	1,149	0,584	0,066	-0,00648	0,00135	-0,000264	0,0000195	-0,00000095	-0,000000046
2	4	2,86	1,3741	0,116	-0,01795	0,01826	-0,0101	0,00588	-0,0020
3	6,2	10,22	10,831	2,1474	-0,1048	0,01056	0,00036	-0,0009038	0,0004025
6	7,5	54,3	87	26,372	0,56	-0,545	0,38	-0,2575	0,1595

Se observă convergența rapidă a termenilor A_{mn} , cu deosebire pentru valorile $\beta_{2A} = 1,149$ și $\beta_{2A} = 6,2$, care au fost deduse din ecuația (93), rezultată la rândul său din sistemul (92), unde s'a admis ca ipoteză tocmai această scădere rapidă a coeficienților de ordin superior; se vede imediat că presupunerea apare pe deplin justificată.

Pentru celelalte două șiruri de valori ($m = 2$ și $m = 6$), în care β_{2A} a căpătat valori arbitrare, descreșterea termenilor A_{mn} este mai lentă, totuși suficient de bună spre a justifica neglijarea lui A_{m7} în (92). Totodată, valorile extreme ale lui β_{2A} rămân în limite suficient de restrânse, astfel că aproximația ce se introduce în cazul când se folosește soluția (67) în locul aceleia exacte (42) să fie admisibilă.

Utilizând aceste patru soluții f_{11} , f_{12} , f_{13} și f_{16} primele patru ecuații ale sistemului (54) sunt

$$\left. \begin{aligned} A_{11} + A_{21} + A_{31} + A_{61} &= a_1 = \frac{2,84 \mu_1 V r}{\Delta^2} \\ 0,584 A_{11} + 2,86 A_{21} + 10,22 A_{31} + 54,3 A_{61} &= a_2 = 0,45 \frac{2,84 \mu_1 V r}{\Delta^2} \\ 0,0646 A_{11} + 1,3741 A_{21} + 10,831 A_{31} + 87 A_{61} &= a_3 = 0 \\ -0,00648 A_{11} + 0,116 A_{21} + 2,1474 A_{31} + 26,372 A_{61} &= a_4 = 0 \end{aligned} \right\} (95)$$

Din care se găsește

$$\left. \begin{aligned} A_{11} &= 1,016 \frac{2,84 \mu_1 V r}{\Delta^2} & A_{21} &= 0,00181 \frac{2,84 \mu_1 V r}{\Delta^2} \\ A_{31} &= -0,0201 \frac{2,84 \mu_1 V r}{\Delta^2} & A_{61} &= 0,00171 \frac{2,84 \mu_1 V r}{\Delta^2} \end{aligned} \right\} (96)$$

Cu aceste valori se deduc din (54) termenii a_n pentru $n > 4$

$$\left. \begin{aligned} a_5 &= 0,0043584 a_1 & a_6 &= -0,00138195 a_1 \\ a_7 &= 0,00067679 a_1 & a_8 &= -0,00041744 a_1; & a_9 &= 0,000244193 a_1 \end{aligned} \right\} (97)$$

Pentru a satisface exact condițiunile (74), acești termeni (a_5, a_6, \dots) trebuie să fie nuli. Utilizând un număr cât mai mare de integrale particulare f_{1m} se poate scobori valoarea lor sub o limită fixată, oricât de mică. Față de a_1 și de $a_2 = 0,45 a_1$ se observă însă că termenii din (97) nu reprezintă nici 1%, de aceea se poate considera că soluția generală (42) sau (67) construită cu aceste patru integrale particulare este aproape riguroasă.

În realitate, se pot folosi numai două integrale particulare, fie f_{11} și f_{13} . Procedând ca mai sus se găsește ușor sistemul

$$\left. \begin{aligned} A_{11} + A_{21} &= a_1 = \frac{2,84 \mu_1 V r}{\Delta^2} & A_{11} &= 1,058 a_1 \\ 0,584 A_{11} + 2,86 A_{21} &= a_2 = 0,45 a_1 = 0,45 \frac{2,84 \mu_1 V r}{\Delta^2}; & A_{21} &= -0,058 a_1 \end{aligned} \right\} (98)$$

În continuare rezultă coeficienții de ordin superior

$$\left. \begin{aligned} a_3 &= -0,0114 a_1 & a_6 &= -0,001338 a_1 & a_8 &= -0,0003473 a_1 \\ a_4 &= -0,01359 a_1 & a_7 &= 0,0006374 a_1 & a_9 &= 0,000167513 a_1 \\ a_5 &= 0,003617 a_1 \end{aligned} \right\} (99)$$

care de asemenea pot fi neglijați față de a_1 și a_2 , astfel încât și pentru $\alpha = 0,9$ sunt suficiente două integrale pentru a satisface condițiunile (74).

Spre a evalua eroarea introdusă neglijând termenii a_n de ordin superior, se va presupune că începând dela A_{m7} înainte se poate aplica relația (40) pentru cele patru grupe de coeficienți corespuzând lui $m = 1, m = 2, m = 3$ și $m = 6$. În acest caz se poate scrie, înlocuind $\alpha = 0,9$ în (40)

$$\rho = \frac{A_{m, n+1}}{A_{m, n}} = \frac{a_{n+1}}{a_n} = -0,628 \quad (100)$$

Se remarcă imediat că în realitate a_7, a_8, a_9 descresc mai repede decât rezultă din această relație, care începe să fie valabilă pentru valori mai mari ale lui n . Cu ajutorul relației (100) se poate forma astfel o serie care majorează șirul coeficienților reali. Fie această serie

$$s = a \sum_{n=1}^{\infty} \rho^{n-1} \sin n\theta \quad (101)$$

Coefficientul a se calculează din condiția ca termenul a_n să corespuadă cu valoarea din șirul real (99)

$$a_7 = a \rho^6 = 0,0006374 \text{ sau } a = \frac{0,0006374 a_1}{(-0,628)^6} = 0,0104 a_1 \quad (102)$$

Rezultă astfel suma termenilor neglijați dela a_n înainte

$$s = a (\sin \theta + \rho \sin 2\theta + \rho^2 \sin 3\theta + \rho^3 \sin 4\theta + \rho^4 \sin 5\theta + \rho^5 \sin 6\theta) \quad (103)$$

Observând mai departe că avem

$$s = \frac{a \sin \theta}{1 + \rho^2 - 2\rho \cos \theta} \quad (104)$$

și strângând termenii din paranteza (103) se găsește

$$\varepsilon = a \left[\left(\frac{1}{1 + \rho^2 - 2\rho \cos \theta} - 1 \right) \sin \theta - \rho (\sin 2\theta + \rho \sin 3\theta) (1 + 2\rho^2 \cos 2\theta + 2\rho^3 \cos 3\theta) \right] - \int \sin 5\theta \quad (105)$$

Valoarea absolută maximă a acestei expresii are loc pentru $\theta = 125^\circ$ și este $\varepsilon_{max} = 0,0085 a_1$.

Urmează că toți termenii neglijați dela ε , înainte au o sumă maximă mai mică decât această valoare majorantă. Cum însă ε_{max} este neglijabil față de a_1 , ca și termenii precedenți a_2, a_3 , rezultă că soluția p_2 găsită cu ajutorul acestor două valori particulare ale lui $\beta_{m,A}$ corespunde cu formula (73), cu o eroare mai mică de 3%.

III. $\alpha = 0,6$. Ca și în exemplele precedente, luând $i = 4$ se găsește ecuația în $\beta_{m,A}$

$$\beta_{m,A}^4 - 27,27 \beta_{m,A}^3 + 239,5 \beta_{m,A}^2 - 730,5 \beta_{m,A} + 538,5 = 0 \quad (106)$$

cu rădăcinile

$$\beta_{1,A} = 1,07; \beta_{2,A} = 4,23; \beta_{3,A} = -10,6; \beta_{4,A} = 11,2 \quad (107)$$

Pentru construirea soluției generale (42) sau (67) se vor folosi primele două valori care dau integrale particulare f_{11} și f_{12} . Coeficienții $A_{m,A}$ apar în tabloul Nr. 3.

TABLOUL Nr. 3

m	$\beta_{m,A}$	$\frac{A_{m0}}{A_{m1}}$	$\frac{A_{m2}}{A_{m1}}$	$\frac{A_{m4}}{A_{m1}}$
1	1,07	0,384	0,0253	-0,001406
2	4,23	5,275	2,0462	0,0807

Sistemul (54) dă pentru primele două ecuații

$$\left. \begin{aligned} A_{11} + A_{21} &= a_1 = \frac{2,25 \mu_1 V r}{\Delta^2} \\ 0,384 A_{11} + 5,275 A_{21} &= a_2 = 0,3 \frac{2,25 \mu_1 V r}{\Delta^2} \end{aligned} \right\} \quad (108)$$

de unde

$$\left. \begin{aligned} A_{11} &= 1,017 a_1 = 1,017 \frac{2,25 \mu_1 V r}{\Delta^2} \\ A_{21} &= -0,017 a_1 = -0,017 \frac{2,25 \mu_1 V r}{\Delta^2} \end{aligned} \right\} \quad (109)$$

apoi

$$a_3 = -0,0091 a_1; a_4 = -0,002892 a_1, \dots \quad (110)$$

ca și în cazurile precedente a_3, a_4, \dots, a_n pot fi considerați nuli față de a_1, a_2 , deci condițiunile (74) sunt îndeplinite de asemenea cu două integrale particulare.

Ecuatia presiunilor în palierul circular cu cuzinet pe toată periferia fusului. Din calculele anterioare rezultă că valorile parametrului $\beta_{1,A}$ sunt aproape de unitate pentru toată gama de excentricități α ($0 < \alpha < 1$). Dacă se consideră mai exact $\beta_{1,A}$ ca o funcțiune de α , variația în funcție de excentricitate este aproape riguros o linie dreaptă de ecuație:

$$\beta_{1,A} = 0,9312 + 0,242 \alpha \quad (111)$$

Totodată se observă că sunt suficiente în toate cazurile numai două integrale particulare f_{1m} pentru soluția generală (42) și că a doua valoare a parametrului $\beta_{m,A}$ este aproape constantă și egală cu 4. Termenul din soluțiile (42), (62) sau (67) care conține pe $\beta_{2,A}$ este de importanță secundară față de primul și s'a arătat de asemenea că influența lui $\beta_{m,A}$ asupra soluției f_{1m} este mică dacă $\beta_{m,A}$ nu ia valori mult prea diferite. Admițând condițiunile la limită simplificate (71), ecuația exactă a presiunilor (42) are o formă deosebit de simplă pentru palierul de alungire finită λ , când $q = 1$

$$p = p_0 + \frac{\text{ch } \sqrt{\beta_{1,A}} x}{1 + \alpha \cos \theta} \left[(A_{11} + k_{2A} A_{21}) \sin \theta + (A_{12} + k_{2A} A_{22}) \sin 2\theta \right] \quad (112)$$

unde după (63)

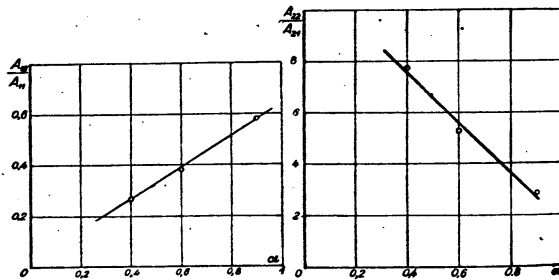
$$k_{2A} = \frac{1 - \frac{1}{\text{ch } 2\lambda}}{1 - \frac{1}{\text{ch } \lambda}} \quad (113)$$

iar coeficienții A_{11} și A_{21} se deduc ușor din primele două ecuațiuni (54). In ceea ce privește rapoartele $\frac{A_{12}}{A_{11}}$ și $\frac{A_{22}}{A_{21}}$ s'au găsit următoarele valori:

TABLOUL Nr. 4

α	0,4	0,6	0,9
$\frac{A_{12}}{A_{11}}$	0,2665	0,384	0,584
$\frac{A_{22}}{A_{21}}$	7,74	5,275	2,86

Pentru intervalul $\alpha = 0,3 - 0,95$ care cuprinde toate cazurile practice de funcționare a palierelor, rezultă din diagramele din figurile 8 și 9 că rapoartele



$\frac{A_{12}}{A_{11}}$ și $\frac{A_{22}}{A_{21}}$ au o variație, în funcție de excentricitate, aproape riguros lineară, ele fiind date de ecuațiile

$$\left. \begin{aligned} \frac{A_{12}}{A_{11}} &= 0,0157 + 0,627 \alpha \\ \frac{A_{22}}{A_{21}} &= 11,34 - 9,6 \alpha \end{aligned} \right\} \quad (114)$$

de unde rezultă aceste rapoarte fără a fi nevoie să se mai rezolve sistemul (35) pentru fiecare α . Valorile lui k_{2A} variază de asemenea de la $k_{2A} = 3,11$ pentru $\lambda = 0,5$ la $k_{2A} = 1$ pentru $\lambda = \infty$, aceste valori ale alungirii putând fi considerate ca extreme

în construcțiile mecanice. Pe de altă parte, A_{21} nu depășește -6% din A_{11} (A_{21} este întotdeauna negativ când se folosesc numai două soluții particulare f_{im}); cum p dat de formula (112) aproximează formula exactă (42) prin lipsă se poate considera coeficientul lui $\sin \theta$ egal cu unitatea, astfel că rezultă în cele din urmă, ținând seama și de relațiile (114)

$$p = p_0 + \frac{6\mu_1 V r}{\Delta^3} \cdot \frac{\alpha}{1 + \alpha} \left(1 - \frac{\text{ch} \sqrt{\beta_{1A}}}{\text{ch} \lambda \sqrt{\beta_{1A}}} \right) \cdot \frac{\sin \theta}{(1 + \alpha \cos \theta)^2} \times \left\{ 1 + \left[0,0314 + 1,254 \alpha + k_{2A} (22,68 - 19,2 \alpha) \frac{A_{21}}{A_{11}} \right] \cos \theta \right\} \quad (115)$$

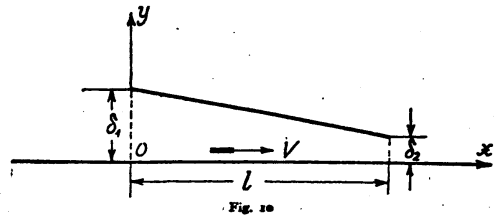
iar raportul $\frac{A_{21}}{A_{11}}$ se poate calcula direct în funcție de α din (54), (74) și (114) pentru $q = 1$

$$\frac{A_{21}}{A_{11}} = \frac{0,0157 + 0,127 \alpha}{11,34 - 10,10 \alpha} \quad (116)$$

Ecuația (115) reprezintă astfel o expresie simplă pentru repartiția de presiuni într'un palier de lungime finită cu cuzinet complet, cu ajutorul căreia se pot deduce ușor mai departe caracteristicile globale de funcționare. Aproximația cea mai importantă în această relație este datorită valorii $q = 1$ admisă; totuși eroarea nu este mare, chiar față de cazul limită când $q = 0$, după cum s'a arătat.

Palierul plan (patină-glisieră)

Se poate trata problema în mod analog cu palierul cilindric. Dacă l este lungimea suprafeței mobile măsurată după direcția mișcării (Ox) se face substituția (fig. 10)



$$\left. \begin{aligned} x &= \frac{l}{2} (1 - \cos \theta) ; \quad \alpha = \frac{\delta_1 - \delta_2}{\delta_1 + \delta_2} \\ \Delta &= \frac{\delta_1 + \delta_2}{2} \text{ și } \delta = \Delta (1 + \alpha \cos \theta) \end{aligned} \right\} \quad (117)$$

iar ecuațiile (12) vor fi astfel

$$\begin{cases} \frac{d^2 f_{1m}}{d\theta^2} - \frac{(3-q)\alpha \sin \theta}{1 + \alpha \cos \theta} \frac{df_{1m}}{d\theta} + \beta_m \sin^2 \theta f_{1m} = 0 \\ \frac{d^2 f_{2m}}{dx^2} - \frac{4\beta_m}{l^2} f_{2m} = 0 \end{cases} \quad (118)$$

Sistemul (118) admite soluții de aceeași formă cu (32), cu singura deosebire că r din expresia f_{1m} se înlocuiește prin $\frac{l}{2}$. Ecuația cu diferențe (33) capătă o formă deosebită:

$$\begin{aligned} & -\frac{\alpha^2}{16} \beta_m A_{m,n+4} (E_{m,n+4}) - \frac{\alpha}{4} \beta_m A_{m,n+3} (E_{m,n+3}) - \frac{1}{4} \left[\beta_m + \alpha^2 (n + \right. \\ & \quad \left. + x) (n + x - 3 + q) \right] A_{m,n+2} (E_{m,n+2}) + \\ & + \alpha \left[\frac{\beta_m}{4} - n^2 - \left(x - \frac{3-q}{2} \right) n + \frac{x}{2} \right] A_{m,n+1} (E_{m,n+1}) + \\ & + \left[\frac{1}{2} \left(1 + \frac{\alpha^2}{4} \right) \beta_m - \left(1 + \frac{\alpha^2}{2} \right) n^2 + \frac{\alpha^2}{2} x (x + q - 1) \right] A_{mn} (E_{mn}) + \\ & + \alpha \left[\frac{\beta_m}{4} - n^2 + \left(x - \frac{3-q}{2} \right) n + \frac{x}{2} \right] A_{m,n-1} (E_{m,n-1}) \\ & - \frac{1}{4} \left[\beta_m + \alpha^2 (n-x) (n-x+3-q) \right] A_{m,n-2} (E_{m,n-2}) - \\ & - \frac{\alpha}{4} \beta_m A_{m,n-3} (E_{m,n-3}) - \frac{\alpha^2}{16} \beta_m A_{m,n-4} (E_{m,n-4}) = 0 \end{aligned} \quad (119)$$

Această ecuație de ordinul 8 este mai complicată decât (33). Soluția generală va depinde de patru constante arbitrare, deoarece există legăturile suplimentare între coeficienții

$$\left. \begin{aligned} A_{m,-4} &= -A_{m4} & E_{m,-4} &= E_{m4} \\ A_{m,-3} &= -A_{m3} & E_{m,-3} &= E_{m3} \\ A_{m,-2} &= -A_{m2} & E_{m,-2} &= E_{m2} \\ A_{m,-1} &= -A_{m1} & E_{m,-1} &= E_{m1} \end{aligned} \right\} \quad (120)$$

În afară de termenii A_1 și B_0 care rămân constante arbitrare, celelalte 3 constante pot fi alese astfel ca să se asigure șirului de coeficienți A_{mn} , E_{mn} o descreștere rapidă. Ca și în cazul palierului cilindric, ecuația (119) interesând

numai valori discrete ale lui n (n întreg și pozitiv) poate fi tratată ca o simplă relație de recurență pe aceeași cale. Sistemele (35) și (36) vor fi în acest caz:

$$\begin{aligned} & A_0 = 0 \\ & -\frac{\alpha^2}{16} \beta_{m,A} A_{m5} - \frac{\alpha}{4} \beta_{m,A} A_{m4} - \frac{1}{4} \left[\left(1 - \frac{\alpha^2}{4} \right) \beta_{m,A} + \alpha^2 (1+x) (x + \right. \\ & \quad \left. + q - 2) \right] A_{m3} + \frac{\alpha}{2} (\beta_{m,A} + 1 - x - q) A_{m2} + \left[\frac{1}{4} \left(3 + \frac{\alpha^2}{2} \right) \beta_{m,A} - \right. \\ & \quad \left. - 1 + \frac{\alpha^2}{2} [x(x+q-1) - 1 + \frac{1}{2} (1-x) (4-x-q)] \right] A_{m1} = 0 \\ & -\frac{\alpha^2}{16} \beta_{m,A} A_{m6} - \frac{\alpha}{4} \beta_{m,A} A_{m5} - \frac{1}{4} \left[\beta_{m,A} + \alpha^2 (2+x) (x+q-1) \right] A_{m4} + \\ & + \alpha \left(\frac{\beta_{m,A}}{4} - 1 - \frac{3}{2} x - q \right) A_{m3} + \left[\frac{1}{2} \left(1 + \frac{3}{8} \alpha^2 \right) \beta_{m,A} - 4 + \right. \\ & \quad \left. + \frac{\alpha^2}{2} [x(x+q-1) - 4] \right] A_{m2} + \alpha \left(\frac{\beta_{m,A}}{2} + \frac{5}{2} x + q - 7 \right) A_{m1} = 0^* \\ & -\frac{\alpha^2}{16} \beta_{m,A} A_{m7} - \frac{\alpha}{4} \beta_{m,A} A_{m6} - \frac{1}{4} \left[\beta_{m,A} + \alpha^2 (3+x) (x+q) \right] A_{m5} + \\ & + \frac{\alpha}{2} \left(\frac{\beta_{m,A}}{2} - 5x - 3q - 9 \right) A_{m4} + \left[\frac{1}{2} \left(1 + \frac{\alpha^2}{4} \right) \beta_{m,A} - 9 + \right. \\ & \quad \left. + \frac{\alpha^2}{2} [x(x+q-1) - 9] \right] A_{m3} + \frac{\alpha}{2} \left(\frac{\beta_{m,A}}{2} + 7x + 3q - 27 \right) A_{m2} - \\ & - \frac{1}{4} \left[\left(1 - \frac{\alpha^2}{4} \right) \beta_{m,A} + \alpha^2 (3-x) (6-x-q) \right] A_{m1} = 0 \\ & -\frac{\alpha^2}{16} \beta_{m,A} A_{m8} - \frac{\alpha}{4} \beta_{m,A} A_{m7} - \frac{1}{4} \left[\beta_{m,A} + \alpha^2 (4+x) (x+q+1) \right] A_{m6} + \\ & + \alpha \left(\frac{\beta_{m,A}}{4} - \frac{7}{2} x - 2q - 10 \right) A_{m5} + \left[\frac{1}{2} \left(1 + \frac{\alpha^2}{4} \right) \beta_{m,A} - 16 + \right. \\ & \quad \left. + \frac{\alpha^2}{2} [x(x+q-1) - 16] \right] A_{m4} + \alpha \left(\frac{\beta_{m,A}}{4} + \frac{9}{2} x + 2q - 22 \right) A_{m3} - \\ & - \frac{1}{4} \left[\beta_{m,A} + \alpha^2 (4-x) (7-x-q) \right] A_{m2} - \frac{\alpha}{4} \beta_{m,A} A_{m1} = 0 \end{aligned} \quad (121)$$

$$\begin{aligned}
 & -\frac{\alpha^2}{8} \beta_{mB} B_{m4} - \frac{\alpha}{2} \beta_{mB} B_{m3} - \frac{1}{2} [\beta_{mB} + \alpha^2 x(x+q-3)] B_{m2} + \\
 & + \alpha \left(\frac{\beta_{mB}}{2} + x \right) B_{m1} + \frac{1}{2} \left[\left(1 + \frac{\alpha^2}{4} \right) \beta_{mB} + \alpha^2 x(x+q-1) \right] B_{m0} = 0 \\
 & -\frac{\alpha^2}{16} \beta_{mB} B_{m5} - \frac{\alpha}{4} \beta_{mB} B_{m4} - \frac{1}{4} \left[\left(1 + \frac{\alpha^2}{4} \right) \beta_{mB} + \alpha^2 (1+x)(x+ \right. \\
 & \left. + q-2) \right] B_{m3} + \frac{1}{2} (1-x-q) B_{m2} + \left[\frac{1}{4} \left(1 + \frac{\alpha^2}{2} \right) \beta_{mB} - 1 + \right. \\
 & \left. + \frac{\alpha^2}{2} [x(x+q-1) - 1 - \frac{1}{2} (1-x)(4-x-q)] \right] B_{m1} + \\
 & + \frac{\alpha}{2} \left(\frac{\beta_{mB}}{2} + 3x+q-5 \right) B_{m0} = 0 \\
 & -\frac{\alpha^2}{16} \beta_{mB} B_{m6} - \frac{\alpha}{4} \beta_{mB} B_{m5} - \frac{1}{4} [\beta_{mB} + \alpha^2 (2+x)(x+q-1)] B_{m4} + \\
 & + \alpha \left(\frac{\beta_{mB}}{4} - \frac{3}{2} x - q - 1 \right) B_{m3} + \left[\frac{1}{2} \left(1 + \frac{\alpha^2}{8} \right) \beta_{mB} - 4 + \right. \\
 & \left. + \frac{\alpha^2}{2} [x(x+q-1) - 4] \right] B_{m2} + \alpha \left(\frac{5}{2} x + q - 7 \right) B_{m1} - \frac{1}{4} [\beta_{mB} + \\
 & + \alpha^2 (2-x)(5-x-q)] B_{m0} = 0 \\
 & -\frac{\alpha^2}{16} \beta_{mB} B_{m7} - \frac{\alpha}{4} \beta_{mB} B_{m6} - \frac{1}{4} [\beta_{mB} + \alpha^2 (3+x)(x+q)] B_{m5} + \\
 & + \alpha \left(\frac{\beta_{mB}}{2} - 5x - 3q - 9 \right) B_{m4} + \left[\frac{1}{2} \left(1 + \frac{\alpha^2}{4} \right) \beta_{mB} - 9 + \right. \\
 & \left. + \frac{\alpha^2}{2} [x(x+q-1) - 9] \right] B_{m3} + \alpha \left(\frac{\beta_{mB}}{2} + 7x + 3q - 27 \right) B_{m2} - \\
 & - \frac{1}{4} \left[\left(1 + \frac{\alpha^2}{4} \right) \beta_{mB} + \alpha^2 (3-x)(6-x-q) \right] B_{m1} - \frac{\alpha}{4} \beta_{mB} B_{m0} = 0 \\
 & -\frac{\alpha^2}{16} \beta_{mB} B_{m8} - \frac{\alpha}{4} \beta_{mB} B_{m7} - \frac{1}{4} [\beta_{mB} + \alpha^2 (4+x)(x+q+1)] B_{m6} + \\
 & + \alpha \left(\frac{\beta_{mB}}{4} - \frac{7}{2} x - 2q - 10 \right) B_{m5} + \left[\frac{1}{2} \left(1 + \frac{\alpha^2}{4} \right) \beta_{mB} - 16 + \right. \\
 & \left. + \frac{\alpha^2}{2} [x(x+q-1) - 16] \right] B_{m4} + \alpha \left(\frac{\beta_{mB}}{4} + \frac{9}{2} x + 2q - 22 \right) B_{m3} - \\
 & - \frac{1}{4} [\beta_{mB} + \alpha^2 (4-x)(7-x-q)] B_{m2} - \frac{\alpha}{4} \beta_{mB} B_{m1} - \\
 & - \frac{\alpha^2}{16} \beta_{mB} B_{m0} = 0
 \end{aligned}$$

Tipul N.
O metoda generala pentru studiul miscarii in pelicula de...
Studii si cercetari de mecanica si metalurgie, Tom II, 1951, pp.1-58

Ecuatiile (121) și (122) pot fi soluționate pe calea indicată la palierul cilindric, neglijând în ecuația de ordinul i ($i = n$) termenii $A_{i+1} \dots A_{i+4}, B_{i+1} \dots B_{i+4}$ în cazul când se consideră β_m necunoscut, sau numai 3 termeni $A_{i+2} \dots A_{i+4}$, respectiv $B_{i+2} \dots B_{i+4}$ dacă se dau valorile lui β_m . Rezolvând primele $i+1$ ecuațiuni în raport cu $A_1 \dots A_i$ sau $B_1 \dots B_i$ se găsesc valorile acestor coeficienți, față de care următorii sunt neglijabili.

Când $n \rightarrow \infty$, relația (119) se reduce la expresia găsită (37), iar coeficienții de ordin superior satisfac și pentru suprafețele plane egalitățile (40), formând un șir absolut convergent.

Se remarcă apoi că la patină-glisieră, condițiunile la limită sunt mai simple decât la palierul cilindric, deoarece relațiile (71) sunt riguros exacte.

Valoarea lui p_∞ se deduce de asemenea din (25), ($p_\infty = p_0$).

$$p_\infty = p_0 + \frac{6\mu_1 V}{\delta_1^2} \int \left[\frac{1}{\Delta^{2-\epsilon} (1 + \alpha \cos \theta)^{2-\epsilon}} + \frac{C_1}{\Delta^{2-\epsilon} (1 + \alpha \cos \theta)^{2-\epsilon}} \right] \frac{l}{2} \sin \theta d\theta \quad (123)$$

Efectuând calculele se găsește

$$p_\infty = p_0 + \frac{3\mu_1 V l}{\alpha (1 + \alpha)^{\epsilon} \Delta^2} \cdot \frac{1}{(1 + \alpha \cos \theta)^{2-\epsilon}} \left[\frac{1}{1-g} + \frac{C_1}{(2-g)\Delta} \cdot \frac{1}{1 + \alpha \cos \theta} \right]_0^{\theta_0} \quad (124)$$

și ținând seama de condițiile (71) și de (8)

$$C_1 = -\frac{2-g}{1-g} (1-\alpha) \Delta \frac{1 - \left(\frac{1-\alpha}{1+\alpha} \right)^{1-\epsilon}}{1 - \left(\frac{1-\alpha}{1+\alpha} \right)^{2-\epsilon}} = -\frac{2-g}{1-g} (1-\alpha) \Delta \frac{\mu_2 \frac{\delta_2}{\delta_1}}{\mu_2 \left(\frac{\delta_2}{\delta_1} \right)^{2-\epsilon}} \quad (125)$$

Rezultă astfel formula generală a presiunilor în palierul de alungire infinită.

$$p_\infty = p_0 + \frac{3\mu_1 V l}{\alpha (1 + \alpha)^{\epsilon} (1-g)\Delta^2} \left[\frac{1}{(1 + \alpha \cos \theta)^{2-\epsilon}} \left[1 - \frac{\left(\frac{1-\alpha}{1+\alpha} \right)^{1-\epsilon}}{1 - \left(\frac{1-\alpha}{1+\alpha} \right)^{2-\epsilon}} \right] \right. \\
 \left. - \frac{1-\alpha}{1 + \alpha \cos \theta} \right] \frac{1}{(1 + \alpha)^{2-\epsilon}} \frac{1 - \frac{1-\alpha}{1+\alpha}}{1 - \left(\frac{1-\alpha}{1+\alpha} \right)^{2-\epsilon}} \quad (126)$$

Pentru $q = 1$, p_∞ este nedeterminat. In acest caz, integrala (123) se efectuează direct

$$p_\infty = p_0 + \frac{3 \mu_1 VI}{\alpha (1 + \alpha) \Delta^2} \left[\text{Log} \frac{1 - \alpha}{1 + \alpha \cos \theta} + \frac{1 + \alpha}{2} \left(\text{Log} \frac{1 + \alpha}{1 - \alpha} \right) \frac{1 + \cos \theta}{1 + \alpha \cos \theta} \right] \quad (127)$$

iar în cazul $q = 0$ (126) se reduce la o formă foarte simplă

$$p_\infty = p_0 + \frac{3 \mu_1 VI \alpha}{2 \Delta^2} \frac{\sin^2 \theta}{(1 + \alpha \cos \theta)^2} \quad (128)$$

Plecând de la ecuațiile (126), (127) sau (128) se găsesc apoi, direct din (128) sau dezvoltând în serie (126) sau (127), coeficienții a_n și b_n cu ajutorul cărora se formează sistemul de ecuații (54), (55). Din acest sistem se deduc în cele din urmă constantele a_{1m} , b_{2m} cu care se formează soluția exactă (42) sau aproximativă (67).

Ca și la palierul cilindric, formula (126) poate fi pusă sub o formă mai simplă dacă se scrie dezvoltarea:

$$\frac{1}{(1 + \alpha \cos \theta)^2} = \frac{1}{1 + \alpha \cos \theta} \left[1 + q \alpha \cos \theta + \frac{q(q-1)}{2!} \alpha^2 \cos^2 \theta + \dots \right] \cong \frac{1 + q \alpha \cos \theta + \frac{q(q-1)}{2} \alpha^2 \cos^2 \theta}{1 + \alpha \cos \theta} \quad (129)$$

cu ajutorul căreia se deduce din (124)

$$p_\infty = p_0 + \frac{3 \mu_1 VI}{\alpha (1 + \alpha)^2 \Delta^2} \left[\frac{1 + q \alpha \cos \theta \left(1 + \frac{q-1}{2} \alpha \cos \theta \right)}{1 + \alpha \cos \theta} \left(1 - \frac{K_1}{1 + \alpha \cos \theta} \right) - K_2 \right] \quad (130)$$

unde

$$K_1 = (1 - \alpha^2) \frac{1 - q \left[1 + \frac{\alpha^2}{2} (1 - q) \right]}{2 \left[1 - \frac{\alpha^2}{2} q (q - 1) \right] - q (1 + \alpha^2)} \quad (131)$$

$$K_2 = \frac{1 + q \alpha \left(1 + \frac{q-1}{2} \alpha \right)}{1 + \alpha} \left(1 - \frac{K_1}{1 + \alpha} \right)$$

Se poate pune astfel expresia lui p_∞ sub forma

$$p_\infty = p_0 + \frac{b_0 + b_1 \cos \theta + b_2 \cos 2\theta + b_3 \cos 3\theta}{(1 + \alpha \cos \theta)^2} \quad (132)$$

unde

$$\left. \begin{aligned} b_0 &= \left[1 - K_1 - K_2 + \alpha^2 \frac{q \left[1 + (1 - K_1) \frac{q-1}{2} \right] - K_2}{2} \right] \frac{3 \mu_1 VI}{\alpha (1 + \alpha)^2 \Delta^2} \\ b_1 &= \left[1 + q (1 - K_1) - 2 K_2 + \frac{3}{8} \alpha^2 q (q - 1) \right] \frac{3 \mu_1 VI}{(1 + \alpha)^2 \Delta^2} \\ b_2 &= \alpha \frac{q \left[1 + (1 - K_1) \frac{q-1}{2} \right] - K_2}{2} \frac{3 \mu_1 VI}{(1 + \alpha)^2 \Delta^2} \\ b_3 &= q (q - 1) \frac{3 \alpha^2 \mu_1 VI}{8 (1 + \alpha)^2 \Delta^2} \end{aligned} \right\} \quad (133)$$

$$b_4 = b_5 = \dots = b_n = \dots = 0; a_1 = a_2 = \dots = a_n = \dots = 0$$

Formula (132) nu dă erori mai mari de 15% față de aceea exactă (126), în schimb permite calculul rapid al coeficienților b_n (133). Se remarcă de asemenea că și la palierul plan, exponentul x din (42) și (67) este $x = 2$. Spre deosebire de palierul cilindric unde termenii b_n sunt neglijabili (cu excepția lui b_0), pentru patină-glisieră p_∞ nu conține decât termeni în $\cos n\theta$.

Se observă pentru palierul plan o analogie completă în ceea ce privește tratarea problemei și forma rezultatelor cu cazul palierului cilindric; suprafețele plane constituiesc astfel numai o soluție particulară a relațiilor generale (42) și (67).

De asemenea, dacă în formula (19) se consideră expresia mai completă a lui p_∞ ținând seama și de forțele de inerție, se obține cu ajutorul expresiei (24) formula generală aproximativă și pentru mișcările nepermanente, neglijându-se forțele de inerție numai în ecuația (11).

Relațiile (133) pentru palierul plan arată că, în cazul când se admite expresia (130) a lui p_∞ , (54) este un sistem omogen de ecuații în raport cu necunoscutele $A_{11}, A_{21}, \dots, A_{m1} \dots$. Cum determinantul acestui sistem nu este zero, necunoscutele sunt toate nule deci și soluțiile complete (42), (62), (67), pentru palierul finit nu vor conține termeni în $\sin n\theta$.

Dimpotrivă, s'a văzut că la palierul circular nu apar termeni în $\cos n\theta$, dacă se admit condițiunile la limită simplificate (71), pentru aceeași cauză.

ОБЩИЙ МЕТОД ИССЛЕДОВАНИЯ ДВИЖЕНИЯ В ПЛЕНКЕ СМАЗЫВАЮЩЕГО ВЕЩЕСТВА МЕЖДУ ДВУМЯ ПОВЕРХНОСТЯМИ ФИНИТНЫХ РАЗМЕРОВ

(КРАТКОЕ СОДЕРЖАНИЕ)

Скорости и давления в любой точке, расположенной между двумя поверхностями в относительном движении, разделенные слоем смазывающего вещества, подчиняются общим законам гидродинамики. Исходя из

уравнений вязких жидкостей и пренебрегая силами инерции и тяготения, получаем при помощи известных предельных условий

$$\left. \begin{aligned} y=0 \quad u=V, \quad v=0, \quad w=0 \\ v=\delta \quad u=0, \quad v=0, \quad w=0 \end{aligned} \right\} \quad (1)$$

уравнение давлений

$$\frac{\partial}{\partial x} \left(\frac{\delta^3}{\mu} \frac{\partial p}{\partial x} \right) + \frac{\partial}{\partial z} \left(\frac{\delta^3}{\mu} \frac{\partial p}{\partial z} \right) = 6V \frac{\partial \delta}{\partial x} \quad (2)$$

где ось Oy перпендикулярна подвижной поверхности, движущейся с общей скоростью V относительно неподвижной поверхности, направленной вдоль Ox , δ — толщина пленки смазывающего вещества, v и w — местные скорости вдоль Oy и Oz (Oz перпендикулярна плоскости xOy) (рис. 1). Далее автор допускает, что Ox и Oz полностью опираются на подвижную поверхность. Это предположение оправдывается чрезвычайно малыми размерами δ . Наконец, μ представляет собой вязкость в рассматриваемой точке.

Общее решение уравнения (2) можно получить при помощи решений p_∞ и p^* уравнений

$$\frac{d}{dx} \left(\frac{\delta^3}{\mu} \frac{dp_\infty}{dx} \right) = 6V \frac{d\delta}{dx} \quad (3)$$

и

$$\frac{\partial}{\partial x} \left(\frac{\delta^3}{\mu} \frac{\partial p^*}{\partial x} \right) + \frac{\partial}{\partial z} \left(\frac{\delta^3}{\mu} \frac{\partial p^*}{\partial z} \right) = 0 \quad (4)$$

Предположим еще вариацию μ

$$\mu = \mu_1 \left(\frac{\delta}{\delta_1} \right)^q \quad (5)$$

где δ_1 — наибольшее значение δ , μ_1 — соответствующая вязкость и q — какой-либо параметр. Если ширина соприкасающихся (по Oz) поверхностей b постоянна и если $-b_1$, b_2 — расстояния от пределов до Oz ($b_1 + b_2 = b$), p^* , то

$$p^* = \sum_{m=1}^{\infty} c_m f_{1m}(x) \cdot \text{ch} \sqrt{\chi_m} \left[z + \frac{1}{2}(b_1 - b_2) \right] \quad (6)$$

при χ_m — произвольной постоянной и f_{1m} — функции только x . Другое решение — следующее:

$$p_\infty = \frac{1}{2} (p_a + p_b) + \frac{6\mu_1 V}{\delta_1^3} \int \left(\frac{1}{\delta^{2-q}} + \frac{C_1}{\delta^{3-q}} \right) dx \quad (7)$$

где p_a — давление на границе $z = -b_1$ и p_b при $z = b_2$.

Пусть

$$\left. \begin{aligned} p_\infty - \frac{1}{2} (p_a + p_b) = a_0 + a_1 x + a_2 x^2 + \dots + a_n x^n + \dots \\ f_{1m}(x) = a_{m0} + a_{m1} x + a_{m2} x^2 + \dots + a_{mn} x^n + \dots \end{aligned} \right\} \quad (8)$$

Каждое решение f_{1m} содержит две произвольные постоянные a_{m0} и a_{m1} , от которых зависят остальные коэффициенты. Рассматривая эти постоянные как неизвестные, можно составить бесконечную систему линейных уравнений

$$\left. \begin{aligned} a_0 &= a_{10} + a_{20} + \dots + a_{m0} + \dots \\ a_1 &= a_{11} + a_{21} + \dots + a_{m1} + \dots \\ a_n &= a_{1n} + a_{2n} + \dots + a_{mn} + \dots \end{aligned} \right\} \quad (9)$$

позволяющую написать общее решение, в котором

$$c_m = \frac{1}{\text{ch} \frac{1}{2} \sqrt{\chi_m} (b_1 + b_2)} \quad (10)$$

$$p = \frac{1}{2} (p_a + p_b) + \frac{p_b - p_a}{b} z + \sum_{m=1}^{\infty} \left[1 - \frac{\text{ch} \sqrt{\chi_m} \left[z + \frac{1}{2}(b_1 - b_2) \right]}{\text{ch} \frac{1}{2} \sqrt{\chi_m} (b_1 + b_2)} \right] f_{1m}(x) \quad (11)$$

или, в более общем виде, если $b_1 = b_2$ и $f_{1m}(z)$ является четной функцией переменной z :

$$p = \frac{1}{2} (p_a + p_b) + \frac{p_b - p_a}{b} z + \sum_{m=1}^{\infty} \left(1 - \frac{f_{1m}(z)}{f_{1m} \left(\frac{b}{2} \right)} \right) f_{1m}(x) \quad (12)$$

Выражения (8) всегда сходятся, и часто бывает выгодно выразить их тригонометрическими рядами, производя изменение переменной.

- Формула (12) содержит следующие ограничения.
1. Толщина δ зависит только от x .
 2. Скорость V касательна к оси Ox в любой точке.
 3. Ширина в смазанной поверхности постоянна.

Круговые подшипники

Если Δ — радиальный зазор, e — эксцентricность (рис. 2), $\alpha = \frac{e}{\Delta}$ — относительная эксцентricность, θ — угол радиуса AP с прямой AB , R — радиус подшипника и r — радиус вала, то

$$\Delta = R - r; \quad \delta = \Delta (1 + \alpha \cos \theta); \quad x = r \theta; \quad \beta_m = r^2 \chi_m \quad (13)$$

и решение f_{1m} (6) дано выражением

$$f_{1m} = \frac{\sum_{n=0}^{\infty} (A_{mn} \sin n \theta + B_{mn} \cos n \theta)}{(1 + \alpha \cos \theta)^n} \quad (14)$$

Коэффициенты A_{mn}, B_{mn} определяются общим соотношением

$$\begin{aligned} & \frac{\alpha^2}{4} [\beta_m - (n+x+2)(n+x+q-1)] A_{m,n+1} (B_{m,n+1}) + \\ & + \alpha \left[\beta_m - (n+1) \left(n+x+\frac{q-1}{2} \right) + \frac{x}{2} \right] A_{m,n+1} (B_{m,n+1}) + \\ & + \left[\left(1 + \frac{\alpha^2}{2} \right) (\beta_m - n^2) + \frac{x^2}{2} (x+q-1) \right] A_n (B_n) + \\ & + \alpha \left[\beta_m - (n-1) \left(n-x-\frac{q-1}{2} \right) + \frac{x}{2} \right] A_{m,n-1} (B_{m,n-1}) + \\ & + \frac{\alpha^2}{4} [\beta_m - (n-x-2)(n-x-q+1)] A_{m,n-1} (B_{m,n-1}) = 0 \end{aligned} \quad (15)$$

при дополнительных условиях

$$\left. \begin{aligned} A_{m,-1} &= -A_{m1} & B_{m,-1} &= B_{m1} \\ A_{m,-2} &= -A_{m2} & B_{m,-2} &= B_{m2} \end{aligned} \right\} \quad (16)$$

Решение (15) содержит две произвольные постоянные, кроме параметра β_m . Для вычисления коэффициентов A_{mn}, B_{mn} , последовательно берем $n=0, 1, 2, \dots, i, \dots$, таким образом получается бесконечная система уравнений, с произвольными постоянными в качестве неизвестных. Если в первых $i+1$ уравнениях пренебречь $A_{m,i+1}, A_{m,i+2}$ и $B_{m,i+1}, B_{m,i+2}$, то эти уравнения составят однородную систему, условия совместности которой допускают вычисление β_m . Далее можно получить значения неизвестных A_{mn}, B_{mn} в зависимости от A_{m1}, B_{m0} . Эти значения будут всегда сходящимися; при $n \rightarrow \infty$ пределом их соотношения является

$$\frac{A_{m,n+1}}{A_{mn}} = \frac{B_{m,n+1}}{B_{mn}} = -\frac{1}{\alpha} + \sqrt{\frac{1}{\alpha^2} - 1} \quad (17)$$

Если допустить значения β_m , то пренебрегаем лишь $A_{m,i+2}, B_{m,i+2}$ в первых $i+1$ уравнениях, которые можно решить непосредственно; таким образом совершенная погрешность быстро убывает при увеличении i ; ее можно всегда удержать ниже известного, заранее установленного предела.

Круглый подшипник бесконечного удлинения. Уравнение (7) можно интегрировать в общем случае

$$\begin{aligned} p_\infty &= \frac{1}{2} (p_a + p_b) + \frac{6\mu_1 Vr}{\Delta^2 (1+\alpha)^2 (1-\alpha^2)^{\frac{3}{2}-q}} \left\{ C_1 + \left[1 + \frac{C_1}{\Delta(1-\alpha^2)} \right] \right. \\ & - \sum_{n=1}^{\infty} \Xi_n \left(\frac{2n}{n} \right) \frac{1}{2^{2n}} \times \arcsin \frac{\sqrt{1-\alpha^2} \sin \theta}{1+\alpha \cos \theta} - \left[\alpha \left(1-q + \frac{2-q}{1-\alpha^2} \frac{C_1}{\Delta} \right) + \right. \\ & \left. \left. + \sum_{n=3.5}^{\infty} \Xi_n \frac{1}{2^{n-1}} \left(\frac{n-1}{2} \right) \right] \frac{\sqrt{1-\alpha^2} \sin \theta}{1+\alpha \cos \theta} \right\} \quad (18) \end{aligned}$$

$$\begin{aligned} & - \sum_{v=3.5}^{\infty} P_{iv} \frac{\sum_{\sigma=1.5}^{\infty} (-1)^{\frac{\sigma-1}{2}} (1-\alpha^2)^{\frac{\sigma}{2}} \left(\frac{v}{\sigma} \right) \sin^{\sigma} \theta (\alpha + \cos \theta)^{v-\sigma}}{(1+\alpha \cos \theta)^v} - \\ & - \sum_{v=1}^{\infty} P_{iv} \frac{\sum_{\sigma=1.5}^{\infty} (-1)^{\frac{\sigma-1}{2}} (1-\alpha^2)^{\frac{\sigma}{2}} \left(\frac{2v}{\sigma} \right) \sin^{\sigma} \theta (\alpha + \cos \theta)^{2v-\sigma}}{(1+\alpha \cos \theta)^{2v}} = (18) \\ & = \frac{1}{2} (p_a + p_b) + \frac{b_0 + \sum_{n=1}^{\infty} a_n \sin n\theta + b_n \cos n\theta}{(1+\alpha \cos \theta)^{\mu_1}} \end{aligned}$$

где

$$P_{iv} = \frac{1}{v} \sum_{n=3.5}^{\infty} \Xi_n \frac{1}{2^{n-1}} \left(\frac{n-v}{2} \right); P_{2v} = \frac{1}{2v} \sum_{n=1}^{\infty} \Xi_{2n} \frac{1}{2^{2n-1}} \left(\frac{2n}{n-v} \right) \pi \quad (19)$$

$$\Xi_n = -\frac{(q-1)q(q+1)\dots(q+n-3)}{(n-1)!} \alpha^n \left\{ \left(1 + \frac{C_1}{\Delta(1-\alpha^2)} \right) \frac{q+n-2}{n} - \frac{C_1}{\Delta(1-\alpha^2)} \right\}$$

Замечая, что Ξ_n быстро убывает при $n > 2$, можно упростить (18)

$$\begin{aligned} p_\infty &= \frac{1}{2} (p_a + p_b) + \frac{6\mu_1 Vr}{\Delta^2 (1+\alpha)^2 (1-\alpha^2)^{\frac{3}{2}-q}} \left\{ C_1 + \left[1 + \frac{C_1}{\Delta(1-\alpha^2)} - \frac{1}{2} \Xi_2 \right] \times \right. \\ & \times \arcsin \frac{\sqrt{1-\alpha^2} \sin \theta}{1+\alpha \cos \theta} - \alpha \sqrt{1-\alpha^2} \left(1-q + \frac{2-q}{1-\alpha^2} \frac{C_1}{\Delta} \right) \frac{\sin \theta}{1+\alpha \cos \theta} - \\ & \left. - \frac{1}{2} \Xi_2 \sqrt{1-\alpha^2} \frac{\sin \theta (\alpha + \cos \theta)}{(1+\alpha \cos \theta)^2} \right\} \quad (20) \end{aligned}$$

Таким образом, система (9) разлагается на две самостоятельные группы

$$a_n = \sum_{m=1}^{\infty} A_{m,n} \quad \text{и} \quad b_n = \sum_{m=1}^{\infty} B_{m,n} \quad (21)$$

которые полностью разрешают задачу. Далее, замечаем, что при $0,9 < \beta_m < 7,5$ можно допустить соотношение (рис. 3 и 4)

$$1 - \frac{\frac{\sqrt{\beta_m} z}{r}}{\frac{\sqrt{\beta_m} b}{2r}} \approx \frac{1 - \frac{\sqrt{\beta_m} b}{2r}}{1 - \frac{\sqrt{\beta_m} z}{r}} \left(1 - \frac{\frac{\sqrt{\beta_m} z}{r}}{\frac{\sqrt{\beta_m} b}{2r}} \right) \quad (22)$$

тогда общее решение

$$p = \frac{1}{2}(p_a + p_b) + \frac{p_b - p_a}{b} z + \sum_{n=1}^{\infty} \sum_{l=0}^{\infty} \left(1 - \frac{\text{ch } \sqrt{\beta_m} z}{\text{ch } \sqrt{\beta_m} b} \right) \left[\frac{A_{m\lambda} \sin n \theta}{(1 + \alpha \cos \theta)^{\lambda_A}} + \frac{B_{m\lambda} \cos n \theta}{(1 + \alpha \cos \theta)^{\lambda_B}} \right] \quad (23)$$

становится при $\lambda_A = \lambda_B = \lambda$, $\lambda = \frac{b}{2r}$

$$p = \frac{1}{2}(p_a + p_b) + \frac{p_b - p_a}{b} z + \frac{\text{ch } \sqrt{\beta_m} z}{\text{ch } \sqrt{\beta_m} b} \sum_{n=1}^{\infty} \sum_{l=0}^{\infty} (k_{m\lambda} A_{m\lambda} \sin n \theta + k k_{m\lambda} B_{m\lambda} \cos n \theta) \quad (24)$$

где

$$k_{m\lambda} = \frac{1 - \frac{1}{\text{ch } \lambda \sqrt{\beta_{m\lambda}}}}{1 - \frac{1}{\text{ch } \lambda \sqrt{\beta_{1\lambda}}}}; \quad k_{mB} = \frac{1 - \frac{1}{\text{ch } \lambda \sqrt{\beta_{mB}}}}{1 - \frac{1}{\text{ch } \lambda \sqrt{\beta_{1B}}}}; \quad k = \frac{1 - \frac{1}{\text{ch } \lambda \sqrt{\beta_{1B}}}}{1 - \frac{1}{\text{ch } \lambda \sqrt{\beta_{1A}}}} \quad (25)$$

где β_{1A} , β_{1B} близкие к единице корни уравнения в β_m , выведенного из условия совместности системы, составленной при помощи уравнения (15).

Предельные условия. Решения (23) и (24) содержат две произвольные постоянные C_1 и C_2 , от которых зависит p_∞ (18). В основном, можно определить эти постоянные, если известны давления в двух точках θ_1 , z_1 и θ_2 , z_2 . Обычно допускается (рис. 6)

$$\left. \begin{aligned} p &= \frac{1}{2}(p_a + p_b) = p_0 \text{ при } \theta_1 = 0 \text{ и } z = 0 \\ \frac{\partial p}{\partial \theta} &= 0, p = p_0 \text{ при значениях } z = 0 \text{ и } \theta \text{ произвольной.} \end{aligned} \right\} \quad (26)$$

Для подшипника с частичной подушкой, если Θ полный угол подушки, а p_l давление подходящего масла, соответствующее данному расположению θ , имеем (рис. 6)

$$\left. \begin{aligned} p &= p_l \text{ при } \theta = \theta \\ p &= p_0 \text{ при } \theta = \theta_1 \text{ и } \theta = \theta_2 \\ \theta_1 &< \theta < \theta_2 \end{aligned} \right\} \quad (27)$$

Для подшипника с полной подушкой эти условия обычно заменяются более простыми соотношениями

$$p = p_0 \text{ при } \theta_1 = 0 \text{ и } \theta_2 = \pi \quad (28)$$

Положим $p = p_0$ в области, где, согласно предыдущим формулам, $p = p_0$ отрицательна; действительное явление несовместно с этими отрицательными значениями.

Вариация вязкости. Для оценки влияния q , на основании (18), нанесены кривые

$$Cp_\infty = \frac{(p_\infty - p_0) \psi}{r_1 \omega} \quad (29)$$

где $\psi = \frac{\Delta}{r}$ и ω скорость вращения вала, при $\alpha = 0,7$, $q = 1$ и $q = 0$. Для последнего значения ($q = 0$) следует допустить среднее $\mu = \mu_m$, вычисленное на основании экспериментальных кривых вязкость — температура с учетом температуры масла при поступлении в подшипник и выходе из него. Наконец, μ_m рассматривалась последовательно как средняя величина крайних значений вязкости (μ_{mII}) или вязкость, соответствующая средней температуре подшипника (μ_{mIII}). Три, таким образом, нанесенные кривые обладают значительными расхождениями, выявляя (рис. 7) как влияние q , так и значение выбора μ_m . Однако, коэффициент несущей силы

$$\zeta_\infty = \frac{1}{2} \sqrt{I_\infty^2 + J_\infty^2}; \quad I_\infty = \int_0^\pi Cp_\infty \sin \theta d\theta; \quad J_\infty = \int_0^\pi Cp_\infty \cos \theta d\theta \quad (30)$$

не представляет значительных различий в этих трех случаях. Последовательно находим $\zeta_{\infty I} = 3,175$ ($q = 1$), $\zeta_{\infty II} = 3,72$ ($q = 0$, $\mu = \mu_{mII}$) и $\zeta_{\infty III} = 2,495$ ($q = 0$, $\mu = \mu_{mIII}$). Эти значения показывают, что можно положить $q = 1$ для упрощения вычисления и во избежание трудности оценки параметра q , зависящего не только от физических характеристик масла, но и от термических условий работы и давлений, достигнутых в отдельных точках.

Числовые примеры. Положив $q = 1$, $\lambda = 2$, автор применил предыдущие формулы к трем значениям эксцентриситеты $\alpha = 0,4$, $\alpha = 0,6$ и $\alpha = 0,9$ при предельных условиях (28).

При $\alpha = 0,4$, положив $i = 3$, он находит условие совместности системы уравнений, составленной из (15):

$$\beta_{1A} = 1,028; \quad \beta_{2A} = 4,104 \text{ и } \beta_{3A} = 8,028 \quad (31)$$

При помощи первых двух значений получаются решения f_{11} и f_{22} коэффициенты которых следующие:

$$\left. \begin{aligned} \frac{A_{12}}{A_{11}} &= 0,2665; \quad \frac{A_{13}}{A_{11}} = 0,01015; \quad \frac{A_{14}}{A_{11}} = -0,000343; \quad \frac{A_{15}}{A_{11}} = 0,0000234; \\ \frac{A_{16}}{A_{11}} &= -0,00000192; \\ \frac{A_{22}}{A_{21}} &= 7,74; \quad \frac{A_{23}}{A_{21}} = 1,975; \quad \frac{A_{24}}{A_{21}} = 0,0467; \quad \frac{A_{25}}{A_{21}} = -0,00221; \quad \frac{A_{26}}{A_{21}} = -0,0001725 \end{aligned} \right\} \quad (32)$$

Эти коэффициенты позволяют установить затем общее решение (24). Система (21) сводится к двум уравнениям, дающим A_{11} и A_{21} . Составляя затем a_3, a_4, \dots , находим соответствующие практически нулевые значения относительно a_1 и a_2 , согласно формуле (18).

Аналогичные результаты получаются при $\alpha = 0,9$ и $\alpha = 0,6$, при значениях i , соответственно $i = 6$ и $i = 4$. Рассматривая, начиная с члена a_i , мажорантный ряд p_∞

$$s = a \sum_{n=1}^{\infty} r^{n-1} \sin n\theta \quad (33)$$

находим, что максимальная погрешность, совершенная при использовании только двух решений f_{11} и f_{12} для составления общего интеграла (23) и (24) и пренебрежении членами высшего порядка ($n > 3$), не превосходит 3% первого коэффициента a_1 ; следовательно, она вполне допустима, даже в самом неблагоприятном случае, то есть при $\alpha = 0,9$.

Легко вывести, что $\beta_{1A}, \frac{A_{12}}{A_{11}}$ и $\frac{A_{22}}{A_{21}}$ обладают линейной вариацией относительно эксцентриситеты (рис. 8 и 9); то есть:

$$\left. \begin{aligned} \beta_{1A} &= 0,9312 + 0,242 \alpha \\ \frac{A_{12}}{A_{11}} &= 0,0157 + 0,627 \alpha & \frac{A_{21}}{A_{11}} &= \frac{0,0157 + 0,127 \alpha}{11,34 - 10,10 \alpha} \\ \frac{A_{22}}{A_{21}} &= 11,34 - 9,6 \alpha \end{aligned} \right\} \quad (34)$$

что позволяет установить простую формулу для подшипника конечного удлинения λ и с полной подушкой:

$$p = p_0 + \frac{6\mu_1 V r}{\Delta^2} \frac{\alpha}{1 + \alpha} \left(1 - \frac{\text{ch} \sqrt{\beta_{1A}} z}{\text{ch} \lambda \sqrt{\beta_{1A}}} \right) \times \left\{ 1 + \left[0,0314 + 1,254 \alpha + k_{2A} (22,68 - 19,2 \alpha) \frac{A_{21}}{A_{11}} \right] \cos \theta \right\} \frac{\sin \theta}{(1 + \alpha \cos \theta)^2} \quad (35)$$

где

$$k_{2A} = \frac{1 - \frac{1}{\text{ch} 2\lambda}}{1 - \frac{1}{\text{ch} \lambda}} \quad (36)$$

Плоские поверхности. Задачу можно решить аналогичным путем, применяя общий метод. Таким образом, больше не приходится рассматривать отдельно этот случай, как это обычно делают. Положим (рис. 10)

$$\left. \begin{aligned} x &= \frac{l}{2} (1 - \cos \theta); \quad \alpha = \frac{\delta_1 - \delta_2}{\delta_1 + \delta_2}; \quad \Delta = \frac{\delta_1 + \delta_2}{2}; \quad \delta = \Delta (1 + \alpha \cos \theta) \\ \lambda_m &= \frac{4}{r} \beta_m \end{aligned} \right\} \quad (37)$$

уравнение с разностями (15) становится:

$$\begin{aligned} & -\frac{\alpha^2}{16} \beta_m A_{m,n+4} (B_{m,n+4}) - \frac{\alpha}{4} \beta_m A_{m,n+3} (B_{m,n+3}) - \\ & - \frac{1}{4} [\beta_m + \alpha^2 (n+x)(n+x-3+q)] \times \\ & \times A_{m,n+2} (B_{m,n+2}) + \alpha \left[\frac{\beta_m}{4} - n^2 - \left(x - \frac{3-q}{2} \right) n + \right. \\ & \left. + \frac{x}{2} \right] A_{m,n+1} (B_{m,n+1}) + \left[\frac{1}{2} \left(1 + \frac{\alpha^2}{4} \right) \beta_m - \left(1 + \frac{\alpha^2}{2} \right) n^2 + \right. \\ & \left. + \frac{\alpha^2}{2} (x+q-1) \right] A_{mn} (B_{mn}) + \alpha \left[\frac{\beta_m}{4} - n^2 + \left(x - \frac{3-q}{2} \right) n + \right. \\ & \left. + \frac{x}{2} \right] A_{m,n-1} (B_{m,n-1}) - \\ & - \frac{1}{4} [\beta_m + \alpha^2 (n-x)(n-x+3-q)] A_{m,n-2} (B_{m,n-2}) - \\ & - \frac{\alpha}{4} \beta_m A_{m,n-3} (B_{m,n-3}) - \frac{\alpha^2}{16} \beta_m A_{m,n-4} (B_{m,n-4}) \end{aligned} \quad (38)$$

при дополнительных условиях

$$A_{m,-n} = -A_{mn} \text{ и } B_{m,-n} = B_{mn} \quad (39)$$

При $n \rightarrow \infty$ выражение (17) остается действительным.

Система линейных уравнений, выведенных из (38), решается, как это было показано в случае системы производной от (15), с той лишь разницей, что (38) зависит от четырех произвольных постоянных; три из них можно выбрать так, чтобы получить наибольшую сходимость членов A_{mn}, B_{mn} . Практически, решение содержит $A_{m,i+1}$ или $B_{m,i+1}$ в качестве произвольных постоянных; пренебрегаем членами $A_{m,i+1}, \dots, A_{m,i+4}$ или $B_{m,i+1}, \dots, B_{m,i+4}$ в уравнении порядка $i+1$, если β_m рассматривается как известное и i как достаточно большое, соответственно $A_{m,i+2} (B_{m,i+2}), \dots, A_{m,i+4} (B_{m,i+4})$ при заранее установленном значении β_m .

Решением p_∞ является

$$p_\infty = p_0 + \frac{3\mu_1 V l}{\alpha(1+\alpha)(1-q)\Delta^2} \left\{ \frac{1}{(1+\alpha \cos \theta)^{1-q}} \left[1 - \frac{1 - \left(\frac{1-\alpha}{1+\alpha} \right)^{1-q}}{1 - \left(\frac{1-\alpha}{1+\alpha} \right)^2} \frac{1-\alpha}{1+\alpha \cos \theta} \right] - \frac{1}{(1+\alpha)^{1-q}} \frac{1 - \frac{1-\alpha}{1+\alpha}}{1 - \left(\frac{1-\alpha}{1+\alpha} \right)^{2-q}} \right\} \quad (40)$$

В частности, при $q=1$, p_∞ становится

$$p_\infty = p_0 + \frac{3\mu_1 VI}{\alpha(1+\alpha)\Delta^2} \left[\text{Log} \frac{1-\alpha}{1+\alpha \cos \theta} + \frac{1+\alpha}{2} \left(\text{Log} \frac{1+\alpha}{1-\alpha} \right) \frac{1+\cos \theta}{1+\alpha \cos \theta} \right] \quad (41)$$

Как и для цилиндрического подшипника, можно упростить (40), и выравнять p_∞ в виде

$$p_\infty = p_0 + \frac{b_0 + b_1 \cos \theta + b_2 \cos 2\theta + b_3 \cos 3\theta}{(1+\alpha \cos \theta)^2} \quad (42)$$

при

$$\left. \begin{aligned} b_0 &= \left[1 - K_1 - K_2 + \alpha^2 \frac{q \left[1 + (1 - K_1) \frac{q-1}{2} \right] - K_2}{2} \right] \frac{3\mu_1 VI}{\alpha(1+\alpha)^2 \Delta^2} \\ b_1 &= \left[1 + q(1 - K_1) - 2K_2 + \frac{3}{8} \alpha^2 q(q-1) \right] \frac{3\mu_1 VI}{(1+\alpha)^2 \Delta^2} \\ b_2 &= \frac{q \left[1 + (1 - K_1) \frac{q-1}{2} \right] - K_2}{2} \cdot \frac{3\mu_1 VI}{(1+\alpha)^2 \Delta^2} \\ b_3 &= q(q-1) \frac{3\alpha^2 \mu_1 VI}{8(1+\alpha)^2 \Delta^2} \\ b_4 &= b_5 = \dots = b_n = \dots = 0; \quad a_1 = a_2 = \dots = a_n = \dots = 0 \\ K_1 &= (1 - \alpha^2) \frac{1 - q \left[1 + \frac{\alpha^2}{2} (1 - q) \right]}{2 \left[1 - \frac{\alpha^2}{2} q(q-1) \right] - q(1 + \alpha^2)}; \\ K_2 &= \frac{1 + q \alpha \left(1 + \frac{q-1}{2} \alpha \right)}{1 + \alpha} \left(1 - \frac{K_1}{1 + \alpha} \right) \end{aligned} \right\} \quad (43)$$

Автор находит еще $\kappa = 2$ и формулы (23), (24) выражают распределение давлений с учетом удлинения $\lambda = \frac{b}{l}$. Отмечаем также, что предельные условия (28) строго применяются в этом случае.

UNE MÉTHODE GÉNÉRALE POUR L'ÉTUDE DU MOUVEMENT DANS LA PELLICULE DE LUBRIFIANT ENTRE DEUX SURFACES DE DIMENSIONS FINIES

(RÉSUMÉ)

Les vitesses et les pressions en tout point situé entre deux surfaces en mouvement relatif et séparées par une couche de fluide lubrifiant sont régies par les lois générales de l'hydrodynamique.

En partant des équations des fluides visqueux et négligeant les forces d'inertie et de la gravitation, on obtient avec les conditions à la frontière connues

$$\left. \begin{aligned} y=0 \quad u=V, \quad v=0, \quad w=0 \\ v=\delta \quad u=0, \quad v=0, \quad w=0 \end{aligned} \right\} \quad (1)$$

l'équation des pressions

$$\frac{\partial}{\partial x} \left(\frac{\delta^2 \partial p}{\mu \partial x} \right) + \frac{\partial}{\partial x} \left(\frac{\delta^2 \partial p}{\mu \partial x} \right) = 6V \frac{\partial \delta}{\partial x} \quad (2)$$

où l'axe Oy est normal à la surface mobile animée d'une vitesse totale V par rapport à la surface fixe, dirigée suivant Ox , δ l'épaisseur de la pellicule lubrifiante, v et w les vitesses locales suivant Oy et Oz (Oz perpendiculaire au plan xy) (fig. 1). On admet encore que Oy et Oz reposent entièrement sur la surface mobile, hypothèse justifiée par les dimensions extrêmement réduites de δ . Enfin, μ représente la viscosité en un point considéré.

La solution générale de (2) peut être formée à l'aide des solutions p_∞ et p^* des équations

$$\frac{d}{dx} \left(\frac{\delta^2 \partial p_\infty}{\mu \partial x} \right) = 6V \frac{d\delta}{dx} \quad (3)$$

et

$$\frac{\partial}{\partial x} \left(\frac{\delta^2 \partial p^*}{\mu \partial x} \right) + \frac{\partial}{\partial x} \left(\frac{\delta^2 \partial p^*}{\mu \partial x} \right) = 0 \quad (4)$$

Admettons encore une variation de μ

$$\mu = \mu_1 \left(\frac{\delta}{\delta_1} \right)^q \quad (5)$$

où δ_1 est la valeur maximum de δ , μ_1 la viscosité correspondante et q un paramètre quelconque. Si la largeur b des surfaces en contact (suivant Ox) est constante et si $-b_1, b_2$ sont les distances des frontières à Ox ($b_1 + b_2 = b$), p^* est

$$p^* = \sum_{n=1}^{\infty} c_n f_{1n}(x) \cdot \text{ch} \sqrt{\lambda_n} \left[x + \frac{1}{2} (b_1 - b_2) \right] \quad (6)$$

λ_n étant une constante arbitraire et f_{1n} une fonction de x seulement. L'autre solution sera:

$$p_\infty = \frac{1}{2} (p_a + p_b) + \frac{6\mu_1 V}{\delta_1^2} \left(\frac{1}{\delta^{2-q}} + \frac{C_1}{\delta^{2+q}} \right) dx \quad (7)$$

p_a étant la pression sur la frontière $x = -b_1$ et p_b pour $x = b_2$

Soient

$$\left. \begin{aligned} p_{20} - \frac{1}{2}(p_a + p_b) &= a_0 + a_1 x + a_2 x^2 + \dots + a_n x^n + \dots \\ f_{1m}(x) &= a_{m0} + a_{m1} x + a_{m2} x^2 + \dots + a_{mn} x^n + \dots \end{aligned} \right\} \quad (8)$$

Chaque solution f_{1m} comprend deux constantes arbitraires a_{m0}, a_{m1} , dont dépendent les autres coefficients. En considérant ces constantes inconnues, on peut former le système infini d'équations linéaires:

$$\left. \begin{aligned} a_0 &= a_{10} + a_{20} + \dots + a_{m0} + \dots \\ a_1 &= a_{11} + a_{21} + \dots + a_{m1} + \dots \\ a_n &= a_{1n} + a_{2n} + \dots + a_{mn} + \dots \end{aligned} \right\} \quad (9)$$

ce qui permet d'écrire la solution générale avec

$$c_m = \frac{1}{\operatorname{ch} \frac{1}{2} \sqrt{\lambda_m} (b_1 + b_2)} \quad (10)$$

$$p = \frac{1}{2}(p_a + p_b) + \frac{p_b - p_a}{b} z + \sum_{m=1}^{\infty} \left[\frac{\operatorname{ch} \sqrt{\lambda_m} \left[z + \frac{1}{2}(b_1 - b_2) \right]}{\operatorname{ch} \frac{1}{2} \sqrt{\lambda_m} (b_1 + b_2)} \right] f_{1m}(x) \quad (11)$$

ou plus généralement si $b_1 = b_2$ et $f_{2m}(z)$ est une fonction paire de la variable z

$$p = \frac{1}{2}(p_a + p_b) + \frac{p_b - p_a}{b} z + \sum_{m=1}^{\infty} \left(1 - \frac{f_{2m}(z)}{f_{2m}\left(\frac{b}{2}\right)} \right) f_{1m}(x) \quad (12)$$

Les expressions (8) sont toujours convergentes et il est souvent avantageux de les exprimer en séries trigonométriques, en effectuant un changement de variable.

La formule (12) comprend les restrictions suivantes:

1. L'épaisseur δ dépend de x seulement.
2. La vitesse V est tangente à Ox en tout point.
3. La largeur b de la surface lubrifiée est constante.

Paliers circulaires

Si Δ est le jeu radial, e l'excentricité (fig. 2), $\alpha = \frac{e}{\Delta}$ l'excentricité relative, θ l'angle du rayon AP avec la droite AB , R le rayon du coussinet et r le rayon du tourillon, on a

$$\Delta = R - r; \quad \delta = \Delta(1 + \alpha \cos \theta); \quad x = r \theta; \quad \beta_m = r^2 \lambda_m. \quad (13)$$

et la solution $f_{1m}(\theta)$ est donnée par l'expression

$$f_{1m} = \frac{\sum_{n=0}^{\infty} (A_{mn} \sin n \theta + B_{mn} \cos n \theta)}{(1 + \alpha \cos \theta)^n} \quad (14)$$

Les coefficients A_{mn}, B_{mn} sont définis par la relation générale

$$\begin{aligned} & \frac{\alpha^2}{4} [\beta_m - (n+x+2)(n+x+q-1)] A_{m,n+2} (B_{m,n+2}) + \\ & + \alpha \left[\beta_m - (n+1) \left(n+x + \frac{q-1}{2} \right) + \frac{x}{2} \right] A_{m,n+1} (B_{m,n+1}) + \\ & + \left[\left(1 + \frac{\alpha^2}{2} \right) (\beta_m - n^2) + \frac{x \alpha^2}{2} (x+q-1) \right] A_n (B_n) + \\ & + \alpha \left[\beta_m - (n-1) \left(n-x - \frac{q-1}{2} \right) + \frac{x}{2} \right] A_{m,n-1} (B_{m,n-1}) + \\ & + \frac{\alpha^2}{4} [\beta_m - (n-x-2)(n-x-q+1)] A_{m,n-2} (B_{m,n-2}) = 0 \end{aligned} \quad (15)$$

avec les conditions supplémentaires

$$\left. \begin{aligned} A_{m,-1} &= -A_{m1} & B_{m,-1} &= B_{m1} \\ A_{m,-2} &= -A_{m2} & B_{m,-2} &= B_{m2} \end{aligned} \right\} \quad (16)$$

La solution de (15) comprend deux constantes arbitraires, en plus du paramètre β_m . Pour calculer les coefficients A_{mn}, B_{mn} , on fait successivement $n=0, 1, 2, \dots, i, \dots$ obtenant ainsi un système infini d'équations, ayant comme inconnues les constantes arbitraires. Si on néglige dans les premières $i+1$ équations $A_{m,i+1}, A_{m,i+2}$ et $B_{m,i+1}, B_{m,i+2}$ ces équations forment un système homogène, dont la condition de compatibilité permet le calcul de β_m . Ensuite, on peut tirer les valeurs des inconnues A_{mn}, B_{mn} en fonction de A_{m1}, B_{m0} . Ces valeurs sont toujours convergentes, leur rapport ayant pour limite, lorsque $n \rightarrow \infty$

$$\frac{A_{m,n+1}}{A_{mn}} = \frac{B_{m,n+1}}{B_{mn}} = -\frac{1}{\alpha} + \sqrt{\frac{1}{\alpha^2} - 1} \quad (17)$$

Si on admet les valeurs de β_m , on néglige seulement $A_{m,i+2}, B_{m,i+2}$ dans les premières $i+1$ équations qu'on peut résoudre directement et l'erreur ainsi commise décroît rapidement lorsque i croît, pouvant être toujours maintenue sous une certaine limite fixée d'avance.

Palier circulaire d'allongement infini. L'équation (7) peut être intégrée dans le cas général

$$\begin{aligned}
 p_\infty &= \frac{1}{2}(p_a + p_b) + \frac{6\mu_1 V r}{\Delta^2 (1+\alpha)^2 (1-\alpha^2)^{\frac{3}{2}-1}} \left\{ C_1 + \left[1 + \frac{C_1}{\Delta(1-\alpha^2)} - \sum_{n=1}^{\infty} \Xi_{2n} \left(\frac{2n}{n} \right) \frac{1}{2^{2n}} \right] \times \arcsin \frac{\sqrt{1-\alpha^2} \sin \theta}{1+\alpha \cos \theta} \right. \\
 &\quad \left. - \left[\alpha \left(1-q + \frac{2-q}{1-\alpha^2} \frac{C_1}{\Delta} \right) + \sum_{n=3,5}^{\infty} \Xi_n \frac{1}{2^{n-1}} \left(\frac{n-1}{2} \right) \frac{\sqrt{1-\alpha^2} \sin \theta}{1+\alpha \cos \theta} \right. \right. \\
 &\quad \left. \left. - \sum_{v=1}^{\infty} P_{1v} \frac{\sum_{\sigma=1,3}^{\infty} (-1)^{\frac{\sigma-1}{2}} (1-\alpha^2)^{\frac{\sigma}{2}} \left(\frac{v}{\sigma} \right) \sin^{\sigma} \theta (\alpha + \cos \theta)^{v-\sigma}}{(1+\alpha \cos \theta)^v} \right. \right. \\
 &\quad \left. \left. - \sum_{v=1}^{\infty} P_{2v} \frac{\sum_{\sigma=1,3}^{\infty} (-1)^{\frac{\sigma-1}{2}} (1-\alpha^2)^{\frac{\sigma}{2}} \left(\frac{2v}{\sigma} \right) \sin^{\sigma} \theta (\alpha + \cos \theta)^{2v-\sigma}}{(1+\alpha \cos \theta)^{2v}} \right] \right\} = \\
 &= \frac{1}{2}(p_a + p_b) + \frac{b_0 + \sum_{n=1}^{\infty} a_n \sin n\theta + b_n \cos n\theta}{(1+\alpha \cos \theta)^{\lambda_A}} \quad (18)
 \end{aligned}$$

où

$$\begin{aligned}
 P_{1v} &= \frac{1}{v} \sum_{n=3,5}^{\infty} \Xi_n \frac{1}{2^{n-1}} \binom{n}{2} ; P_{2v} = \frac{1}{2v} \sum_{n=1}^{\infty} \Xi_{2n} \frac{1}{2^{2n-1}} \binom{2n}{n-v} \quad \text{et} \\
 \Xi_n &= \frac{(q-1)q(q+1) \dots (q+n-3)}{(n-1)!} \alpha^n \left[\left(1 + \frac{C_1}{\Delta(1-\alpha^2)} \right) \frac{q+n-2}{n} \dots \frac{C_1}{\Delta(1-\alpha^2)} \right] \quad (19)
 \end{aligned}$$

En remarquant que Ξ_n décroît rapidement pour $n > 2$, (18) peut être simplifiée:

$$\begin{aligned}
 p_\infty &= \frac{1}{2}(p_a + p_b) + \frac{6\mu_1 V r}{\Delta^2 (1+\alpha)^2 (1-\alpha^2)^{\frac{3}{2}-1}} \left\{ C_1 + \left[1 + \frac{C_1}{\Delta(1-\alpha^2)} - \frac{1}{2} \Xi_2 \right] \times \right. \\
 &\quad \times \arcsin \frac{\sqrt{1-\alpha^2} \sin \theta}{1+\alpha \cos \theta} - \alpha \sqrt{1-\alpha^2} \left(1-q + \frac{2-q}{1-\alpha^2} \frac{C_1}{\Delta} \right) \frac{\sin \theta}{1+\alpha \cos \theta} \\
 &\quad \left. - \frac{1}{2} \Xi_2 \frac{\sqrt{1-\alpha^2} \sin \theta (\alpha + \cos \theta)}{(1+\alpha \cos \theta)^2} \right\} \quad (20)
 \end{aligned}$$

Le système (9) se décompose ainsi en deux groupes indépendants

$$a_n = \sum_{m=1}^{\infty} A_{nm} \quad \text{et} \quad b_n = \sum_{m=1}^{\infty} B_{nm} \quad (21)$$

qui résolvent complètement le problème.

En remarquant ensuite que pour $0,9 < \beta_m < 7,5$ on peut admettre la relation (fig. 3 et 4)

$$1 - \frac{\frac{\text{ch} \sqrt{\beta_m} x}{r}}{\frac{\text{ch} \sqrt{\beta_m} b}{2r}} \approx 1 - \frac{\frac{\text{ch} \sqrt{\beta_m} x}{r}}{\frac{\text{ch} \sqrt{\beta_m} b}{2r}} \left(1 - \frac{\frac{\text{ch} \sqrt{\beta_1} z}{r}}{\frac{\text{ch} \sqrt{\beta_1} b}{2r}} \right) \quad (22)$$

la solution générale

$$\begin{aligned}
 p &= \frac{1}{2}(p_a + p_b) + \frac{p_b - p_a}{b} x + \\
 &+ \sum_{n=1}^{\infty} \sum_{m=0}^{\infty} \left(1 - \frac{\text{ch} \sqrt{\beta_m} x}{\text{ch} \sqrt{\beta_m} b} \right) \left[\frac{A_{nm} \sin n\theta}{(1+\alpha \cos \theta)^{\lambda_A}} + \frac{B_{nm} \cos n\theta}{(1+\alpha \cos \theta)^{\lambda_B}} \right] \quad (23)
 \end{aligned}$$

devient avec $\lambda_A = \lambda_B = \lambda$, $\lambda = \frac{b}{2r}$

$$p = \frac{1}{2}(p_a + p_b) + \frac{p_b - p_a}{b} x + \quad (24)$$

$$+ \frac{\text{ch} \sqrt{\beta_{1A}} x}{r} \frac{1 - \frac{\text{ch} \lambda \sqrt{\beta_{1A}}}{1 + \alpha \cos \theta}}{\sum_{n=1}^{\infty} \sum_{m=0}^{\infty} (k_{mA} A_{nm} \sin n\theta + k_{mB} B_{nm} \cos n\theta)} \quad (25)$$

avec

$$\begin{aligned}
 k_{mA} &= \frac{1 - \frac{\text{ch} \lambda \sqrt{\beta_{mA}}}{1 + \alpha \cos \theta}}{\text{ch} \lambda \sqrt{\beta_{mA}}} ; k_{mB} = \frac{1 - \frac{\text{ch} \lambda \sqrt{\beta_{mB}}}{1 + \alpha \cos \theta}}{\text{ch} \lambda \sqrt{\beta_{mB}}} ; k = \frac{1 - \frac{\text{ch} \lambda \sqrt{\beta_{1B}}}{1 + \alpha \cos \theta}}{\text{ch} \lambda \sqrt{\beta_{1B}}} \quad (25)
 \end{aligned}$$

β_{1A} , β_{1B} étant les racines voisines à l'unité de l'équation en β_m , déduite de la condition de compatibilité du système formé à l'aide de l'équation (15).
 Conditions aux limites. Les solutions (23) ou (24) comprennent deux constantes arbitraires C_1 et C_2 dont dépend p_∞ (18). En général, ces constantes peuvent

être déterminées si l'on connaît les pressions en deux points θ_1, x_1 et θ_2, x_2 . On admet ordinairement (fig. 6)

$$\left. \begin{aligned} p &= \frac{1}{2}(p_0 + p_1) = p_0 \text{ pour } \theta_1 = 0 \text{ et } x = 0 \\ \frac{\partial p}{\partial \theta} &= 0, p = p_0 \text{ pour les valeurs } x = 0 \text{ et } \theta \text{ quelconque.} \end{aligned} \right\} (26)$$

Pour le palier à coussinet incomplet, si Θ est l'angle total du coussinet et p_1 la pression d'admission du lubrifiant correspondant à une position δ donnée, on a (fig. 6)

$$\left. \begin{aligned} p &= p_1 \text{ pour } \theta = \delta \\ p &= p_0 \text{ pour } \theta = \theta_1 \text{ et } \theta = \theta_2 \\ \theta_2 &\leq \Theta + \theta_1 \end{aligned} \right\} (27)$$

Ces conditions sont souvent remplacées pour le palier à coussinet complet par les relations plus simples

$$p = p_0 \text{ pour } \theta_1 = 0 \text{ et } \theta_2 = \pi (28)$$

et on prend $p = p_0$ dans le domaine où d'après les formules précédentes $p - p_0$ résulterait négatif, le phénomène réel étant incompatible avec ces valeurs négatives.

Variation de la viscosité. Afin d'évaluer l'influence de q on a tracé d'après (18) les courbes

$$Cp_{\infty} = \frac{(p_{\infty} - p_0) \psi}{\mu_1 \omega} (29)$$

où $\psi = \frac{\Delta}{r}$ et ω est la vitesse de rotation du tourillon, pour $\alpha = 0,7, q = 1$ et $q = 0$. A cette dernière valeur ($q = 0$) on doit admettre une moyenne de $\mu = \mu_m$ qui a été calculée d'après les courbes viscosité-température expérimentales, en connaissant les températures de l'huile à l'entrée et à la sortie du palier. Enfin, μ_m a été considéré successivement la moyenne des valeurs extrêmes de la viscosité (μ_{m1}) ou la viscosité correspondant à la température moyenne du palier (μ_{m11}). Les trois courbes ainsi tracées présentent des écarts appréciables, mettant en évidence (fig. 7) l'influence de q ainsi que l'importance du choix de μ_m . Toutefois, le coefficient total de portance

$$\zeta_{\infty} = \frac{1}{2} \sqrt{I_{\infty}^2 + J_{\infty}^2}; I_{\infty} = \int_0^{\pi} Cp_{\infty} \sin \theta d\theta; J_{\infty} = \int_0^{\pi} Cp_{\infty} \cos \theta d\theta (30)$$

ne diffère pas d'une manière considérable dans les trois cas. On trouve successivement $\zeta_{\infty 1} = 3,175$ ($q = 1, \mu = \mu_{m1}$), $\zeta_{\infty 11} = 3,72$ ($q = 0, \mu = \mu_{m11}$) et $\zeta_{\infty 111} = 2,495$ ($q = 0, \mu = \mu_{m111}$). Ces valeurs montrent qu'il est permis de considérer $q = 1$ pour simplifier le calcul et pour éviter la difficulté d'apprécier le paramètre q qui dépend non seulement des caractéristiques physiques de l'huile, mais encore des conditions thermiques de fonctionnement et des pressions atteintes aux divers points.

Exemples numériques. On applique les formules précédentes en prenant $q = 1, x = 2$ à trois valeurs de l'excentricité $\alpha = 0,4, \alpha = 0,6$ et $\alpha = 0,9$ avec les conditions à la limite (28). Pour $\alpha = 0,4$, admettant $i = 3$, on trouve de la condition de compatibilité du système d'équations formé de (15)

$$\beta_{1A} = 1,028; \beta_{2A} = 4,104 \text{ et } \beta_{3A} = 8,028 (31)$$

Avec les deux premières valeurs, on obtient les solutions f_{11} et f_{12} dont les coefficients sont

$$\left. \begin{aligned} \frac{A_{12}}{A_{11}} &= 0,2665; \frac{A_{13}}{A_{11}} = 0,01015; \frac{A_{14}}{A_{11}} = -0,000343; \\ \frac{A_{15}}{A_{11}} &= 0,0000234; \frac{A_{16}}{A_{11}} = -0,00000192 \\ \frac{A_{22}}{A_{21}} &= 7,74; \frac{A_{23}}{A_{21}} = 1,975; \frac{A_{24}}{A_{21}} = 0,0467; \\ \frac{A_{25}}{A_{21}} &= -0,00221; \frac{A_{26}}{A_{21}} = 0,0001725 \end{aligned} \right\} (32)$$

Ces coefficients permettent ensuite de former la solution générale (24). Le système (21) se réduit à deux équations qui donnent A_{11} et A_{21} . En formant ensuite a_3, a_4, \dots , on trouve les valeurs correspondantes pratiquement nulles par rapport à a_1 et a_2 , en accord avec la formule (18).

Des résultats analogues sont obtenus pour $\alpha = 0,9$ et $\alpha = 0,6$, avec les valeurs de i respectivement $i = 6$ et $i = 4$. En considérant la série majorante de p_{∞} à partir du terme a_7

$$s = a \sum_{p=1}^{\infty} p^{n-1} \sin p\theta (33)$$

on trouve que l'erreur maximum commise en utilisant deux solutions seulement f_{11} et f_{12} pour former l'intégrale générale (23) et (24) et en négligeant les termes d'ordre supérieur ($n > 3$) ne dépasse pas 3% du premier coefficient a_1 donc parfaitement admissible, même dans le cas le plus désavantageux, c'est-à-dire $\alpha = 0,9$.

On déduit aisément que $\beta_{1A}, \frac{A_{12}}{A_{11}}$ et $\frac{A_{22}}{A_{21}}$ ont une variation linéaire par rapport à l'excentricité (fig. 8 et 9), soit

$$\left. \begin{aligned} \beta_{1A} &= 0,9312 + 0,242 \alpha \\ \frac{A_{12}}{A_{11}} &= 0,0157 + 0,627 \alpha \\ \frac{A_{22}}{A_{21}} &= 11,34 - 9,6 \alpha \\ \frac{A_{23}}{A_{21}} &= -0,0157 + 0,127 \alpha \\ & \quad 11,34 - 10,10 \alpha \end{aligned} \right\} (34)$$

ce qui permet d'établir une formule simple pour le palier d'allongement fini λ et à coussinet complet:

$$p = p_0 + \frac{6\mu_1 V r}{\Delta^2} \cdot \frac{\alpha}{1 + \alpha} \left(1 - \frac{\text{ch } \frac{\sqrt{\beta_{1A}}}{r}}{\text{ch } \lambda \sqrt{\beta_{1A}}} \right) \times \left\{ 1 + \left[0,0314 + 1,254 \alpha + \right. \right. \quad (35)$$

$$\left. \left. + k_{2A} (22,68 - 19,2 \alpha) \frac{A_{21}}{A_{11}} \right] \cos \theta \right\} \frac{\sin \theta}{(1 + \alpha \cos \theta)^2}$$

où

$$k_{2A} = \frac{1 - \frac{1}{\text{ch } 2\lambda}}{1 - \frac{1}{\text{ch } \lambda}} \quad (36)$$

Surfaces planes. Le problème peut être traité d'une manière identique, en appliquant la méthode générale. De ce fait il n'y a plus lieu de considérer ce cas indépendamment, ainsi qu'on l'a souvent fait. Posons (fig. 10)

$$x = \frac{l}{2} (1 - \cos \theta); \quad \alpha = \frac{\delta_1 - \delta_2}{\delta_1 + \delta_2}; \quad \Delta = \frac{\delta_1 + \delta_2}{2}; \quad \delta = \Delta (1 + \alpha \cos \theta) \quad (37)$$

$$\chi_m = \frac{4}{l^2} \beta_m$$

l'équation à différences (15) devient

$$\begin{aligned} & -\frac{\alpha^2}{16} \beta_m A_{m,n+4} (B_{m,n+4}) - \frac{\alpha}{4} \beta_m A_{m,n+3} (B_{m,n+3}) - \\ & - \frac{1}{4} [\beta_m + \alpha^2 (n+x)(n+x-3+q)] \times \\ & \times A_{m,n+2} (B_{m,n+2}) + \alpha \left[\frac{\beta_m}{4} - n^2 - \left(x - \frac{3-q}{2} \right) n + \right. \\ & \left. + \frac{x}{2} \right] A_{m,n+1} (B_{m,n+1}) + \left[\frac{1}{2} \left(1 + \frac{\alpha^2}{4} \right) \beta_m - \left(1 + \frac{\alpha^2}{2} \right) n^2 + \right. \\ & \left. + \frac{\alpha^2}{2} x (x+q-1) \right] A_{m,n} (B_{m,n}) + \alpha \left[\frac{\beta_m}{4} - n^2 + \left(x - \frac{3-q}{2} \right) n + \right. \\ & \left. + \frac{x}{2} \right] A_{m,n-1} (B_{m,n-1}) - \\ & - \frac{1}{4} [\beta_m + \alpha^2 (n-x)(n-x+3-q)] A_{m,n-2} (B_{m,n-2}) - \\ & - \frac{\alpha}{4} \beta_m A_{m,n-3} (B_{m,n-3}) - \frac{\alpha^2}{16} \beta_m A_{m,n-4} (B_{m,n-4}) \end{aligned} \quad (38)$$

avec les conditions supplémentaires

$$A_{m,-n} = -A_{m,n} \text{ et } B_{m,-n} = B_{m,n} \quad (39)$$

Pour $n \rightarrow \infty$ l'expression (17) demeure valable.

Le système d'équations linéaires engendrées par (38) se résoud comme il vient d'être indiqué pour celui dérivé de (15), avec la seule différence que (38) dépend de quatre constantes arbitraires dont trois peuvent être choisies afin d'obtenir une convergence maximum des termes $A_{m,n}$, $B_{m,n}$. Pratiquement la solution comprend $A_{m,i+1}$ ou $B_{m,i+1}$ comme constantes arbitraires et on néglige $A_{m,i+1}, \dots, A_{m,i+4}$ ou $B_{m,i+1}, \dots, B_{m,i+4}$ dans l'équation d'ordre $i+1$ si β_m est considéré inconnu et i suffisamment grand, respectivement $A_{m,i+2} (B_{m,i+2}), \dots, A_{m,i+4} (B_{m,i+4})$ si β_m a une valeur fixée d'avance.

La solution p_∞ est

$$p_\infty = p_0 + \frac{3\mu_1 VI}{\alpha (1+\alpha)^2 (1-q) \Delta^2} \left\{ \frac{1}{(1+\alpha \cos \theta)^2} \left[1 - \frac{1 - \left(\frac{1-\alpha}{1+\alpha} \right)^{1-q}}{1 - \left(\frac{1-\alpha}{1+\alpha} \right)^{2-q}} \frac{1-\alpha}{1+\alpha \cos \theta} \right] - \frac{1}{(1+\alpha)^2} \cdot \frac{1 - \frac{1-\alpha}{1+\alpha}}{1 - \left(\frac{1-\alpha}{1+\alpha} \right)^{2-q}} \right\} \quad (40)$$

Particulièrement pour $q=1$, p_∞ devient

$$p_\infty = p_0 + \frac{3\mu_1 VI}{\alpha (1+\alpha) \Delta^2} \left[\text{Log} \frac{1-\alpha}{1+\alpha \cos \theta} + \frac{1+\alpha}{2} \left(\text{Log} \frac{1+\alpha}{1-\alpha} \right) \frac{1+\cos \theta}{1+\alpha \cos \theta} \right] \quad (41)$$

Tout comme pour le palier cylindrique, on peut simplifier (40) et p_∞ peut être mis sous la forme

$$p_\infty = p_0 + \frac{b_0 + b_1 \cos \theta + b_2 \cos 2\theta + b_3 \cos 3\theta}{(1 + \alpha \cos \theta)^2} \quad (42)$$

avec

$$\begin{aligned} b_0 &= \left[1 - K_1 - K_2 + \alpha^2 \frac{q \left[1 + (1-K_1) \frac{q-1}{2} \right] - K_2}{2} \right] \frac{3\mu_1 VI}{\alpha (1+\alpha)^2 \Delta^2} \\ b_1 &= \left[1 + q(1-K_1) - 2K_2 + \frac{3}{8} \alpha^2 q(q-1) \right] \frac{3\mu_1 VI}{(1+\alpha)^2 \Delta^2} \\ b_2 &= \alpha \frac{q \left[1 + (1-K_1) \frac{q-1}{2} \right] - K_2}{2} \cdot \frac{3\mu_1 VI}{(1+\alpha)^2 \Delta^2} \\ b_3 &= q(q-1) \frac{3\alpha^2 \mu_1 VI}{8(1+\alpha)^2 \Delta^2} \end{aligned} \quad (43)$$

Tipei, N.
 O metoda generala pentru studiul miscarii ...
 Studii si cercetari de ...

7342 Grosb, V

84

N. TIPEI

58

$$b_1 = b_2 = \dots = b_n = \dots = 0 ; a_1 = a_2 = \dots = a_n = \dots = 0$$

$$K_1 = (1 - \alpha^2) \frac{1 - q \left[1 + \frac{\alpha^2}{2} (1 - q) \right]}{2 \left[1 - \frac{\alpha^2}{2} q (q - 1) \right] - q (1 + \alpha^2)} ;$$

$$K_2 = \frac{1 + q\alpha \left(1 + \frac{q-1}{2} \alpha \right)}{1 + \alpha} \left(1 - \frac{K_1}{1 + \alpha} \right)$$

On trouve encore $\alpha = 2$ et les formules (23), (24) donnent la répartition des pressions en tenant compte de l'allongement $\lambda = \frac{b}{l}$. On remarque aussi que les conditions à la limite (28) s'appliquent rigoureusement dans ce cas.

Tipei, N.
Asupra condițiilor la limită în problema lubrificației
Studii și cercetări de mecanică aplicată, Tomul VIII, nr. 1, 1957
pp. I-II.

7343 Cr

STUDII ȘI CERCETĂRI DE MECANICĂ APLICĂTĂ
Tomul VIII, nr. 1, 1957

UNGERE — FRECARÉ — UZURĂ

ASUPRA CONDIȚIILOR LA LIMITĂ
ÎN PROBLEMA LUBRIFICAȚIEI

DE
N. TIPEI ȘI AL. NICA

Fixarea condițiilor la limită și determinarea începutului și sfârșitului zonei de suprapresiuni în stratul lubrifianț condiționează valabilitatea rezultatelor date de teoria hidrodinamică a ungerii. Cum pe de altă parte este stabilit că această teorie corespunde fenomenelor reale, rezultă că de o justă alegere a condițiilor amintite va depinde posibilitatea unui calcul pe baze științifice a ansamblurilor de frecare folosite în construcția de mașini.

Asupra acestor condiții la limită există mai multe ipoteze și anume:

- 1) Zona de presiuni începe în punctul de grosime δ maximă a peliculei și se termină acolo unde δ este minim. Unghiul său la centru este π , iar presiunile sînt o funcție periodică de perioadă 2π .

- 2) Zona de presiuni începe în punctul unde $\delta = \delta_{\max}$ și se termină acolo unde presiunile au un minimum ($p - p_0 = 0$ pentru $\frac{\partial p}{\partial \theta} = 0$, θ fiind unghiul de poziție al unui punct curent cu virful în centrul axului).

- 3) Suprapresiunile $p - p_0$ încep în punctul $\delta = \delta_{\max}$ și cresc continuu cînd δ scade fiind maxime în punctul $\delta = \delta_{\min}$.

- 4) Se dă valoarea presiunilor la intrare $p = p_0$ într-un punct cunoscut $\theta = \theta_0$, iar pentru sfîrșitul zonei active se consideră una din ipotezele precedente.

Se va exclude de la început existența zonei de presiuni negative, pe care experiența o infirmă în toate cazurile, o dată cu teoria care arată dificultatea obținerii unor tensiuni negative la fluidele incompresibile, în condițiile practic existente. Chiar dacă o mică zonă de depresiuni ar apare uneori, extinderea sa și valorile reduse ale depresiunilor o fac fără importanță practică.

Dacă se examinează comparativ cele patru cazuri se constată că 2) și 3) introduc o dificultate, care din punct de vedere matematic și fizic

apare inadmisibilă și anume că presiunile nu mai sînt o funcție uniformă cu perioada 2π . Toate cele patru cazuri elimină presiunile $p - p_0$ negative și în regiunea corespunzătoare admit $p = p_0$, presiunea atmosferică, ipoteză valabilă fizic și verificată practic. În consecință, în punctele unde începe sau se sfîrșește zona de suprapresiuni intervine o modificare calitativă a fenomenului care în mod normal se traduce printr-o discontinuitate a variației presiunilor și vitezelor. De acest fapt ține seama numai prima ipoteză. A doua ipoteză caută, dimpotrivă, să elimine această realitate prin asigurarea continuității curbei presiunilor în punctul de ieșire. Ideia care stă la baza condițiilor 2) este că în zona divergentă a filmului, cu presiune constantă, repartiția vitezelor este liniară și în consecință trebuie racordate cele două mișcări, asigurându-se o valoare unică a debitului în punctul respectiv. În realitate se face astfel abstracție de mișcarea fluidului de-a lungul axului lagărului și de faptul că mișcarea generală suferă o discontinuitate în punctul $\delta_{\min} = \delta_2$. Noua mișcare, dincolo de acest punct este caracterizată prin $p = p_0$ și o repartiție dată de viteza la intrare. În această regiune aproximațiile curent introduse $\frac{\partial v_x}{\partial x} = 0$; $\frac{\partial^2 v_x}{\partial x^2} = 0$ ($j, k = 1, 2$), axele Ox_1 și Ox_2 fiind conținute într-una din suprafețele solide care mărginesc fluidul, nu mai sînt valabile. Cimpul de viteze este dat de ecuațiile

$$\Delta v_1 = 0, \quad \Delta v_2 = 0 \quad (1)$$

care arată că acestea sînt funcții armonice, cu valori date pe frontiera corespunzătoare grosimii minime. După o zonă făcînd un unghi la centru foarte mic, aproximațiile inițiale devin din nou valabile, mișcarea stabilindu-se în noul regim. Astfel, ținînd seama de rezultatele obținute în alte lucrări [1], considerînd $\delta = \text{const.}$ în această zonă unde grosimea trece printr-un minimum se poate scrie, cu o aproximație foarte bună, viteza tangențială v_1 și axială v_2 sub forma

$$\left. \begin{aligned} v_1 &= A_1 \cdot e^{-\pi \frac{x_2}{\delta}} \times \cos \frac{\pi}{\delta} x_2 \cdot \sin \pi \frac{x_1}{\delta} + V \left(1 - \frac{x_2}{\delta} \right); \\ A_1 &= \frac{e^{-\pi \frac{x_2}{\delta}} \frac{\partial p}{\partial \theta} \theta = \pi; \quad x_2 = \frac{b}{2}}{\delta \mu_1 r_1}; \\ v_2 &= \frac{b}{\delta} A_1 e^{-\pi \frac{x_2}{\delta}} \times \sin \frac{\pi}{\delta} x_2 \cdot \sin \pi \frac{x_1}{\delta}; \quad v_3 = 0. \end{aligned} \right\} \quad (2)$$

Vitezele v_2 suferă o variație rapidă în dreptul secțiunii minime, de la 0 la valoarea (2), după care se amortizează repede, ca și primul termen al vitezei tangențiale. Se remarcă apoi că prin condiția (2) se asigură continuitatea curbei de presiuni numai la ieșirea din zona de suprapresiuni, iar la intrare nu numai că rămîne aceeași discontinuitate dar este încă agravată de faptul că teoretic punctul unghiuros de la intrare este înlocuit cu un salt de face ca valorile măsurate, valorile teoretice și condițiile la limită impuse în acest punct să fie în complet de acord între ele. Justificarea aparentă

prin existența unei surse de alimentare în regiunea corespunzătoare dispăre de altfel complet dacă se consideră că ansamblul funcționează înecat în baia de fluid.

Primele trei condiții nu țin seama de presiunea de alimentare și de poziția punctului de alimentare cu lubrifiant. Acest neajuns apare însă numai în cazul construcțiilor neadevrate, la care alimentarea se face în regiunea de grosime minimă sau la care se realizează presiuni exagerate la intrare, fapt care mărește sensibil frecările, ridică temperatura și conduce la valori maxime mai ridicate a presiunilor pentru o aceeași încărcare. În consecință, pentru construcțiile bine executate și cu presiuni normale de alimentare, condițiile 1), 2), 3) sînt chiar preferabile cazului ultim 4), deoarece în practică p_1 poate varia foarte mult, la același ansamblu de frecare, fiind condiționat de temperatura ambiantă, de regimul de lucru, de starea dispozitivelor de filtrare a lubrifiantului etc.

În figurile 1, 2 și 3 s-au reprezentat punctele în care începe și se așrșește zona activă (de suprapresiuni), pentru lagărele circulare cu diferite alungiri $\lambda = \frac{b}{2r_1}$, unde b este lățimea zonei de acoperire și $2r_1$ diametrul fusului. Unghiurile θ^* de pe ordonată sînt măsurate față de direcția încărcării P , iar în abscisă s-a luat numărul lui Sommerfeld

$$S = \frac{1 + \frac{2}{3} \alpha}{2\pi(1 + \alpha) \zeta} \quad (3)$$

în care α este excentricitatea relativă $\alpha = \frac{e}{\Delta}$ (e fiind distanța dintre axele fusului și cuzinetului, iar Δ jocul radial), $\bar{\alpha}$ un coeficient depinzînd de α și λ [1], iar ζ este coeficientul de încărcare [2]

$$\zeta = \frac{P \psi^2}{2\mu_1 b V} \quad (4)$$

În această relație μ_1 este viscozitatea la intrare, iar V viteza periferică a fusului; viscozitatea medie, care intră de obicei în calculul numărului S s-a obținut considerînd μ variabil de-a lungul filmului după o lege de forma $\mu = \mu_1 \frac{\delta}{\delta_1}$ și notînd Q_0 debitul care scapă pe la capete [1], [2],

$$\begin{aligned} \mu_{\text{med}} &= \frac{2}{Q_0} \int_0^{Q_0} \mu_1 \frac{\delta}{\delta_1} dQ_0 = -\frac{r_1}{Q_0} \int_0^{\pi/2} x_2 (x_2 - \delta) \frac{\sqrt{\beta_1 x_2}}{r_1} \text{th} \lambda \sqrt{\beta_1 x_2} \cdot \frac{A_1 \sin \theta + A_2 \sin 2\theta}{(1 + \alpha \cos \theta)^2} d\theta dx_2 = \\ &= \frac{1 + \frac{2}{3} \alpha}{1 + \alpha} \mu_1 \end{aligned} \quad (5)$$

Tipei, N.
Asupra conditiilor la limita in problema lubrificatiei
Studii si cercetari de mecanica aplicata, Tomul VIII, nr. 1, 1957

7343

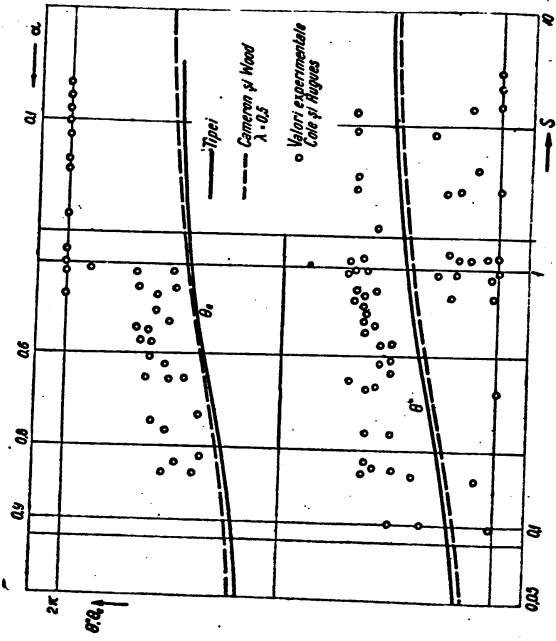


Fig. 1

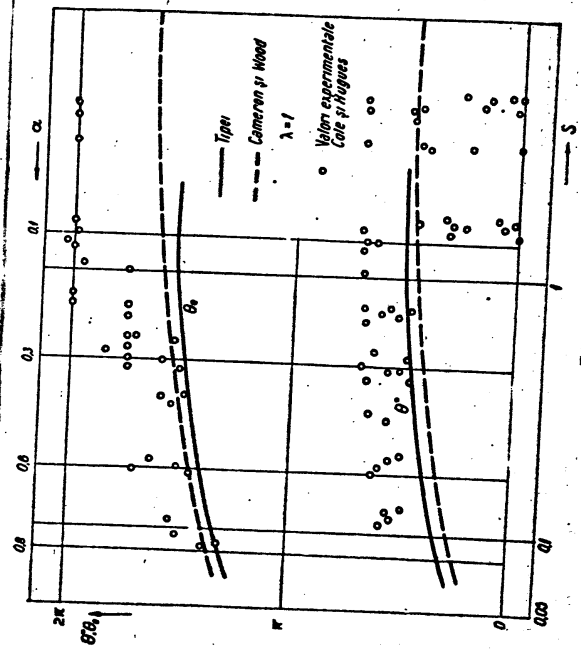


Fig. 2

Tipei, N.
 Asupra condițiilor la limita în problema lubrificării
 Studii și cercetări de mecanică aplicată, Tomul VIII, nr. 1, 1957
 pp. 1-11.

7343 Gr

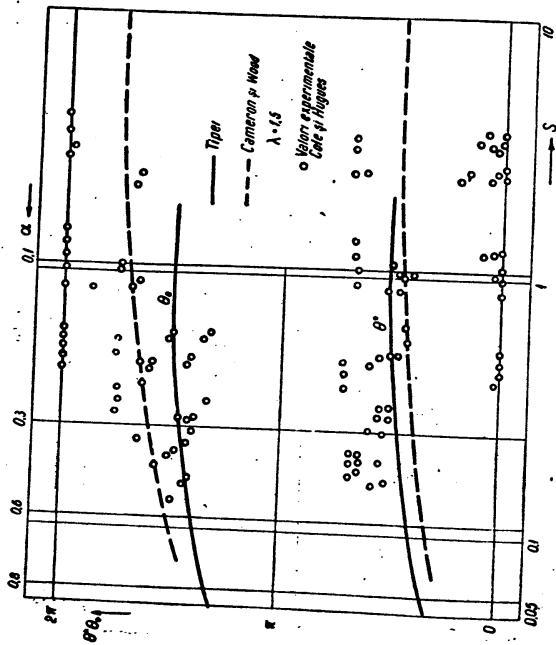


Fig. 3

Punctele din diagrame corespund valorilor experimentale după Cole și Hughes [3], iar curbele au fost trasate după rezultatele obținute prin metode cu totul diferite de Cameron și Wood cu condițiile 2) și de Tipei cu condițiile 1). Din diagrame se constată:

1. Că unghiul la centru al zonei de suprapresiuni este sensibil egal cu π .
2. Că între zonele active determinate teoretic și experimental este un decalaj care apare în general mai accentuat pentru condițiile 2), mai ales la unghiul corespunzător intrării în această zonă.
3. Că în general există o dispersiune accentuată a punctelor experimentale, indicând o sensibilitate a regimurilor de lubrificație sub o sarcină dată, față de ceilalți parametri (temperatură, viteză etc.).
4. Că în general teoria și experiența dau un acord satisfăcător, mai ales pentru condițiile 1), arătând astfel posibilitățile de aplicare ale teoriei hidrodinamice.

Decalajul semnalat mai sus se datorește în parte unei întârzieri a formării stratului portant din cauza condițiilor experimentale care n-au asigurat alimentarea de-a lungul unei generatrice a suprafețelor [3], așa cum se prevede în formulele teoretice. Totodată valorile mai mari ale unghiurilor pentru ieșirea din zona activă se datoresc faptului că acestea au fost obținute prin observație vizuală și că ruperea filmului observată nu are loc exact în punctul unde $p = p_0$. Se precizează de asemenea că valorile nu prezintă nici o importanță practică (de obicei $\alpha > 0,3$).

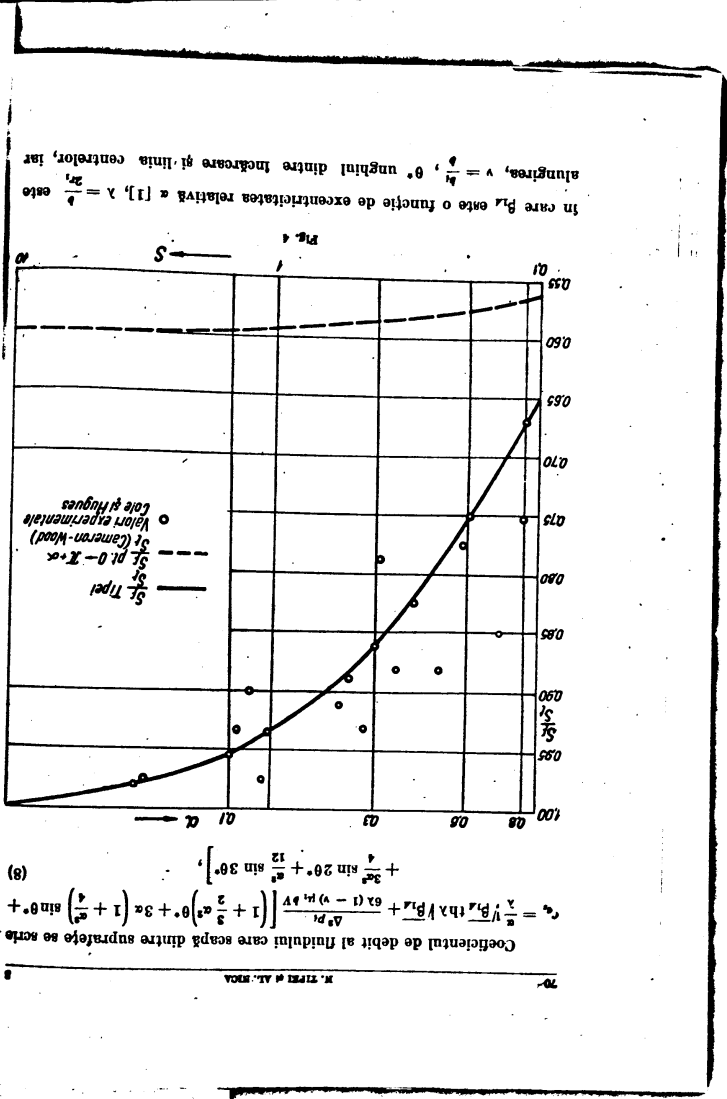
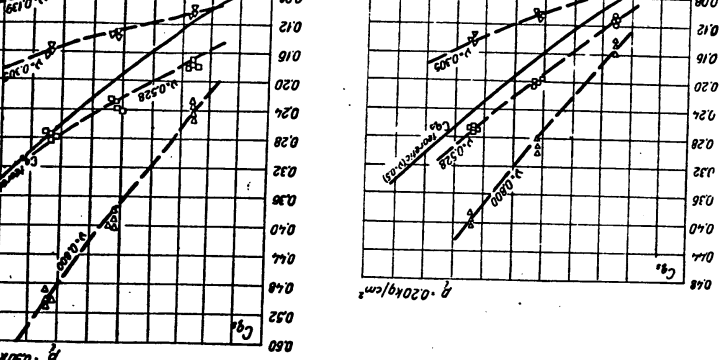
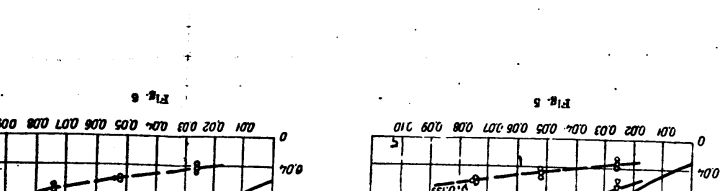
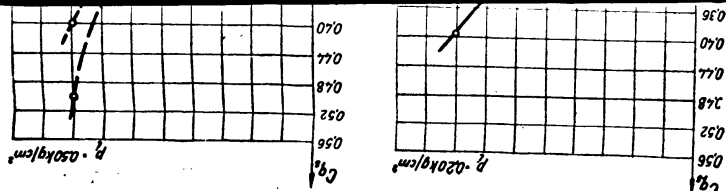
Se obține suprafața complet scăldată de lubrifianț și importantă pentru calculul momentelor de frecare, observind că ea cuprinde întreaga regiune de suprapresiuni, iar că pe restul suprafețelor lățimea efectivă a filmului lubrifianț se poate scrie

$$b_0 = b \frac{S_1}{S}, \quad (6)$$

ținând seama de continuitatea debitelor și de expresia lui v_x , din care rezultă că primul termen se amortizează aproape imediat lângă punctul $\theta = \pi$, $\delta = \delta_2$, după care v_x are o variație liniară, debitul de scăpări laterale este nul ($v_x = 0$), iar debitul longitudinal este $Q_1 = \frac{1}{2} b_0 \delta V$. Relația (6) a fost de altfel obținută anterior de Gumbel-Everling [4], pe o cale mai puțin riguroasă. Se deduce raportul dintre această suprafață S_1 și suprafața totală $S_2 = 2\pi r_1 b$, în cazul condițiilor 1)

$$\frac{S_1}{S_2} = \frac{1}{2} + \frac{\int_0^{\pi} b_0 \delta^2 d\theta}{2\pi b} = \frac{1}{2} \left(1 + \sqrt{\frac{1-\alpha}{1+\alpha}} \right). \quad (7)$$

Cu această valoare s-a construit curba din figura 4 care arată un bun acord cu valorile experimentale.

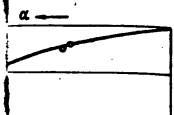


Coeficientul de debit al fluidului care scapa dintr-o suprafata se scrie

$$C_{q1} = \frac{\lambda \sqrt{P_{12}}}{\Delta P} \left[\left(1 + \frac{2}{3} \alpha^2 \right) \theta + 3\alpha \right] \left(1 + \frac{\lambda}{6\alpha(1-\nu)} \sqrt{P_{12}} \right) \sin \theta + \frac{4}{3\alpha^2} \sin 2\theta + \frac{12}{\alpha^2} \sin 3\theta \quad (8)$$

Tipul, N.
 Aupra conditiilor la limita in problema lubrificatiei
 Studiul si cercetari de mecanica aplicata, Tomul VIII, nr. 1, 1957
 pp. 1-11.

pa dintre suprafete se acris.
 $\lambda^3 \theta^2 + 3\lambda \left(1 + \frac{\lambda^2}{4}\right) \sin \theta^2 +$
 (8)



— S_L Tipei
 - - - S_L pt. 0 - $X = \alpha$
 - - - S_L (Cameron-Wood)
 ○ Valori experimentale
 ● Cate si Hugues

relativă α [1], $\lambda = \frac{p}{2\tau}$ este
 are și linia centrelor, iar

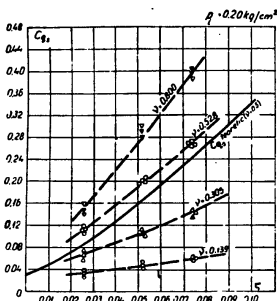


Fig. 5

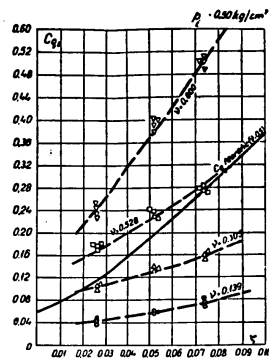


Fig. 6

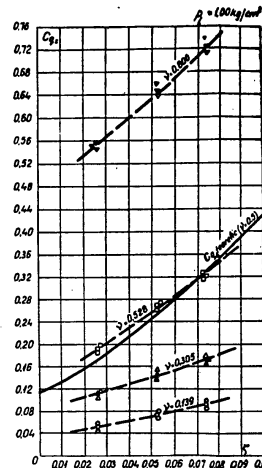


Fig. 7

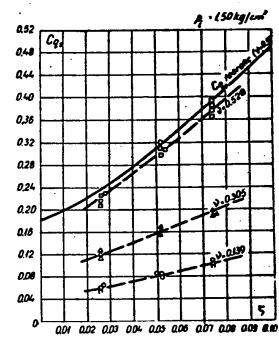


Fig. 8

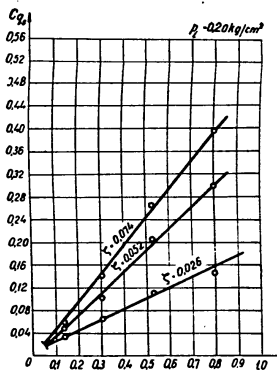


Fig. 9

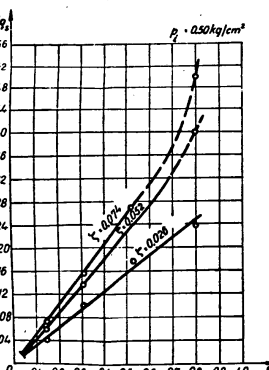


Fig. 10

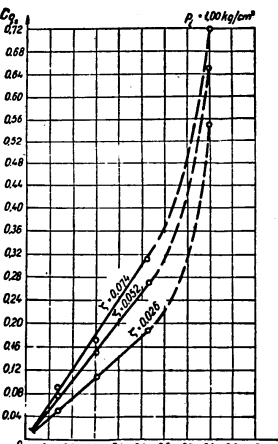


Fig. 11

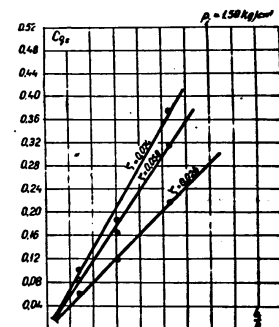


Fig. 12

Tipei, N.
 Asupra conditiilor la limita in problema lubrificatiei
 Studii si cercetari de mecanica aplicata, Tomul VIII, nr. 1, 1957.
 pp. 1-11.

7343 G

În concluzie:
 1. Cele mai apropiate de realitate și mai satisfăcătoare din punct de vedere teoretic și practic, la presiuni normale de alimentare, sînt condițiile 1).
 2. Rezultatele prezentate în [1] și [2] pe baza teoriei hidrodinamice sînt verificate practic în ceea ce privește condițiile pe frontiere, suprafețele

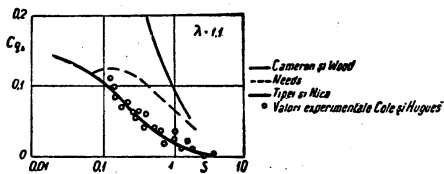


Fig. 14

reale de frecare și coeficienții de debit, cantități legate prin parametrii α , ζ teoretici și S de valorile experimentale.
 3. Debitul este direct proporțional cu lungimea fantei de alimentare dacă aceasta este corect dimensionată în adincime.

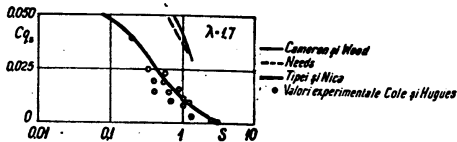


Fig. 15

4. Presiunile de alimentare pot varia practic în limite destul de largi, fără a influența substanțial valorile globale caracteristice ζ , α deduse teoretic prin admiterea unei suprapresiuni nule în punctul de grosime maximă a filmului lubrifiant.

Primită în redacție la 6 iulie 1956.

О ПРЕДЕЛЬНЫХ УСЛОВИЯХ ДЛЯ ПРОБЛЕМЫ СМАЗКИ
 (КРАТКОЕ СОДЕРЖАНИЕ)

Излагаются гипотезы о предельных условиях для круглых подшипников с сплошным вкладышем и сравниваются с результатами опытов, произведенных Колем и Юзом [3], а также и авторами, относящихся к пределам зоны сверхдавлений, к общей площади смазываемой смазкой, и к величине расхода смазки. Подтверждается гипотеза, что зона давлений начинается в точке максимальной толщины и оканчивается в точке минимальной толщины пленки смазочного вещества, причем результаты, приведенные в [1] и [2], наиболее приближаются к данным опытов. Констатируется, что расход пропорционален длине щели питания и что давления питания могут изменяться достаточно широко без серьезного влияния на значения, выведенные теретическим путем, при предположении нулевого сверхдавления в точке максимальной толщины пленки.

SUR LES CONDITIONS AUX LIMITES
DANS LE PROBLÈME DE LA LUBRIFICATION

(RÉSUMÉ)

On présente les hypothèses, en ce qui concerne les conditions aux limites, pour les paliers circulaires à coussinet complet et on les compare avec des expériences concernant les limites de la couche de lubrifiant, la surface totale baignée par le lubrifiant et les valeurs du débit de lubrifiant, effectuées par Cole et Hughes [3] et par les auteurs. L'hypothèse que la zone des pressions commence au point de la plus grande épaisseur et finit au point de l'épaisseur minimum de la couche de lubrifiant est confirmée, les résultats présentés dans [1] et [2] étant les plus proches des données expérimentales. On constate que le débit est proportionnel à la longueur de la fente d'alimentation et que les pressions d'alimentation du lubrifiant peuvent varier entre des limites suffisamment larges, sans influencer essentiellement les valeurs déduites théoriquement, en admettant une surpression nulle au point de la plus grande épaisseur.

BIBLIOGRAFIE

1. N. Tipei, O metodă generală pentru studiul mișcării în pelicula de lubrifiant dintre două suprafețe de dimensiuni finite. Studii și cercetări de mecanică și metalurgie, t. II, 1951.
2. — Considerații asupra calculului lagărelor cu alunecare. Buletin științific, Secțiunea de științe tehnice și chimice, t. IV, nr. 1-2, 1952.
3. Cole and Hughes, Oil Flow and Film Extent in Complete Journal Bearings. The Engineer, 16-23 martie 1956.
4. Gumbel-Everling, Reibung und Schmierung in Maschinenbau. M. Kraja, Berlin, 1925.

7345

Tipei, N.
 Lubrifiția suprafețelor cilindrice cu mișcare de rostogolire...
 Studii și cercetări de mecanică aplicată, 4, Anul VIII, 1957,

UNGERE—FRECARÉ—UZURĂ

**LUBRIFIȚIA SUPRAFEȚELOR CILINDRICE CU MIȘCARE
 DE ROSTOGOLIRE ȘI DE ALUNECARE**

DE
 N. TIPEI

Se va considera în cele ce urmează lubrifiția hidrodinamică în straturi subțiri, pentru care ecuația presiunilor este, pentru lichide:

$$\operatorname{div} \left(\frac{\mu}{\mu_0} \operatorname{grad} p \right) = 6 [2V_n - \bar{V}_i \operatorname{grad} \delta + \delta \operatorname{div} \bar{V}_i^*] = \mathcal{F}(x_1, x_2, t), \quad (1)$$

în care p este presiunea, μ viscozitatea fluidului, x_1, x_2 lungimi măsurate de la o origine de-a lungul suprafeței solide (1), x_3 pe normala la aceasta, V_n este diferența vitezelor normale la suprafețe, \bar{V}_i diferența componentelor celor două viteze, iar \bar{V}_i^* suma acestora în planul tangent la (1), δ grosimea stratului fluid. În această ecuație s-au făcut simplificările bine cunoscute, derivând din grosimea redusă a păturei fluide și din ordinul de mărime al forțelor de inerție.

Ca și în alte probleme ale lubrificației, elementele mișcării și constantele de integrare pot conține timpul ca parametru. Dacă se consideră două suprafețe cilindrice de raze r_1, r_2 (fig. 1) vitezele tangențiale a acestora în punctul de contact trebuie să fie egale $\bar{V}_1 = \bar{V}_2 = \bar{V}$ pentru a avea numai rostogolire. În cazul mai general cînd există și alunecare relativă, dacă se notează prin al doilea indice (j) axa x_j de-a lungul căreia se consideră componenta respectivă, condițiile pe frontiere sînt

$$\left. \begin{aligned} V_{11} = V_1; \quad V_{12} = V_{22} = 0 \\ V_{21} = V_2 \cos \varepsilon; \quad V_{22} = V_2 \sin \varepsilon; \quad V_{33} = 0 \end{aligned} \right\} \quad (2)$$

Deoarece grosimea δ depinde numai de θ și eventual de timp, rezultă $\operatorname{grad} \delta = \frac{1}{r_1} \frac{\partial \delta}{\partial \theta}$, iar membrul al doilea al ecuației (1) este

$$\mathcal{F}(\theta, x_3, t) = 6 \left[V_2 \sin \varepsilon - (V_2 \cos \varepsilon - V_1) \frac{1}{r_1} \frac{\partial \delta}{\partial \theta} + \frac{\delta}{2r_1} V_2 \left(1 - \frac{r_1 + \delta_0}{r_2} \right) \frac{\sin 2\theta}{\cos \varepsilon} \right]. \quad (3)$$

Tipoi, N.
 Lubrificatia suprafetelor cilindrice cu miscare de rostogolire...
 Studiul si cercetari de mecanica aplicata, 4, Anul VIII, 1957, 7345

In aceasta expresie $V_1 = V_2$ in cazul rostogolirii pure si $V_2 = 0$ in cazul alunecării fără rostogolire.

Grosimea δ este (fig. 1)

$$\delta = r_2 \cos \theta \left[\sqrt{1 + \frac{r_1 + \delta_2}{r_2} \operatorname{tg}^2 \theta \cdot \left(2 - \frac{r_1 + \delta_2}{r_2}\right) - 1 + \frac{r_1 + \delta_2}{r_2}} - r_1 \right] \quad (4)$$

$$\frac{\partial \delta}{\partial \theta} = \sin \theta \left(\frac{(r_1 + \delta_2) \left(2 - \frac{r_1 + \delta_2}{r_2}\right) - r_2}{\sqrt{1 + \frac{r_1 + \delta_2}{r_2} \operatorname{tg}^2 \theta \cdot \left(2 - \frac{r_1 + \delta_2}{r_2}\right) - 1 + \frac{r_1 + \delta_2}{r_2}}} + r_2 - r_1 - \delta_2 \right)$$

Deoarece valorile maxime θ , sau θ_0 , ale lui θ sunt mici și nu depășesc $\frac{\pi}{6}$, fiind în genere sensibil mai reduse, $r_1 < r_2$, iar δ_2 este neglijabil față de r_1, r_2 , expresia lui $\frac{\partial \delta}{\partial \theta}$ se poate simplifica în felul următor

$$\frac{\partial \delta}{\partial \theta} \approx \frac{\sin \theta}{\cos^2 \theta} r_1 \left\{ 1 - \frac{r_1}{r_2} - \frac{1}{2} \frac{r_1}{r_2} \left[\left(2 - \frac{r_1}{r_2}\right)^2 - 1 \right] \sin^2 \theta \right\} \quad (5)$$

$$\approx \frac{\sin \theta}{\cos^2 \theta} r_1 \left(1 - \frac{r_1}{r_2}\right)$$

cu o eroare maximă sub 10%, deoarece în realitate $\frac{r_1}{r_2} < \frac{1}{4}$.

De asemenea se vede din a doua formulă (4) că se poate înlocui radicalul cu o valoare medie $1 + \epsilon$ ($\epsilon \ll 1$), sau

$$\frac{\partial \delta}{\partial \theta} \approx \frac{r_2 - r_1 - \delta_2}{1 + \epsilon} \left(\epsilon + \frac{r_1 + \delta_2}{r_2} \right) \cdot \sin \theta = K_2 \sin \theta, \quad (6)$$

în care se poate neglija și δ_2 . În aceste condiții, dacă se observă că termenul care conține $\frac{\delta_2}{r_2}$ ca factor în formula (3) este de asemenea aproape nul, iar $\sin \epsilon = \frac{\epsilon}{r_2} \sin \theta = \left(1 - \frac{r_1 + \delta_2}{r_2}\right) \sin \theta$, se poate scrie

$$\mathcal{F}(\theta, x_2, t) \approx 6 \left[2 \left(1 - \frac{r_1 + \delta_2}{r_2}\right) \frac{V_2}{K_2} + \frac{V_1 - V_2}{r_1} \sqrt{1 - \left(1 - \frac{r_1 + \delta_2}{r_2}\right)^2 \sin^2 \theta} \right] \frac{\partial \delta}{\partial \theta} \quad (7)$$

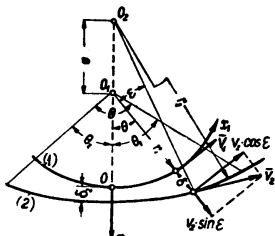


Fig. 1

Radicalul din paranteza mare reprezintă valoarea lui $\cos \epsilon$. Această valoare, deoarece $\cos \epsilon > \cos \theta$, este foarte apropiată de unitate, $0,9 < \cos \epsilon \leq 1$; ca urmare, se poate admite o constantă $\cos \epsilon \sim 0,95$ sau $\cos \epsilon \sim 1$. Într-adevăr, se observă că în zona de grosime minimă $\delta = \delta_{\min}$, $\theta = \epsilon = 0$. În această regiune însă, de presiuni mari, este important ca $\mathcal{F}(\theta, x_2, t)$ să fie evaluată cât mai exact, alegându-se eventual ultima valoare indicată pentru $\cos \epsilon$. Totodată, în cazul rostogolirii primul termen din paranteza mare (7) este preponderant, astfel încât admitând $\cos \epsilon = \text{constant}$ în al doilea termen se realizează o bună aproximație pentru $\mathcal{F}(\theta, x_2, t)$. Se va scrie astfel

$$\mathcal{F}(\theta, x_2, t) = A_2 \frac{\partial \delta}{\partial \theta} \quad (8)$$

În felul acesta se poate găsi soluția p_0 a problemei plane pe calea obișnuită [1]. Pentru rezolvarea tridimensională, este necesar să se stabilească însă pentru δ o expresie mai simplă, dar suficient de exactă. În acest scop, se poate pune

$$\delta = \delta_2 [1 + a_2 (\operatorname{ch} \nu \theta - 1)]. \quad (9)$$

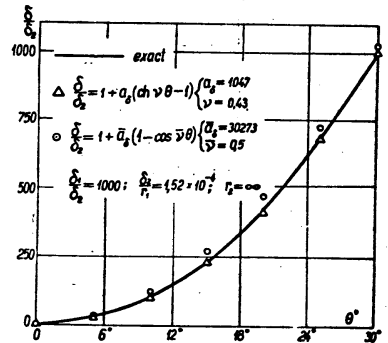


Fig. 2

Fie $\delta_2(\theta_1)$ și $\delta_2(\theta_2)$ valorile grosimii δ în două puncte (θ , fiind în genere valoarea maximă a lui $|\theta|$). Rezultă astfel ν și a_2

$$\frac{\delta_2 - \delta_1}{\delta_2 + \delta_1} = \frac{1 - \operatorname{ch} \nu \theta_1}{1 - \operatorname{ch} \nu \theta_2}; \quad a_2 = \frac{\delta_2 - 1}{\operatorname{ch} \nu \theta_2 - 1} \quad (10)$$

În acest mod s-au calculat punctele din figura 2 pentru un caz defavorabil și anume $\frac{a_1}{a_2} = 1000$, $\theta_1 = 30^\circ$, $\theta = 60^\circ$, $r_2 = \infty$. Se vede că aceste puncte reprezintă suprafața (2) față de (1), fără nici un fel de eroare apreciabilă.

Soluția p_0 se poate scrie apoi admitînd [1] o lege de variație a viscozității cu δ de forma $\mu = \mu_1 \left(\frac{\delta}{\delta_1}\right)^q$

$$p_0 = \frac{A_2 \mu_1 r_1}{\delta_1^q} (I_1 + C_1 I_2) + C_2 \quad (11)$$

În aceasta I_1 și I_2 au expresiile următoare pentru $q = 0$ (viscozitate constantă) sau $q = 1$ (viscozitate variabilă):

$$I_{1,q=0} = \int \frac{d\theta}{\delta^2} = \frac{1}{\delta^2} \left\{ \frac{1}{4} \left[\frac{1}{2(2\sigma_2 - 1)} \left(\frac{1}{(2\sigma_2 - 1)^2} + \frac{5}{2} \right) - 1 \right] \cdot \frac{1 + \text{ch } v\theta}{1 + \sigma_2 (\text{ch } v\theta - 1)} - \frac{3}{8(2\sigma_2 - 1)} \frac{\text{sh } v\theta}{1 + \sigma_2 (\text{ch } v\theta - 1)} + \frac{1}{2\sqrt{2\sigma_2 - 1}} \left[\frac{3}{2} \left(\frac{1}{(2\sigma_2 - 1)^2} + 1 \right) + \frac{1}{2\sigma_2 - 1} \right] \text{arc tg} \left(\sqrt{2\sigma_2 - 1} \text{th} \frac{v}{2} \theta \right) \right\} \quad (12)$$

$$I_{2,q=0} = I_{1,q=1} = \int \frac{d\theta}{\delta^2} = \frac{1}{\delta^2} \left\{ \frac{1}{2} \left(1 + \frac{1}{2\sigma_2 - 1} \right) \frac{\text{sh } v\theta}{1 + \sigma_2 (\text{ch } v\theta - 1)} + \frac{2(\sigma_2 - 1)}{(2\sigma_2 - 1)^2} \text{arc tg} \left(\sqrt{2\sigma_2 - 1} \text{th} \frac{v}{2} \theta \right) \right\}$$

$$I_{2,q=1} = \int \frac{d\theta}{\delta} = \frac{2}{\sqrt{2}\sqrt{2\sigma_2 - 1}} \text{arc tg} \left(\sqrt{2\sigma_2 - 1} \text{th} \frac{v}{2} \theta \right)$$

În genere se poate admite pentru mișcarea de rostogolire că viscozitatea este constantă în toată pelicula, spre deosebire de cazul alunecării pentru care $q = 1$ este mai aproape de realitate.

Fie apoi p^* soluția ecuației (1), fără membrul al doilea. Aceasta se poate pune sub forma [1]

$$p^* = \sum_{n=1}^{\infty} f_{1n}(\theta) \cdot f_{2n}(x_2) \quad (13)$$

Notînd cu χ_n un parametru arbitrar, se obține

$$f_{2n} = A_{2n} \text{sh} \sqrt{\chi_n} x_2 + B_{2n} \text{ch} \sqrt{\chi_n} x_2 \quad (14)$$

Funcțiile $f_{1n}(\theta)$ satisfac ecuația cu derivate totale

$$\frac{d^2 f_{1n}}{d\theta^2} + (3 - q) \frac{1}{\delta} \cdot \frac{\partial \delta}{\partial \theta} \cdot \frac{d f_{1n}}{d\theta} + r_1^2 \chi_n f_{1n} = 0 \quad (15)$$

Fie

$$f_{1n} = \sum_{m=-n_1m}^{\infty} \frac{A_{1m,n}}{\text{ch}^2 v\theta} \quad (16)$$

Coefficienții $A_{1m,n}$ sînt dați de relațiile de recurență

$$a_2 \left[(n+1)(n+4-q) + \frac{\chi_n r_1^2}{v^2} \right] A_{1m,n+1} - (a_2 - 1) \left(n^2 + \frac{\chi_n r_1^2}{v^2} \right) A_{1m,n} - a_2 (n-1)(n+3-q) A_{1m,n+1} + (a_2 - 1)(n-2)(n-1) A_{1m,n-2} = 0 \quad (17)$$

Primele ecuații se scriu, observînd că toți coeficienții cu indice negativ mai mic decît $-n_1$ sînt nuli

$$a_2 \left[-n_{1m}(-n_{1m} + 3 - q) + \frac{\chi_n r_1^2}{v^2} \right] A_{1m,-n_{1m}} = 0,$$

$$a_2 \left[(1 - n_{1m})(-n_{1m} + 4 - q) + \frac{\chi_n r_1^2}{v^2} \right] A_{1m,-n_{1m}+1} - (a_2 - 1) \left(n_{1m}^2 + \frac{\chi_n r_1^2}{v^2} \right) A_{1m,-n_{1m}} = 0$$

$$a_2 \left[(2 - n_{1m})(-n_{1m} + 5 - q) + \frac{\chi_n r_1^2}{v^2} \right] A_{1m,-n_{1m}+2} - (a_2 - 1) \cdot \left[(n_{1m} - 1)^2 + \frac{\chi_n r_1^2}{v^2} \right] A_{1m,-n_{1m}+1} + a_2 n_{1m} (-n_{1m} + 4 - q) A_{1m,-n_{1m}} = 0,$$

$$a_2 \left[(3 - n_{1m})(-n_{1m} + 6 - q) + \frac{\chi_n r_1^2}{v^2} \right] A_{1m,-n_{1m}+3} - (a_2 - 1) \left[(n_{1m} - 2)^2 + \frac{\chi_n r_1^2}{v^2} \right] A_{1m,-n_{1m}+2} - a_2 (-n_{1m} + 1)(-n_{1m} + 5 - q) A_{1m,-n_{1m}+1} + (a_2 - 1) n_{1m} (-n_{1m} + 1) A_{1m,-n_{1m}} = 0,$$

$$a_2 \left[(4 - q) + \frac{\chi_n r_1^2}{v^2} \right] A_{1m,1} - (a_2 - 1) \frac{\chi_n r_1^2}{v^2} A_{1m,0} + a_2 (3 - q) A_{1m,-1} + 12(a_2 - 1) A_{1m,-2} = 0,$$

$$a_2 \left[2(5 - q) + \frac{\chi_n r_1^2}{v^2} \right] A_{1m,2} - (a_2 - 1) \left(1 + \frac{\chi_n r_1^2}{v^2} \right) A_{1m,1} = 0$$

$$a_2 \left[3(6 - q) + \frac{\chi_n r_1^2}{v^2} \right] A_{1m,3} - (a_2 - 1) \left(4 + \frac{\chi_n r_1^2}{v^2} \right) A_{1m,2} - a_2 (5 - q) A_{1m,1} = 0.$$

Coefficienții $A_{1m, -s_{1m}}$ sînt arbitrari și reprezintă constantele de integrare. În acest caz însă, este necesar ca în prima ecuație (18) coeficientul lui $A_{1m, -s_{1m}}$ să fie nul ceea ce determină valorile lui χ_m în funcție de n_{1m} arbitrar ales

$$\chi_m = n_{1m} (-n_{1m} + 3 - g) \frac{v^2}{r_1^2} \quad (19)$$

Astfel pentru $n_{1m} > 3 - g$, $\chi_m < 0$, iar soluția f_{2m} (14) va cuprinde funcții trigonometrice în locul acelor hiperbolice.

Pentru a studia convergența soluției se va considera $n \rightarrow \infty$; ecuația (17) devine

$$A_{1m, n+1} - \left(1 - \frac{1}{\alpha_g}\right) (A_{1m, n} - A_{1m, n-1}) - A_{1m, n-1} = 0. \quad (20)$$

Soluția acestei ecuații cu diferențe va fi, notînd prin $\lambda_1, \lambda_2, \lambda_3$ trei constante arbitrare

$$(A_{1m, n})_{n \rightarrow \infty} = \lambda_1 \left(1 - \frac{1}{\alpha_g}\right)^n + \lambda_2 + (-1)^n \lambda_3. \quad (21)$$

Raportul a doi termeni consecutivi ai soluției (16) pentru valori mari ale lui n și restul R al sumei începînd de la termenul $A_{1m, n}$ va fi, dacă se consideră $\lambda_2 = \lambda_3 = 0$

$$\left(\frac{A_{1m, n+1}}{A_{1m, n}}\right)_{n \rightarrow \infty} \frac{1}{\text{ch } v\theta} = \frac{1 - \frac{1}{\alpha_g}}{\text{ch } v\theta}; \quad R = \frac{A_{1m, n}}{1 - \frac{1}{\alpha_g}}; \quad R_{2m} = \alpha_g \cdot A_{1m, n} \quad (22)$$

Se vede astfel că soluția (16) este totdeauna convergentă, dacă n_1 este finit, iar pentru $n \rightarrow \infty$, $R \rightarrow 0$.

Soluția generală a ecuației (1) se poate scrie astfel [1]

$$p = p_0 - p^* + \alpha x_2 = \frac{A_0 \mu_1 r_1}{\delta_1^2} (I_1 + C_1 I_2) - \sum_{m=1}^{\infty} [(A_{2m} \text{sh } \sqrt{\chi_m} x_2 + B_{2m} \text{ch } \sqrt{\chi_m} x_2) \cdot \sum_{n=-n_{2m}}^{\infty} \frac{A_{1m, n}}{\text{ch}^n v\theta} + \alpha x_2 + C_2] \quad (23)$$

După cum s-a arătat, toți coeficienții și constantele acestei soluții pot fi funcții de timp, în cazul cînd forțele exterioare sau vitezele variază. Soluția cuprinde $3m + 3$ constante arbitrare $A_{1m, -s_{1m}}$, A_{2m} , B_{2m} , C_1 , C_2 și α , cu ajutorul cărora se pot îndeplini orice condiții pe frontiere, într-un număr oricît de mare de puncte. Dacă axele $O x_1, x_2$ se află într-un plan

situat la distanțele $-b_1$ și $+b_2$ de la capetele suprafeței de lărgime cea mai mică $b = b_1 + b_2$, (22) se poate simplifica din cauza simetriei mișcării față de planul median. Cum, pentru $\lambda = \frac{b}{2r_1} \rightarrow \infty$, $p \rightarrow p_0$, iar suma din (22) trebuie să se anuleze, se va pune $\frac{A_{2m}}{\text{ch } \sqrt{\chi_m} \frac{b_1 - b_2}{2}} = -\frac{\alpha_{2m}}{\text{ch } \sqrt{|\chi_m|} r_1 \lambda}$.

Astfel rezultă

$$p = \frac{A_0 \mu_1 r_1}{\delta_1^2} (I_1 + C_1 I_2) - \sum_{m=1}^{\infty} \frac{\alpha_{2m}}{\text{ch } \sqrt{|\chi_m|} r_1 \lambda} \left(\frac{A_{1m, n+1}}{1 - \frac{1}{\alpha_g}} + \sum_{n=-n_{1m}}^{\infty} \frac{A_{1m, n}}{\text{ch}^n v\theta} \right) \times \text{ch } \sqrt{\chi_m} \left(x_2 + \frac{b_1 - b_2}{2} \right) + C_2 \quad (24)$$

Condițiile la limită $p = p_0$ pentru $x_2 = -b_1$ și $x_2 = b_2$ dau apoi

$$\frac{A_0 \mu_1 r_1}{\delta_1^2} (I_1 + C_1 I_2) + C_2 = \sum_{m=1}^{\infty} \alpha_{2m} \frac{\text{ch } \sqrt{\chi_m} \frac{b}{2}}{\text{ch } \sqrt{|\chi_m|} r_1 \lambda} \left(\frac{A_{1m, n+1}}{1 - \frac{1}{\alpha_g}} + \sum_{n=-n_{1m}}^{\infty} \frac{A_{1m, n}}{\text{ch}^n v\theta} \right) + p_0 \quad (25)$$

Se remarcă astfel că prima fracție din membrul al doilea este egală cu unitatea pentru $\chi_m > 0$, iar pentru $\chi_m < 0$ la numărul apare cos în loc de ch, ca și în formula (24). Deoarece α_{2m} este un factor real de amplificarea pentru $A_{1m, n}$, care la rîndul lor sînt funcții liniare de ajutorul cărora urmează că în total rămîn $m + 2$ constante distincte cu ajutorul cărora se pot îndeplini condițiile (25) și se poate impune, în plus, ca presiunile să aibă valori prescrise într-o serie de puncte arbitrare. Aceste puncte pot fi alese în secțiunea inițială $\theta = 0$, unde, datorită simetriei față de planul median, se obțin în realitate un număr dublu de puncte corespunzătoare legii prescrise de distribuție a presiunilor, sau în genere ele se pot găsi pe o curbă dată, cu presiuni cunoscute în fiecare punct.

Se observă că o aproximare foarte bună a lui δ se obține dacă se consideră expresia cunoscută pentru suprafețele cilindrice cu joc radial, pusă însă sub o formă mai generală pentru a ține seama de erorile ce ar apare datorită mărimii neobișnuite a acestui joc (fig. 2)

$$\delta = \delta_2 [1 + \bar{\alpha}_2 (1 - \cos v\theta)]. \quad (26)$$

Punind apoi $\Delta = (1 + \bar{a}_s) \delta_s$, $\alpha = \frac{\bar{a}_s}{1 + \bar{a}_s}$ și făcînd substituția $\theta = \pi - \bar{\nu}\theta$, se ajunge la problema lubrificației suprafețelor cilindrice cu alunecare și cu joc radial, pentru care însă viteza relativă echivalentă de alunecare este dată de paranteza mare a expresiei (7). Toate rezultatele găsite cu această ocazie (1) pot fi apoi aplicate direct la cazul rostogolirii. Se remarcă totuși că soluția aceasta are o convergență sensibil mai redusă decît (24), deși este asemănătoare ca structură. În adevăr, pentru $n \rightarrow \infty$ raportul a doi coeficienți consecutivi pentru dezvoltările în $\sin n\theta$ și $\cos n\theta$ cu ajutorul cărora se construiește soluția în acest caz, este

$$\left(\frac{A_{1,m,n+1}}{A_{1,m,n}} \right)_{n \rightarrow \infty} = 1 + \frac{1}{\bar{a}_s} - \sqrt{\frac{1}{\bar{a}_s} \left(2 + \frac{1}{\bar{a}_s} \right)}, \quad (27)$$

iar pentru exemplul din figura 2 $\bar{a}_s = 30\ 273$, față de $\bar{a}_s = 1\ 047$ din formula (22).

În cele precedente s-a ajuns la o rezolvare a problemei presupunînd că unghiul Θ (fig. 1) are valori foarte mari față de majoritatea cazurilor practice. Dacă se admite că Θ , θ_1 , θ_2 sînt mici, se poate aproxima grosimea peliculei de fluid cu ajutorul formulei

$$\delta = \delta_s e^{-\bar{\nu}\theta^2} \quad (28)$$

În figura 3, s-a reprezentat variația lui δ dată de formula (28) față de aceea exactă, într-un caz mai defavorabil, adică pentru un unghi la centru destul de mare ($\Theta \sim 40^\circ$) al zonei fluide portante. La valori Θ mai reduse, aproximația se îmbunătățește; de asemenea relația (28) poate reprezenta mai bine cazul cînd r_1 și r_2 sînt de semn contrar (ambele suprafețe convexe).

Această expresie are de altfel avantajul de a ține seama într-o măsură oarecare de deformațiile care intervin în zona de contact și care sînt de același sens cu abaterile pe care (28) le dă față de suprafețele perfect circulare. Soluția p_∞ (11) are aceeași expresie, I_1 și I_2 pot fi date de (12) sau, dacă se introduce δ din (28), rezultă, notînd cu Φ funcția erorilor,

$$\left. \begin{aligned} I_{1,4-0} &= \int_0^\theta \frac{d\theta}{\delta^2} = \frac{\sqrt{\pi}}{2\sqrt{3}\bar{\nu}^{\frac{1}{2}} \delta_s^2} \Phi(\sqrt{3\bar{\nu}}\theta), \\ I_{2,4-0} &= I_{1,4-1} = \frac{\sqrt{\pi}}{2\sqrt{2}\bar{\nu}^{\frac{1}{2}} \delta_s^2} \Phi(\sqrt{2\bar{\nu}}\theta), \\ I_{2,4-1} &= \frac{\sqrt{\pi}}{2\sqrt{\bar{\nu}} \delta_s} \Phi(\sqrt{\bar{\nu}}\theta). \end{aligned} \right\} \quad (29)$$

Ecuția (15) se scrie apoi

$$\frac{d^2 I_{1m}}{d\theta^2} + 2(3-q)\bar{\nu}\theta \frac{dI_{1m}}{d\theta} + r_1^2 \chi_m I_{1m} = 0. \quad (30)$$

Făcînd substituțiile [2]

$$\theta = \frac{\xi}{2\sqrt{3(3-q)\bar{\nu}}}; \quad I_{1m} = u e^{-\frac{1}{2}\sqrt{\frac{3-q}{3}}\bar{\nu}\xi^2} \quad (31)$$

ecuția (30) devine

$$4 \frac{d^2 u}{d\xi^2} = \left\{ \xi^2 - \sqrt{\frac{4}{3(3-q)\bar{\nu}}} [\chi_m r_1^2 - (3-q)\bar{\nu}] \right\} u. \quad (32)$$

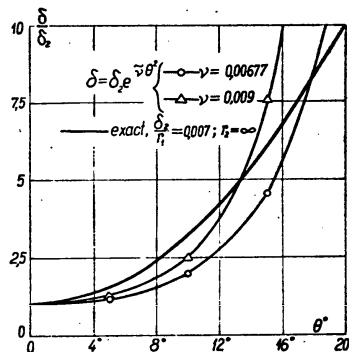


Fig. 3

Fig

$$x = \frac{2}{\sqrt{3(3-q)\bar{\nu}}} [\chi_m r_1^2 - (3-q)\bar{\nu}] - 1 = 4m + 1 \text{ sau } 2m \quad (33)$$

În care m este un număr întreg, pozitiv. Soluția u se exprimă în acest caz cu ajutorul polinoamelor lui Hermite, $H_m(\xi)$, sau, trecînd din nou

la variabilele f_{1m} și θ , se obține

$$f_{1m} = 2^{-\frac{m}{2}} e^{-\frac{1}{2}(m-1)\sqrt{1-\epsilon^2}} H_m(\sqrt{5(3-g)\sqrt{\theta}}) \text{ pentru } \chi = 2m+1$$

$$f_{1m} = (-1)^m e^{-\frac{m-1}{2}\sqrt{1-\epsilon^2}} H_m(\sqrt{20(3-g)\sqrt{\theta}}), \quad \chi = 2m$$

$$H_m(\xi) = (-1)^m e^{-\frac{\xi^2}{2}} \frac{d^m}{d\xi^m} e^{-\xi^2}$$

În fine, din (33) se poate deduce imediat χ_m , dînd diferite valori lui m . Soluțiile (34) sînt particulare, totuși soluția p se poate construi cu ajutorul acestora. Ea are forma (23), unde suma în raport cu n din paranteza mare trebuie înlocuită prin expresiile (34). Apar astfel $2m+3$ constante de integrare cu ajutorul cărora se pot pune orice condiții pentru presiuni pe frontiere. Dacă, în afară de capetele rolei, presiunile au valorile p_0 la unghiurile θ_1 și $-\theta_2$, se vor determina mai întîi constantele C_1, C_2 punînd condiții corespunzătoare pentru p_0 .

$$p_0(\theta_1) = p_0(-\theta_2) = p_0 \quad (35)$$

Condițiile de tipul (25) se scriu apoi

$$\frac{A_0 \mu_1 r_1}{\delta_1} (I_1 + C_1 I_2) + C_2 = \sum_{n=1}^{\infty} \alpha_{2n} f_{1n} + p_0 \quad (36)$$

din această relație, dezvoltînd în serii de același fel p_0 ca și f_{1n} se deduc valorile α_{2n} , iar p se va scrie, deoarece χ_m este totdeauna pozitiv,

$$p = \sum_{n=1}^{\infty} \left(1 - \frac{\text{ch} \sqrt{\chi_m} (x_2 + \frac{b_2 - b_1}{2})}{\text{ch} \sqrt{\chi_m} r_1 \lambda} \right) \alpha_{2n} f_{1n} + p_0 \quad (37)$$

În practică, este suficient pentru calcule să se considere un număr finit, m , de soluții și, scriînd că relația (36) este verificată într-un număr egal de puncte (θ), se pot deduce coeficienții α_{2n} , fără alte dezvoltări. Evident că precizia calculelor crește o dată cu m .

Primită la redacție la 28 iunie 1957.

СМАЗКА ЦИЛИНДРИЧЕСКИХ ПОВЕРХНОСТЕЙ ПРИ ДВИЖЕНИИ КАЧЕНИЯ И СКОЛЬЖЕНИЯ

(КРАТКОЕ СОДЕРЖАНИЕ)

Рассматривается тонкослойное течение вязкой жидкости между двумя цилиндрическими поверхностями с относительным движением качения и скольжения. Путем некоторых сокращений в правой части дифференциального уравнения давлений и аппроксимации выражения

толщины жидкого слоя при помощи гиперболических функций получается решение трехмерного движения и соответственно величина давления в каждой точке.

Можно также рассматривать показательные выражение для той же толщины при небольших центральных углах несущей зоны, при твердых поверхностях с радиусом кривизны противоположного знака или при учете местных деформаций. В этих случаях решение можно представить в простом виде при помощи многочленов Эрмита.

LUBRIFICATION DES SURFACES CYLINDRIQUES A MOUVEMENT DE ROULEMENT ET DE GLISSEMENT

(RESUME)

On envisage le mouvement en couches minces d'un fluide visqueux, limité par des parois ayant un mouvement relatif combiné de roulement et de glissement. En introduisant quelques simplifications dans le deuxième membre de l'équation différentielle des pressions et en approximant l'épaisseur de la couche fluide, au moyen de fonctions hyperboliques, on obtient la solution générale du mouvement, c'est-à-dire la valeur des pressions en tout point.

Si l'angle total, au centre de la zone portante est réduit, ou bien pour les surfaces solides dont les rayons de courbure sont de signes contraires ou encore si l'on tient compte des déformations élastiques locales, on peut admettre une expression exponentielle de la distance entre les deux surfaces. Dans ce cas, la solution générale peut être exprimée simplement au moyen des polynômes d'Hermite.

BIBLIOGRAFIE

1. N. Tipoi, O metodă generală pentru studiul mișcării în pelicula de lubrifiant dintre două suprafețe de dimensiuni finite. Studii și cercetări de mecanică și metalurgie, t. II, 1951, p. 27.
2. E. Kamke, Spravočnik po običnoennim diferencialnim uračeniam. Moscova, 1951.

Tipei, N. 7341 Gro
 Consideratii asupra calculului lagarelor prin alunecare
 Buletin stiintific - Sectiunea de stiinte tehnice si chimice, pp. 1-10
 Tomul IV, nr. 3-4, 1952

BULETIN STIINTIFIC
 SECTIUNEA DE STIINTE TEHNICE SI CHIMICE
 Tomul IV, Nr. 3-4, 1952

W. A. GROSS
 282-17

CONSIDERAȚII ASUPRA CALCULULUI LAGARELOR
 PRIN ALUNECARE

de
 N. TIPEI

Comunicare prezentată de Academician E. CARAFOLI, în sedința din 10 Martie 1948

Într-o lucrare anterioară [1], s'a stabilit repartiția de presiuni în interiorul unui lagăr prin alunecare. Formulele respective se pot aplica pentru diferite legi de variație a viscozității cu temperatura și în condiții la limită deosebite. Pentru majoritatea lagărelor, se poate admite că viscozitatea variază liniar cu grosimea stratului de ulei și că presiunile se anulează pe direcțiunile axului care unește liniile centrelor. Ultima condiție este îndeplinită destul de bine de palierule cu ungere prin inel, sau cu alimentare sub o presiune moderată în zona divergentă sau de grosime maximă a peliculei de ulei. Fie μ_0 , viscozitatea la intrare, V viteza periferică a fusului și r raza sa, Δ jocul radial, λ lățimea lagărului, $\lambda = \frac{b}{2r}$ alungirea acestuia b distanța dintre centrul fusului și al cuzinetului, $\epsilon = \frac{c}{\Delta}$ excentricitatea relativă, θ unghiul dintre linia centrelor și raza care trece printr'un punct oarecare și z distanța de la mijlocul palierului. Presiunea p într'un punct pe fus, este, notând cu p_0 presiunea în mediul înconjurător (atmosferică)

$$p = p_0 + \frac{6\mu_0 V r}{\Delta^3} \frac{\epsilon}{1 + \epsilon} \left(1 - \frac{\epsilon h}{r} \frac{\sqrt{p_{0A}}}{\epsilon h \lambda} \right) \frac{\sin \theta + \epsilon \sin 2\theta}{(1 + \epsilon \cos \theta)^2} \quad (1)$$

unde

$$p_{0A} = 0,3312 + 0,242 \epsilon \quad (2)$$

$$\bar{z} = 0,0157 + 0,0627 \epsilon - \frac{1 - \frac{1}{\epsilon h \lambda}}{\epsilon h \lambda} (11,34 - 9,6 \epsilon) (0,0157 + 0,127 \epsilon) \quad (3)$$

7341 Gro

Tipul, N.
Consideratii asupra calculului lagarelor prin alunecare
Buletin stiintific - Sectiunea de stiinta tehnica si chimica, pp. 1-10
Tomul IV, nr. 3-a, 1952

Formula (1) se aplica pentru $0 < \beta < \pi$, iar pentru $\pi < \beta < 2\pi$, $p = -p_0$. Componentele rezultantei presiunilor asupra fusului vor fi, dacă se pune $\psi = \frac{\beta}{2}$ unghi relativ:

$$F_x = \int_0^{\psi} \int_0^{2\pi} (p - p_0) r \sin \theta d\theta d\psi \quad (4)$$

$$= \frac{6p_0 b^2}{\sqrt{a^2 - b^2}} \left[\frac{1}{2} \frac{1 + \sin 2\psi}{1 + \sin \psi} + 2\psi \left(\frac{1}{1 + \sin \psi} - \frac{1}{2} \right) \right] \frac{6p_0 b^2}{\sqrt{a^2 - b^2}}$$

după normala la linia centriei și

$$F_y = \int_0^{\psi} \int_0^{2\pi} (p - p_0) r \cos \theta d\theta d\psi$$

$$= \frac{6p_0 b^2}{\sqrt{a^2 - b^2}} \left[\frac{1}{2} \frac{1 + \sin 2\psi}{1 + \sin \psi} - 2\psi \left(\frac{1}{1 + \sin \psi} - \frac{1}{2} \right) \right] \frac{6p_0 b^2}{\sqrt{a^2 - b^2}} \quad (5)$$

după axa de simetrie. Rezultanta este

$$F = \sqrt{F_x^2 + F_y^2} = \frac{6p_0 b^2}{\sqrt{a^2 - b^2}} \sqrt{C_1^2 + C_2^2} \quad (6)$$

și face cu linia centriei fusului și axa de simetrie, unghiul α^* :

$$\tan \alpha^* = \frac{C_2}{C_1} \quad (7)$$

În schimb, se consideră coeficientul de încălzire al peretelui

$$\zeta = \frac{F \sqrt{a^2 - b^2}}{2p_0 a b} = \frac{\sqrt{C_1^2 + C_2^2}}{1 + \sin \psi} \quad (8)$$

unde se vede viteza angustării a fusului. În figura 1 s'a trasat variația coeficientului ζ în funcție de ψ , cu diferite valori λ cu parametrii. În figura 1 sunt reprezentate și diagramele de rezistență în ipoteza că vitezitatea este constantă în toate punctele, și anume după formula dată în [1] care coincide cu celelele în toate punctele, și anume după formula lui Cosserat și [2] și cele ale efectului și de altă natură, cât și după formula lui Cosserat și [2] și cele ale lui Lamovici, citate în [2], substituind $\lambda = \lambda_0$. Cărbule cu p constantă dau în aproape toate cazurile valori mai mari ale lui ζ decât aceea în care s'a considerat și variația vitezității de-a lungul filuzului de alui. În realitate, coeficientul variației vitezității pentru aceeași raportându-se nu la valoarea p_0 , în sine, ci la

o valoare medie p_m (9); înmulțind valorile ζ de pe curbele cu p_m constant cu raportul $\frac{p_m}{p_0}$ se găsește că diferențele nu sunt însemnate (11).

11. Dacă este dată valoarea presiunii minime p_m a peliculei de lubrifiant, apare natural să se aleagă un alt coeficient de încălzire

$$\zeta = \frac{F \sqrt{a^2 - b^2}}{2p_m a b} = \lambda (1 + \sin \psi) \quad (9)$$

o căruia variație cu ψ este dată de diagramele din figura 2, în care s'a trasat din nou cu aceeași scară și aceeași notă de încălzire, pentru lagărele de rază și presiuni minime p_m diferite de la p_0 la 0 și $0,5$, aproape independent de alunecarea alungă.

Măsuratul de frecare asupra fusului se deduce ușor din formula

$$M = r \int_0^{2\pi} p \sin \theta d\theta \quad (10)$$

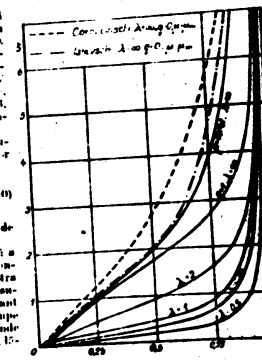
o fiind suprafața muntă de fluid. Pe pozițiile divergență a peliculei, presiunea este constantă $p = p_m$. După a pătrunde în zona de alunecare, în imediata apropiere a filuzului de alunecare, se poate presupune că presiunea este egală cu p_m și că variația este după legea

$$p = p_m \frac{a}{r} \quad (11)$$

În realitate, această lege nu se aplică începând chiar de la poziția minimă ($\theta = \pi$), ci dintr-un unghi apropiat, $\theta = \pi + \delta$, unde $\delta \ll \pi$, ceea ce pentru cele calculată cu (11).

Măsuratul total de frecare asupra fusului este

$$M = \frac{7p_0 \sqrt{a^2 - b^2}}{\lambda (1 + \sin \psi)} \left(1 + \sqrt{\frac{1 - \sin \psi}{1 + \sin \psi}} \right) \quad (12)$$



N. TIPSEI

$$+3 \left(1 - \frac{\text{th} \lambda \sqrt{\beta_{1a}}}{\lambda \sqrt{\beta_{1a}}} \right) \left[\frac{1}{\sqrt{1-a^2}} \left(2a \left(a - \frac{2}{a} \right) + 1 \right) - 1 - \frac{4a}{a} \right] \quad (12)$$

$$M = \frac{\pi \mu_1 \lambda b r}{\psi} C_{20} \quad (13)$$

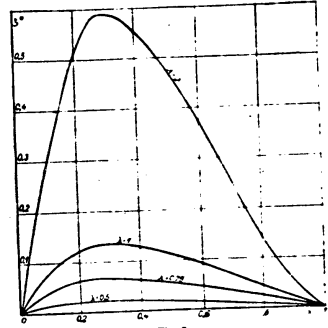


Fig. 3

Momentul de frecare lucrând asupra cizmetului rezultă de asemenea

$$M_0 = r^2 \int_0^{\lambda} \mu \left(\frac{\partial \sigma}{\partial \rho} \right)_{\rho=a} d\rho =$$

$$= - \frac{\pi \mu_1 \lambda b r^2}{\Delta(1-a)} \left(1 - \sqrt{\frac{1-a}{1+a}} \right) \quad (14)$$

$$- 6 \left(1 - \frac{\text{th} \lambda \sqrt{\beta_{1a}}}{\lambda \sqrt{\beta_{1a}}} \right) \left[\frac{1}{\sqrt{1-a^2}} \left(2a \left(a - \frac{2}{a} \right) + 1 \right) - 1 - \frac{4a}{a} \right]$$

respectiv

$$M_0 = \frac{\pi \mu_1 \lambda b r}{\psi} C_{20} \quad (15)$$

CALCULUL LAGARELOR PRIN ALUNECARE

Dacă alunecarea se face în zona divergentă a peliculei, sau la sfârșitul acesteia (0 = 0) dar sub presiune, se poate considera $k_0 = b = \text{constant}$ și rezultă, pentru acest caz:

$$C_{20} = \frac{1}{1-a} \left[2 + 3 \left(1 - \frac{\text{th} \lambda \sqrt{\beta_{1a}}}{\lambda \sqrt{\beta_{1a}}} \right) \left[\frac{1}{\sqrt{1-a^2}} \left(2a \left(a - \frac{2}{a} \right) + 1 \right) - 1 - \frac{4a}{a} \right] \right] \quad (16)$$

$$C_{20}' = \frac{1}{1-a} \left[2 - 3 \left(1 - \frac{\text{th} \lambda \sqrt{\beta_{1a}}}{\lambda \sqrt{\beta_{1a}}} \right) \left[\frac{1}{\sqrt{1-a^2}} \left(2a \left(a - \frac{2}{a} \right) + 1 \right) - 1 - \frac{4a}{a} \right] \right] \quad (17)$$

Cu și pentru forțe, se consideră ca dată, în cazul proiectării unui lagăr valoarea k_0 , iar coeficientul de moment va fi

$$k_m = \frac{6M}{\pi F b_0} = \frac{3C_{20}}{2(1-a)} \quad (18)$$

S-au trasat de asemenea în figurile 3 și 4 curbele $k_m = f(a)$ cu λ ca parametru, utilizându-se consecutiv pentru C_{20} expresiile (14) sau (16). Din figurile 3 și 4 rezultă că având F, b_0 date, există la fiecare alungire o excentricitate optimă a^* , pentru care cuplul de frecare este minim și, ca urmare, și căldura dezvoltată în palier. Această excentricitate optimă crește când alungirea scade, potrivit curbelor indicate pe diagrame (fig. 3 și 4) care pot fi reprezentate exact printr-o relație de forma

$$\lambda = g_1 + g_2 a^* - \frac{g_3}{a^* - a_m} \quad (19)$$

în care, pentru b_0 , variind după (11):

$$g_1 = 1,439; \quad g_2 = -1,434; \quad g_3 = 0,1909; \quad a_m^* = 0,457$$

sau, în cazul $b_0 = b = \text{constant}$,

$$g_1 = 1,429; \quad g_2 = -1,31; \quad g_3 = 0,1409; \quad a_m^* = 0,43$$

Diagramele (fig. 3 și 4) arată apoi că pierderile prin frecare cresc mult când alungirea scade, iar pentru a reduce la minimum căldura dezvoltată este necesar, b_0 fiind dat, să se măsoare puțin dintre fus și cizmet, pe măsură ce se reduce λ .

La fiecare punct al curbelor din figurile 3 și 4 corespunde, conform relației (9), o valoare a coeficientului de încălzire Z^* . Se pot trasa astfel pe aceeași diagrame (fig. 3 și 4) curbele $k_m = f(Z^*)$ având înăd ca parametru C_{20} în loc de λ ; acestea au fost reprezentate cu linii întrerupte pe figurile corespunzătoare. Ele prezintă un punct constant al razei fusului, spre deosebire de curbele cu $\lambda = \text{const.}$, de-a-lungul cărora, la aceeași sarcină corespunde o variație continuă a diametrului.

Pentru $a_m^* = 0,457$ (fig. 3) corespunzător pierderilor minime în lagărul de alungire infinită, se poate deduce apoi raportul $\frac{F}{F_m} = \frac{C_{20}}{C_{20}'}$ dintre sarcina te-

296 N. TIPEI

toată în lungire sarcinii și încălzirea suportată de ardeul lagăr, dar fără scăderea intervalului de ulei. Punctele calculate cu ajutorul formulei (20) (Fig. 5), corespund aproape exact cu curba continuă obținută pe cale experimentală, prin metoda analogiilor electrice.

De asemenea, s'a calculat coeficientul adimensional

$$\frac{J}{\psi} = \frac{M}{\Delta P} = \frac{\pi}{6} (1 - \alpha) k_0 \quad (20)$$

a cărui variație în funcție de α este reprezentată în figura 6, odată cu curbele calculate de Corvinschi [2] și de Iannovschi citate în [2], și cu

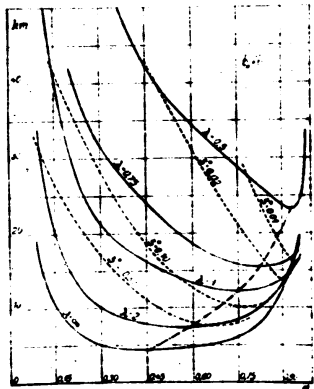


Fig. 6

rezultatele experimentale. Pe porțiunea $0.4 < \alpha < 1$, care intervine în practică, acordul între curbele teoretice este destul de bun, iar corespunderea dintre formula propusă (20) în ceea ce privește expresia (12) și datele raportate este satisfăcătoare în tot domeniul.

297

Debitul de ulei care scapă pe la capetele polimerului, produsă o parte din căldura dezvoltată prin frecare este

$$Q = 2 \int_0^L u \rho \omega dy = 2u \rho \omega \int_0^L \sqrt{h_0} \tanh \left(\frac{h}{\sqrt{h_0}} \right) dy \quad (21)$$

în care s'a notat cu u componenta axială a vitezei într'un punct.

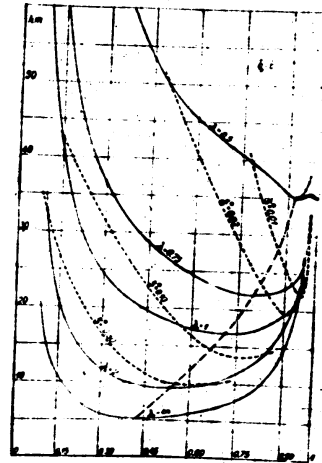
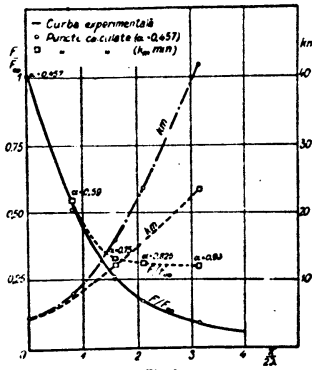


Fig. 7

Formula relație de mai sus, se pot deduce norme și metode de calcul mai exacte pentru lagăre, în diferite ipoteze. Se precizează în toate cazurile.

că se cunoaște sarcina totală F , viteza de rotație ω sau viteza periferică V , vâscozitatea η , a uleiului la temperatura normală de alimentare și k_m , grosimea minimă admisibilă a peliculei de ulei.
 1. Din diagramele din figurile 3 și 4 rezultă că este avantajos să se ia alungirea $\lambda = 1$ apoi a menține în palmă o temperatură cât mai scăzută. Avan-



tajul alungirilor mari crește puțin cu λ , când acesta depășește valoarea 2. Se pot admite deci $\lambda \sim 1.5$ și alege punctul de funcționare pe curba valorilor k_m minime. Rezultă astfel coeficientul de moment k_m și $a = e^*$. Din (8) și (9) se scote e^* și raza r a fusului, apoi jocul radial

$$\Delta = \frac{r_2}{1 - e} \quad (22)$$

Dacă lagărul lucrează mult în domeniul ungerii semifluide, prin printr și opriri repetate, Δ trebuie să fie cât mai mic posibil și în acest caz valorile a^* sunt prea mari pentru alungirile $\lambda > 1.5$. În acest caz, este avantajos să se adopte criteriile dela punctul următor.

Presiunea maximă corespunde unghiului θ_M dat de relația

$$\cos \theta_M = 1 - 2a \cdot \frac{1}{2} (1 - 2a \cos^2 \theta - 8(a^2 - 2a)^2) \quad (23)$$

și are valoarea

$$P_M = P_0 \cdot \frac{6 \eta V r \cdot a (1 - a)^2}{8 \epsilon^2 (1 - a)} \left(\frac{1}{\cos \lambda / 2} \right) \frac{\sin \theta_M - a \sin 2 \theta_M}{(1 - a \cos \theta_M)^2} \quad (24)$$

care trebuie să rămână sub limita elastică a materialului din care este construit cușinetul. În cazul contrariu, se vor alege alte valori pentru λ și a , modificându-se cel puțin unul din acești parametri.

Ținându-se seama de (21) și de condițiile de echilibru termic rezultă apoi temperaturile medie și maximă. În cazul când acestea sunt prea mari sau prea mici, trebuie variat în consecință k_m , alegându-se o altă alungire.

2. Asigurându-se o răcire forțată, se poate găsi diametrul minim necesar fusului. După cum s'a arătat, se va admite $a = 0.1$. Din (9) rezultă produsul $\lambda e^* = \frac{b^2}{2}$. Din (18)

sau din diagramele din figurile 3 și 4 se poate deduce k_m pentru diferite alungiri și excentricitatea a aleasă. Concluziunile asupra valorii lui λ sunt similare ca la punctul precedent și permit să se ia o valoare a alungirii, după care rezultă raza și toate celelalte elemente.

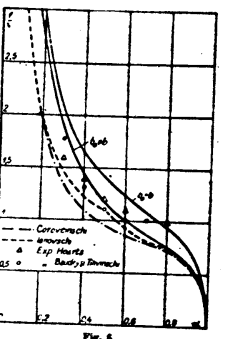
3. Din calculul de rezistență a fusului se poate impune o valoare pentru raza; r^* rezultă din (9) și se va admite pentru excentricitate

valoarea care face minim pe k_m (fig. 3 și 4) pentru e^* corespunzător. Din (18) se scote alungirea λ , sau se determină grafic și se continuă ca la punctul (1).

4. Pentru evitarea vibrațiilor sau pentru asigurarea paralelismului dintre fus și cușinet, se prescrie alungirea λ . Din (19) sau grafic, rezultă $a^* = a$, apoi e^* , r , etc.

5. Este important unorii să se realizeze o lungime minimă a arboreului. Aceasta variază după relația

$$b = \lambda \sqrt{\frac{8 F P_M}{\mu_0 \omega^2}} = k_1 \frac{\lambda}{\omega \sqrt{F}} \quad (25)$$



7341 Gro

Tipul, N.
Consideratii asupra calculului lagarelor prin alunecare
 Buletin stiintific - Societatea de stiinte tehnice si chimice, pp. 1-10
 Tomul IV, nr. 3-4, 1952

19

și de crește continuu odată cu alungirea. Se va alege deci o valoare λ cât mai mică, verificându-se temperaturile, deoarece pentru $\lambda < 0,7$ coeficientul k_m crește mult. Excentricitatea se alege de asemenea $\varepsilon = 0,3$ spre a obține ζ maxim.

6. Greutatea fusului și a întregului lagăr se poate admite că depinde de produsul $b^2 a$, care este minim pentru $\lambda = 0,3$ și alungirea dată de expresia

$$\frac{3 \text{th} \lambda \sqrt{B_{24}}}{\lambda \sqrt{B_{24}}} = 1 - \frac{3}{\text{ch}^2 \lambda \sqrt{B_{24}}} \quad (26)$$

sau $\lambda = 0,3$. Chiar dacă nu se admit, această valoare, este bine, dacă prevalează reducerea greutateii, să se ia $\lambda = 2$, având avantajul și al unui coeficient de moment redus. Plecând de la $\lambda = 0,5$ greutatea fusului scade la jumătate pentru $\lambda = 1$ și o treime pentru $\lambda = 2$.

7. Dacă posibilitățile de radiație a căldurii în exterior sunt reduse, această căldură trebuie evacuată prin uleiul care spală spațiul dintre fus și cuzinet și al cărui debit este Q , (21); acesta se mai poate scrie

$$Q = \frac{c_2 \sqrt{F}}{\mu_0 \omega} (1 - \varepsilon)^2 \frac{\sqrt{(1 + \varepsilon) B_{24}}}{\lambda \sqrt{C_2 + C_7}} \frac{\text{th}(\lambda \sqrt{B_{24}})}{\sqrt{B_{24}}} = c_2^2 \sqrt{\frac{F}{\mu_0}} C_9 \quad (27)$$

și se poate vedea că Q , crește când ε se mărește și λ scade, fiind de două ori mai mare pentru $\lambda = 0,8$ decât pentru $\lambda = 2$ și de 2,5 ori mai mare când $\lambda = 0,5$. În aceste cazuri este bine deci să se ia $\lambda > 0,75$. Sub această valoare, creșterea coeficientului k_m anulează avantajul unui debit mare de ulei.

8. Presiunea specifică medie maximă se obține pentru minimal suprafață și b , corespunzând valorii

$$b = \sqrt{\frac{F c_2}{\mu_0 \omega}} \frac{\lambda}{\sqrt{C_2}} \quad (28)$$

din care se deduce $\varepsilon = 0,3$ și $\lambda = 1,2$. Cu această alungire se obțin dimensiunile cele mai reduse ale lagărului; totuși, presiunile mai ridicate fac ca această valoare să nu fie recomandabilă pentru cazul funcționării frecvente în regim semilubrifiat (fusajii cu porniri și opriri dese). Este mai bine, în aceste condiții, să se ia $\lambda = 1$, asigurându-se o zonă mai mare de contact între suprafețe, în lipsa peliculei de ulei.

Din figura 5 se vede cum variază factorul de pierdere față de palețul fără scăpări laterale atunci când se aplică primul caz de calcul. Acest factor este mult mai ridicat (curba punctată) pentru alungirile mici, decât după normele obișnuite de calcul. Raza fusului rezultă de asemenea mai mare, ceea ce constituie un avantaj pentru evitarea vibrațiilor și a deformațiilor, iar căldura dezvoltată, direct proporțională cu k_m (curba punctată) se reduce mult față de normele obișnuite (curba plină).

Constantinescu, V.N. 7344 Gross
 Calculul lagarelor fara joc radial supuse la forte si viteze variabile
 Studii si cercetari de mecanica aplicata, Tomul VIII, nr. 3, 1957,
 pp. 1-16

STUDII ȘI CERCETĂRI DE MECANICĂ APLICATĂ
 Tomul VIII, nr. 3, 1957

UNGERE - FRECARE - UZURĂ

CALCULUL LAGĂRELOR FĂRĂ JOC RADIAL
 SUPUSE LA FORȚE ȘI VITEZE VARIABILE

DE
 V. N. CONSTANTINESCU

Într-o lucrare anterioară [1] s-a arătat că ecuația diferențială a distribuției presiunilor în filmul de lubrifianț dintr-un lagăr fără joc radial, pentru regimul nepermanent, este

$$\frac{\partial}{\partial \theta} \left(\frac{\delta^3}{\mu} \frac{\partial p}{\partial \theta} \right) + r^2 \frac{\partial}{\partial x} \left(\frac{\delta^3}{\mu} \frac{\partial p}{\partial x} \right) = 6r^2 [(\Omega + 2\dot{\varphi}) \frac{\partial \delta}{\partial \theta} + 2\dot{\delta}], \quad (1)$$

în care p este presiunea, δ grosimea stratului de lubrifianț,

$$\delta = e \cos \theta, \quad (2)$$

μ viscozitatea (presupusă că variază invers proporțional cu grosimea δ : $\mu = \mu_1 \frac{\delta_1}{\delta} = \frac{\mu_1}{\cos \theta}$, δ_1 fiind grosimea maximă δ), r raza fusului, Ω viteza unghiulară a fusului, e excentricitatea, iar φ (fig. 1) este unghiul dintre linia centrelor și o direcție fixă OX .

Soluția problemei se pune sub forma

$$p = \bar{p} + \bar{\bar{p}}. \quad (3)$$

Funcția \bar{p} va satisface ecuația diferențială

$$\frac{\partial}{\partial \theta} \left(\frac{\delta^3}{\mu} \frac{\partial \bar{p}}{\partial \theta} \right) + r^2 \frac{\partial}{\partial x} \left(\frac{\delta^3}{\mu} \frac{\partial \bar{p}}{\partial x} \right) = 6r^2 (\Omega + 2\dot{\varphi}) \frac{\partial \delta}{\partial \theta} \quad (4)$$

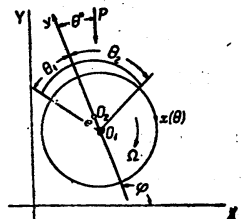


Fig. 1

și va avea aceeași expresie, ca și pentru cazul regimurilor permanente [2], dacă se consideră pentru \bar{p} aceleași condiții la limită ca și pentru funcția p ($\bar{p} = p_0$, presiunea din mediul înconjurător, la frontierele lagărului).

Funcția \bar{p} va satisface atunci ecuația diferențială

$$\frac{\partial}{\partial \theta} \left(\frac{\partial^2 \bar{p}}{\mu \partial \theta^2} \right) + r^2 \frac{\partial}{\partial r} \left(\frac{\partial^2 \bar{p}}{\mu \partial r^2} \right) = 12 r^2 \delta \quad (5)$$

și condițiile la limită $\bar{p} = 0$ pe frontierele lagărului.

În cazul problemei bi-dimensionale, \bar{p} este

$$\bar{p}_0 = \frac{12 \mu_0 r_0^2}{e^2} \left(\frac{1}{\cos \theta} + C_1 \operatorname{tg} \theta + C_2 \right) \quad (6)$$

În cazul problemei tridimensionale, considerind soluția dezvoltată în serie trigonometrică în raport cu θ , se obține [1]

$$\begin{aligned} \bar{p} = & \frac{24 \mu_0 r_0^2}{e^2 \cos \theta} \sum_{n=1}^{\infty} \left\{ \pm \frac{4n}{4n^2 - 1} \left[C_3 + \frac{2}{\pi} \sum_{m=1}^{\infty} \sum_{s=1}^{\infty} (-1)^{m+s} \frac{\sin(2m-1)\alpha_s \pi}{(2m-1)\alpha_s} \right] \times \right. \\ & \times \left[1 - \frac{\operatorname{ch} \sqrt{4n^2 - 1} \frac{z}{r}}{\operatorname{ch} \lambda \sqrt{4n^2 - 1}} \right] \sin 2n\theta - \\ & - \frac{1}{\pi} \sum_{s=1}^{\infty} \left[\sum_{m=1}^{\infty} (-1)^{m+s} \frac{2(2m-1)\alpha_s \sin(2m-1)\alpha_s \pi}{(2m-1)^2 \alpha_s^2 - n^2} \right] \times \\ & \times \left[\left[1 - \frac{\operatorname{ch} \sqrt{\frac{n}{\alpha_s} \left(\frac{n-2}{\alpha_s} \right) \frac{z}{r}}}{\operatorname{ch} \lambda \sqrt{\frac{n}{\alpha_s} \left(\frac{n-2}{\alpha_s} \right)}} \right] \cos \left(\frac{n-1}{\alpha_s} \right) \theta + \left[1 - \frac{\operatorname{ch} \sqrt{\frac{n}{\alpha_s} \left(\frac{n+2}{\alpha_s} \right) \frac{z}{r}}}{\operatorname{ch} \lambda \sqrt{\frac{n}{\alpha_s} \left(\frac{n+2}{\alpha_s} \right)}} \right] \cos \left(\frac{n+1}{\alpha_s} \right) \theta \right] - \\ & - \sum_{s=1}^{\infty} \frac{C_{12}}{\pi} \left[\sum_{m=1}^{\infty} (-1)^{m+s} \frac{\operatorname{sh} 2m \alpha_s \pi}{4m^2 \alpha_s^2 - n^2} \right] \times \\ & \times \left[\left[1 - \frac{\operatorname{ch} \sqrt{\frac{n}{\alpha_s} \left(\frac{n-2}{\alpha_s} \right) \frac{z}{r}}}{\operatorname{ch} \lambda \sqrt{\frac{n}{\alpha_s} \left(\frac{n-2}{\alpha_s} \right)}} \right] \sin \left(\frac{n-1}{\alpha_s} \right) \theta + \left[1 - \frac{\operatorname{ch} \sqrt{\frac{n}{\alpha_s} \left(\frac{n+2}{\alpha_s} \right) \frac{z}{r}}}{\operatorname{ch} \lambda \sqrt{\frac{n}{\alpha_s} \left(\frac{n+2}{\alpha_s} \right)}} \right] \sin \left(\frac{n+1}{\alpha_s} \right) \theta \right] \end{aligned} \quad (7)$$

în care α_s este un parametru arbitrar $\frac{1}{\alpha_s} < \sigma_s < 0,5$, $\lambda = \frac{b}{2r}$ alungirea lagărului, iar C_3 și C_4 constante arbitrare care se determină punând condițiile la limită pentru \bar{p} la $\theta = -\theta_0$, θ_0 (condițiile la limită pentru $s = \pm \frac{b}{2}$,

sint satisfăcute în mod automat). Semnul (\pm), afectat la unii din termeni, se ia (+) pentru $0 < \theta < \pi$ și (-) pentru $-\pi < \theta < 0$.

Relația (7), împreună cu expresia funcției \bar{p} [3] reprezintă soluția riguroasă a problemei, dar sub o formă greu utilizabilă în aplicații. Se pot aduce însă relația (7) simplificări asemănătoare cu cele operate asupra funcției p din cazul regimurilor de funcționare permanente [3].

Astfel, parantezele care depind numai de z din relația (7) sînt practic egale între ele pentru n suficient de mare și riguros egale cînd $n \rightarrow \infty$. Într-adevăr, considerînd aceste paranteze egale, se comite o eroare ce nu depășește 5% la $n = 3$; 1,8% la $n = 4$; 0,6% la $n = 5$; 0,3% la $n = 6$ etc. În consecință, acești termeni pot fi considerați egali între ei pentru $n > n_1$, cu $n_1 > 3$.

Dacă se consideră acești termeni ca fiind egali între ei chiar de la $n = 1$, atunci, dînd factor comun pe unul dintre ei, se obține o expresie ce se poate însuma (reprezentînd dezvoltarea în serie a lui \bar{p}_0). Corectînd apoi termenii cu $1 < n < n_1$ (scăzînd valorile admise și adăugînd pe cele reale) expresia (7) se poate scrie sub forma

$$\begin{aligned} \bar{p} = & \frac{12 \mu_0 r_0^2}{e^2} a(z) \left[\frac{1}{\cos \theta} + C_1 \operatorname{tg} \theta + C_2 \right] + \\ & + \frac{24 \mu_0 r_0^2}{e^2 \cos \theta} \sum_{n=1}^{\infty} \sum_{s=1}^{\infty} \left\{ \gamma_n \alpha_s(z) \sin 2n\theta - \frac{S_n}{\pi} [b_n(z) \cos \left(\frac{n-1}{\alpha_s} \right) \theta + \right. \\ & \left. + c_n(z) \cos \left(\frac{n+1}{\alpha_s} \right) \theta] - \frac{C_{12} S_n}{\pi} [b_n(z) \sin \left(\frac{n-1}{\alpha_s} \right) \theta + c_n(z) \sin \left(\frac{n+1}{\alpha_s} \right) \theta] \right\}, \end{aligned} \quad (8)$$

în care $a(z)$, $\alpha_s(z)$, $b_n(z)$, $c_n(z)$ sînt egale cu

$$\begin{aligned} a(z) = & 1 - \frac{\operatorname{ch} \sqrt{4n^2 - 1} \frac{z}{r}}{\operatorname{ch} \lambda \sqrt{4n^2 - 1}}, \quad \alpha_s(z) = \frac{\operatorname{ch} \sqrt{4n^2 - 1} \frac{z}{r}}{\operatorname{ch} \lambda \sqrt{4n^2 - 1}} - \frac{\operatorname{ch} \sqrt{4n^2 - 1} \frac{z}{r}}{\operatorname{ch} \lambda \sqrt{4n^2 - 1}}, \\ b_n(z) = & \frac{\operatorname{ch} \sqrt{4n^2 - 1} \frac{z}{r}}{\operatorname{ch} \lambda \sqrt{4n^2 - 1}} - \frac{\operatorname{ch} \sqrt{\frac{n}{\alpha_s} \left(\frac{n-2}{\alpha_s} \right) \frac{z}{r}}}{\operatorname{ch} \lambda \sqrt{\frac{n}{\alpha_s} \left(\frac{n-2}{\alpha_s} \right)}}, \\ c_n(z) = & \frac{\operatorname{ch} \sqrt{4n^2 - 1} \frac{z}{r}}{\operatorname{ch} \lambda \sqrt{4n^2 - 1}} - \frac{\operatorname{ch} \sqrt{\frac{n}{\alpha_s} \left(\frac{n+2}{\alpha_s} \right) \frac{z}{r}}}{\operatorname{ch} \lambda \sqrt{\frac{n}{\alpha_s} \left(\frac{n+2}{\alpha_s} \right)}} \end{aligned} \quad (9)$$

iar

$$\gamma_n = \pm \frac{4n}{4n^2 - 1} \left[C_3 + \frac{2}{\pi} S'' \right] \quad (10)$$

În aceste expresii sumele S_n, S'_n, S''_n sînt respectiv egale cu

$$\left. \begin{aligned} S_n &= \sum_{m=1}^n (-1)^{m+n} \frac{n \sin 2m \alpha_n \pi}{4m^2 \alpha_n^2 - n^2} \\ S'_n &= \sum_{m=1}^n (-1)^{m+n} \frac{2(2m-1) \alpha_n \sin(2m-1) \alpha_n \pi}{(2m-1)^2 \alpha_n^2 - n^2} \\ S''_n &= \sum_{m=1}^n (-1)^{m-1} \frac{\sin(2m-1) \alpha_n \pi}{(2m-1) \alpha_n} \end{aligned} \right\} \quad (11)$$

și care au respectiv valorile

$$\left. \begin{aligned} S_1 &= -1, & S'_1 &= +0,16 & \text{pentru } n &= 1 \\ S_2 &= 0,75, & S'_2 &= -0,175 & \text{pentru } n &= 2 \\ S_3 &= -0,4, & S'_3 &= -0,34 & \text{pentru } n &= 3 \text{ etc.} \end{aligned} \right\} \quad (12)$$

și $S''_n = 3,35$

pentru

$$\alpha_n = \alpha_n = \alpha_n = 0,45, \quad (13)$$

lucru posibil întotdeauna, deoarece $\alpha_n = 0,45$ corespunde unui maxim de 81° , limită care în general nu trebuie depășită pentru asigurarea unei funcționări în regim hidrodinamic [3].

Pînă la limitarea parametrilor α_n la unul singur, rămîn ca nedeterminate numai două constante arbitrare C_2 și C_3 , $C_1 = C_1 = C_1$. În consecință, ca și pentru cazul regimurilor permanente, condițiile la limită pe frontierele $\theta = -\theta_0$ și $\theta = \theta_0$ nu vor fi riguros îndeplinite, ci numai aproximativ. Rezultate bune se vor obține impunînd aceste condiții nu la mijlocul lagărului ci pentru

$$\theta = -\theta_0, \quad \theta = \theta_0 \quad \text{și } z = 0,2b, \quad \bar{p} = 0. \quad (14)$$

În condițiile arătate mai sus, distribuția presiunilor $\bar{p}(\theta)$ se scrie în mod explicit sub următoarea formă:

$$\begin{aligned} \bar{p} &= \frac{12\mu_r \omega^2}{c^2} \left(1 - \frac{\text{ch } 5,916 \frac{z}{\lambda}}{\text{ch } 5,916 \lambda} \right) \left(\frac{1}{\cos \theta} + C_1 \text{tg} \theta + C_2 \right) + \\ &+ \frac{24\mu_r \omega^2}{c^2 \cos \theta} \left\{ \pm \left(\frac{\text{ch } 5,916 \frac{z}{r}}{\text{ch } 5,916 \lambda} - \frac{\text{ch } 1,732 \frac{z}{r}}{\text{ch } 1,732 \lambda} \right) \frac{4}{3} C_2^2 \sin 2\theta \pm \right. \\ &\pm \left. \left(\frac{\text{ch } 5,916 \frac{z}{r}}{\text{ch } 5,916 \lambda} - \frac{\text{ch } 3,873 \frac{z}{r}}{\text{ch } 3,873 \lambda} \right) \frac{8}{15} C_2^2 \sin 4\theta + \right. \\ &+ \left. \frac{C_3}{\pi} \left[\left(\frac{\text{ch } 5,916 \frac{z}{r}}{\text{ch } 5,916 \lambda} - \frac{\text{ch } 0,703 \frac{z}{r}}{\text{ch } 0,703 \lambda} \right) \sin 1,222\theta + \right. \right. \end{aligned}$$

Constantinescu, V.N. 7344 Gross
Calculul lagărelor fara joc radial supuse la forte si viteze variabile
Studii și cercetari de mecanica aplicata, Tomul VIII, nr. 3, 1957,
pp. 1-16

$$\begin{aligned} &+ \left(\frac{\text{ch } 5,916 \frac{z}{r}}{\text{ch } 5,916 \lambda} - \frac{\text{ch } 3,063 \frac{z}{r}}{\text{ch } 3,063 \lambda} \right) \sin 3,222\theta \Big] - \\ &- 0,75 \frac{C_3}{\pi} \left[\left(\frac{\text{ch } 5,916 \frac{z}{r}}{\text{ch } 5,916 \lambda} - \frac{\text{ch } 3,296 \frac{z}{r}}{\text{ch } 3,296 \lambda} \right) \sin 3,444\theta + \right. \\ &+ \left. \left(\frac{\text{ch } 5,916 \frac{z}{r}}{\text{ch } 5,916 \lambda} - \frac{\text{ch } 5,352 \frac{z}{r}}{\text{ch } 5,352 \lambda} \right) \sin 5,444\theta \right] - \\ &- \frac{0,16}{\pi} \left[\left(\frac{\text{ch } 5,916 \frac{z}{r}}{\text{ch } 5,916 \lambda} - \frac{\text{ch } 0,703 \frac{z}{r}}{\text{ch } 0,703 \lambda} \right) \cos 1,222\theta + \right. \\ &+ \left. \left(\frac{\text{ch } 5,916 \frac{z}{r}}{\text{ch } 5,916 \lambda} - \frac{\text{ch } 3,063 \frac{z}{r}}{\text{ch } 3,063 \lambda} \right) \cos 3,222\theta \right] + \\ &+ \frac{0,175}{\pi} \left[\left(\frac{\text{ch } 5,916 \frac{z}{r}}{\text{ch } 5,916 \lambda} - \frac{\text{ch } 3,296 \frac{z}{r}}{\text{ch } 3,296 \lambda} \right) \cos 3,444\theta + \right. \\ &+ \left. \left(\frac{\text{ch } 5,916 \frac{z}{r}}{\text{ch } 5,916 \lambda} - \frac{\text{ch } 5,352 \frac{z}{r}}{\text{ch } 5,352 \lambda} \right) \cos 5,444\theta \right] \Big\}, \quad (15) \end{aligned}$$

în care s-a considerat $n_1 = 3$ și $C_1 + S''_n = C_1$, iar constantele C_1 și C_2 se determină cu ajutorul condițiilor la limită (14).

*

Cunoscînd repartiția presiunilor se poate calcula și rezultanta presiunilor ca și momentele de frecare pe fus și pe cuzinet, debitul de lubrifiant etc.

Astfel, alegeînd două axe x și y după linia centrelor și normala la aceasta (fig. 2) și notînd cu P rezultanta presiunilor, atunci

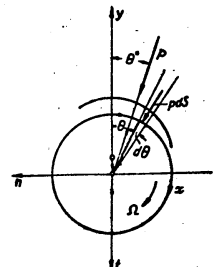
$$\bar{P}_x = \int_{-\theta_0}^{\theta_0} \int_{-\frac{b}{2}}^{\frac{b}{2}} \bar{p} \sin \theta r \, d\theta \, dz, \quad (16)$$

$$\bar{P}_y = \int_{-\theta_0}^{\theta_0} \int_{-\frac{b}{2}}^{\frac{b}{2}} \bar{p} \cos \theta r \, d\theta \, dz.$$

Fig. 2

Pentru calculul expresiilor (16) intervin integrale de forma

$$I_1 = \int_{-\theta_0}^{\theta_0} \sin \theta \text{tg} \theta \, d\theta, \quad I_2 = \int_{-\theta_0}^{\theta_0} \cos \theta \text{tg} \theta \, d\theta. \quad (17)$$



Prima din aceste integrale intervine și în calculul rezultantei presiunilor pentru regimurile permanente (cu forțe și viteze constante) [2]. Astfel, pentru $\operatorname{tg} \theta$ se poate întrebuința dezvoltarea aproximativă

$$\left. \begin{aligned} \operatorname{tg} \theta &= a + b\theta - \frac{1}{\theta - \frac{\pi}{2}}, \quad 0 < \theta < \frac{\pi}{2}, \\ \operatorname{tg} \theta &= -a + b\theta - \frac{1}{\theta - \frac{\pi}{2}}, \quad -\frac{\pi}{2} < \theta < 0, \end{aligned} \right\} (18)$$

cu

$$a = \frac{1}{2} \left(1 + \pi \frac{B_1}{21} \right) \frac{1}{1 - e^{-\pi B_1}}, \quad b = \frac{1}{2} - \frac{B_1}{21}, \quad B_1 = \frac{1}{6} \quad (19)$$

În acest mod [2]

$$\begin{aligned} I_a &= 2 \frac{\pi}{h} + \frac{h}{M} (\sin h \theta_2 + \sin h \theta_1) - \frac{1}{h} [(a + b \theta_2) \cos h \theta_2 + \\ &+ (a + b \theta_1) \cos h \theta_1] + \cosh \frac{\pi}{2} [-2 \operatorname{si} h \frac{\pi}{2} - \operatorname{si} h (\theta_2 - \frac{\pi}{2}) + \\ &+ \operatorname{si} h (\frac{\pi}{2} - \theta_1)] + \sinh \frac{\pi}{2} [2 \operatorname{ci} h \frac{\pi}{2} - \operatorname{ci} h (\theta_2 - \frac{\pi}{2}) - \operatorname{ci} h (\frac{\pi}{2} - \theta_1)]. \end{aligned} \quad (20)$$

De asemenea,

$$\int \cosh \theta \operatorname{tg} \theta d\theta = \frac{h}{M} \cosh \theta + \frac{1}{h} (a + b\theta) \sinh \theta + \operatorname{si} h \frac{\pi}{2} \operatorname{si} h (\theta - \frac{\pi}{2}) - \cosh \frac{\pi}{2} \operatorname{ci} h (\theta - \frac{\pi}{2}) \quad (21)$$

și astfel

$$\begin{aligned} I_a^* &= \frac{h}{M} (\cosh \theta_2 - \cosh \theta_1) + \frac{1}{h} [(a + b \theta_2) \sinh \theta_2 - \\ &- (a + b \theta_1) \sinh \theta_1] + \sinh \frac{\pi}{2} [-2 \operatorname{si} h \frac{\pi}{2} + \operatorname{si} h (\theta_2 - \frac{\pi}{2}) - \\ &- \operatorname{si} h (\frac{\pi}{2} - \theta_1)] - \cosh \frac{\pi}{2} [2 \operatorname{ci} h \frac{\pi}{2} + \operatorname{ci} h (\theta_2 - \frac{\pi}{2}) + \operatorname{ci} h (\frac{\pi}{2} - \theta_1)]. \end{aligned} \quad (22)$$

În care h are succesiv valorile $h = 1,222; 3,222; 3,444; 5,444$.

Dacă se mai notează

$$\left. \begin{aligned} \bar{C}_0 &= \frac{e^{\frac{\pi}{2}} \bar{F}_0}{12 \mu_0 r^2 c b}, \\ \bar{C}_1 &= \frac{e^{\frac{\pi}{2}} \bar{F}_1}{12 \mu_0 r^2 c b}, \end{aligned} \right\} (23)$$

coeficientul \bar{C}_0 rezultă egal cu

$$\begin{aligned} \bar{C}_0 &= \left(1 - \frac{\operatorname{th} 5,916 \lambda}{5,916 \lambda} \right) \left\{ \ln \cos \theta_2 - \ln \cos \theta_1 + C_1 \left[\ln \operatorname{tg} \left(\frac{\pi}{4} + \frac{\theta_1}{2} \right) - \ln \operatorname{tg} \left(\frac{\pi}{4} - \frac{\theta_1}{2} \right) \right] - \right. \\ &- (\sin \theta_2 + \sin \theta_1) - C_2 (\cos \theta_2 - \cos \theta_1) \left. \right\} + \frac{8}{3} C_2^* \left(\frac{\operatorname{th} 5,916 \lambda}{5,916 \lambda} - \frac{\operatorname{th} 1,732 \lambda}{1,732 \lambda} \right) (\theta_2 - \theta_1 + \\ &+ \frac{\sin 2\theta_1 - \sin 2\theta_2}{2}) + \frac{16}{5} C_2^* \left(\frac{\operatorname{th} 5,916 \lambda}{5,916 \lambda} - \frac{\operatorname{th} 3,873 \lambda}{3,873 \lambda} \right) (\theta_2 - \sin 2\theta_2 + \frac{\sin 4\theta_1}{4} - \\ &- \theta_1 + \sin 2\theta_1 - \frac{\sin 4\theta_1}{4}) + \frac{1}{\pi} \left(\frac{\operatorname{th} 5,916 \lambda}{5,916 \lambda} - \frac{\operatorname{th} 0,703 \lambda}{0,703 \lambda} \right) (2 C_1 I_{1,222}^* - 0,32 I_{1,222}^*) + \\ &+ \frac{1}{\pi} \left(\frac{\operatorname{th} 5,916 \lambda}{5,916 \lambda} - \frac{\operatorname{th} 3,063 \lambda}{3,063 \lambda} \right) (2 C_1 I_{3,222}^* - 0,32 I_{3,222}^*) - \frac{1}{\pi} \left(\frac{\operatorname{th} 5,916 \lambda}{5,916 \lambda} - \right. \\ &- \left. \frac{\operatorname{th} 3,296 \lambda}{3,296 \lambda} \right) (1,5 C_1 I_{3,444}^* - 0,35 I_{3,444}^*) - \\ &- \frac{1}{\pi} \left(\frac{\operatorname{th} 5,916 \lambda}{5,916 \lambda} - \frac{\operatorname{th} 5,352 \lambda}{5,352 \lambda} \right) (1,5 C_1 I_{5,444}^* - 0,35 I_{5,444}^*), \end{aligned} \quad (24)$$

iar coeficientul C_1

$$\begin{aligned} \bar{C}_1 &= \left(1 - \frac{\operatorname{th} 5,916 \lambda}{5,916 \lambda} \right) (\theta_2 + \theta_1 - C_1 (\cos \theta_2 - \cos \theta_1) + C_2 (\sin \theta_2 + \sin \theta_1)) + \\ &+ \frac{8}{3} C_2^* \left(\frac{\operatorname{th} 5,916 \lambda}{5,916 \lambda} - \frac{\operatorname{th} 1,732 \lambda}{1,732 \lambda} \right) (\sin \theta_2 + \sin \theta_1) + \frac{8}{30} C_2^* \left(\frac{\operatorname{th} 5,916 \lambda}{5,916 \lambda} - \right. \\ &- \left. \frac{\operatorname{th} 3,873 \lambda}{3,873 \lambda} \right) (2 - \cos 4\theta_1 - \cos 4\theta_2) + \frac{1}{1,222 \pi} \left(\frac{\operatorname{th} 5,916 \lambda}{5,916 \lambda} - \right. \\ &- \left. \frac{\operatorname{th} 0,703 \lambda}{0,703 \lambda} \right) [2 C_1 (\cos 1,222 \theta_1 - \\ &- \cos 1,222 \theta_2) - 0,32 (\sin 1,222 \theta_1 + \sin 1,222 \theta_2)] + \frac{1}{3,222 \pi} \left(\frac{\operatorname{th} 5,916 \lambda}{5,916 \lambda} - \right. \\ &- \left. \frac{\operatorname{th} 3,063 \lambda}{3,063 \lambda} \right) [2 C_1 (\cos 3,222 \theta_1 - \cos 3,222 \theta_2) - 0,32 (\sin 3,222 \theta_1 + \end{aligned}$$

$$+ \sin 3,222 \theta_2) - \frac{1}{3,444\pi} \left(\frac{\text{th } 5,916 \lambda}{5,916 \lambda} - \frac{\text{th } 3,296 \lambda}{3,296 \lambda} \right) [1,5 C_1 (\cos 3,444 \theta_1 - \cos 3,444 \theta_2) - 0,35 (\sin 3,444 \theta_1 + \sin 3,444 \theta_2)] - \frac{1}{5,444\pi} \left(\frac{\text{th } 5,916 \lambda}{5,916 \lambda} - \frac{\text{th } 5,332 \lambda}{5,332 \lambda} \right) [1,5 C_1 (\cos 5,444 \theta_1 - \cos 5,444 \theta_2) - 0,35 (\sin 5,444 \theta_1 + \sin 5,444 \theta_2)]. \quad (25)$$

Pentru rezultanta presiunilor \bar{P} , notind

$$\left. \begin{aligned} \bar{O}_a &= \frac{\bar{P}_a \rho}{2\mu_1 (\Omega + 2\phi) h^2} \\ \bar{O}_i &= \frac{\bar{P}_i \rho}{2\mu_1 (\Omega + 2\phi) h^2} \end{aligned} \right\} \quad (26)$$

coeficienții \bar{O}_a și \bar{O}_i au aceleași expresii ca și coeficienții O_a și O_i corespunzător regimului de lucru permanent, a căror expresie analitică este dată în lucrarea citată [2], unde au fost calculați în diferite cazuri, rezultatele fiind reprezentate sub formă de diagrame.

Astfel cele două proiecții ale rezultantei presiunilor vor fi

$$\left. \begin{aligned} P_a &= \bar{P}_a + \bar{P}_i = \frac{2\mu_1 (\Omega + 2\phi) h^2}{\rho} \bar{O}_a + \frac{12\mu_1 r^2 h^2}{\rho} \bar{O}_i \\ P_i &= \bar{P}_i + \bar{P}_a = \frac{2\mu_1 (\Omega + 2\phi) h^2}{\rho} \bar{O}_i + \frac{12\mu_1 r^2 h^2}{\rho} \bar{O}_a \end{aligned} \right\} \quad (27)$$

Momentul forțelor de frecare pe fus și pe cuzinet [2]

$$M(M_1) = - \int_{-\theta_1}^{\theta_2} \int_{-\frac{\pi}{2}}^{\frac{\pi}{2}} r^2 \mu \left(\frac{\partial u}{\partial y} \right)_{y=0} d\theta ds, \quad (28)$$

$$= - \frac{1}{2\mu} \frac{\partial u}{\partial x} y (y - b) + V_{11} \left(1 - \frac{y}{b} \right) + V_{12} \frac{y}{b}, \quad (29)$$

în care [1]

$$\left. \begin{aligned} V_{11} &= r\Omega \\ V_{12} &= -s \sin \theta - e \phi \cos \theta \end{aligned} \right\} \quad (30)$$

Deoarece $p = \bar{p} + \bar{p}$, vom pune

$$u = \bar{u} + \bar{u}. \quad (31)$$

în care

$$\left. \begin{aligned} \bar{u} &= \frac{1}{2\mu} \frac{\partial \bar{u}}{\partial x} y (y - b) + V_{11} \left(1 - \frac{y}{b} \right), \\ \bar{u} &= \frac{1}{2\mu} \frac{\partial \bar{u}}{\partial x} y (y - b) + V_{12} \frac{y}{b}, \end{aligned} \right\} \quad (32)$$

Iar momentele de frecare corespunzătoare le vom nota cu $\bar{M}(M_1)$, respectiv cu $\bar{M}(M_2)$.

Astfel, integrind prin părți și ținind seama că $\mu = \mu_1 \frac{b}{r}$,

$$\bar{M}(M_1) = \frac{\mu_1 h^2}{\rho} (s \cos \theta_1 - \cos \theta_2) \pm \frac{e}{b} \bar{P}_a \quad (33)$$

și

$$\bar{M}(M_2) = \frac{\mu_1 h^2}{\rho} [s (\cos \theta_1 - \cos \theta_2) + e \phi (\sin \theta_1 + \sin \theta_2)] \pm \frac{e}{b} \bar{P}_i \quad (34)$$

Momentul total al forțelor de frecare va fi dat de suma momentelor \bar{M} și \bar{M} , adică

$$M = \frac{\mu_1 h^2}{\rho} [r\Omega (\theta_1 + \theta_2) + s (\cos \theta_1 - \cos \theta_2) + e \phi (\sin \theta_1 + \sin \theta_2)] \pm \frac{e}{b} P_a \quad (35)$$

În sfârșit, debitul de lubrifiant care trece prin lagăr este

$$Q = \int_{-\theta_1}^{\theta_2} \int_{-\frac{\pi}{2}}^{\frac{\pi}{2}} (u)_{y=b} dy d\theta \quad (36)$$

sau, ținind seama de relația (28),

$$Q = (V_{11} + V_{12})_{\theta=\theta_1}^{\theta_2} \frac{b}{2} \cos \theta - \frac{e}{12\mu_1} \cos^2 \theta \int_{-\frac{\pi}{2}}^{\frac{\pi}{2}} \left(\frac{\partial u}{\partial y} \right)_{y=0} dy d\theta, \quad (37)$$

ultima integrală efectuându-se fără dificultăți, dacă se ține seama de expresiile funcțiilor \bar{p} [2] și \bar{p} (15) a căror sumă este egală cu presiunea p .

De-a notăm acum cu e_0 , Ω_0 valori de referință, constante pentru excentricitatea și viteza unghiulară de rotație și cu

$$\left. \begin{aligned} \zeta &= \frac{r^2 \Omega_0}{2\mu_1 \Omega_0 h^2} & O_a &= \frac{P_a \rho}{2\mu_1 \Omega_0 h^2} \\ & & O_i &= \frac{P_i \rho}{2\mu_1 \Omega_0 h^2} \end{aligned} \right\} \quad (38)$$

atunci

$$\zeta = \sqrt{C_n^2 + C_t^2} \quad (39)$$

Iar coeficienții C_n și C_t , în funcție de coeficienții calculați \bar{C}_n, \bar{C}_t și \bar{C}_n, \bar{C}_t , sînt ținînd seama de relațiile (27),

$$\left. \begin{aligned} C_n &= \left(\frac{\Omega}{\Omega_0} + \frac{2\Theta}{\Omega_0} \right) \frac{e}{e} \bar{C}_n + 6 \frac{e}{e} \frac{e}{e} \bar{C}_n \\ C_t &= \left(\frac{\Omega}{\Omega_0} + \frac{2\Theta}{\Omega_0} \right) \frac{e}{e} \bar{C}_t + 6 \frac{e}{e} \frac{e}{e} \bar{C}_t \end{aligned} \right\} \quad (40)$$

În mod analog, dacă se notează

$$C_n(C_{nn}) = \frac{M(M_0) e_0}{\pi \mu_1 \Omega_0 b^3} \quad (41)$$

atunci

$$\left. \begin{aligned} C_n &= \frac{e}{\pi} \frac{\Omega}{\Omega_0} (\theta_1 + \theta_2) + \frac{e}{\pi} \frac{e}{e} (\cos \theta_1 - \cos \theta_2) + \\ &+ \frac{e}{\Omega_0} (\sin \theta_1 + \sin \theta_2) \Big] + \frac{e}{e} C_n \\ C_{nn} &= \frac{e}{\pi} \frac{\Omega}{\Omega_0} (\theta_1 + \theta_2) + \frac{e}{\pi} \frac{e}{e} (\cos \theta_1 - \cos \theta_2) + \\ &+ \frac{e}{\Omega_0} (\sin \theta_1 + \sin \theta_2) \Big] - \frac{e}{e} C_n \end{aligned} \right\} \quad (42)$$

Unghiul făcut de direcția sarcinii cu linia centrelor este egal cu

$$\operatorname{tg} \theta^* = \frac{C_t}{C_n} \quad (43)$$

*

În acest mod, toate elementele care interesează sînt determinate, dacă se cunosc:

— caracteristicile geometrice ale lagăzului adică raza r a fusului, lățimea b și unghiul de înfășurare al cuzinetului

$$\Theta = \theta_1 + \theta_2 \quad (44)$$

și

— caracteristicile lui funcționale, adică variația vitezei unghiulare de rotație a fusului în funcție de timp $\Omega = \Omega(t)$, a excentricității $e = e(t)$ și a parametrului

$$\frac{e}{\Omega} = v = v(t) \quad (45)$$

Mărimile Θ și v înlocuiesc variabilele θ_1 și θ_2 , iar

$$\dot{v} = \frac{e}{\Omega} \quad (46)$$

În cazurile reale se întîlnește de cele mai multe ori problema inversă și anume: se cunoaște sarcina $P(t)$ și direcția ei, și variația vitezei unghiulare $\Omega(t)$ în raport cu timpul. În schimb sînt necunoscute excentricitatea e și poziția liniei centrelor v .

Pentru determinarea necunoscutelor problemei e și v se pot scrie două condiții de echilibru și anume ca lagărul să suporte sarcina dată, adică rezultanta presiunilor să fie egală în fiecare moment cu sarcina dată și să aibă aceeași direcție cu a sarcinii. Aceste condiții se scriu ținînd seama de relațiile (38), (40) și (46), sub forma

$$\left. \begin{aligned} \frac{2\mu_1 \Omega_0 b^3}{e} \left\{ \left(\frac{\Omega}{\Omega_0} + \frac{2\Theta v}{\Omega_0} \right) \frac{e}{e} \bar{C}_n + 6 \frac{e}{e} \frac{e}{e} \bar{C}_n \right\} &= P \sin \theta^* \\ \frac{2\mu_1 \Omega_0 b^3}{e} \left\{ \left(\frac{\Omega}{\Omega_0} + \frac{2\Theta v}{\Omega_0} \right) \frac{e}{e} \bar{C}_t + 6 \frac{e}{e} \frac{e}{e} \bar{C}_t \right\} &= P \cos \theta^* \end{aligned} \right\} \quad (47)$$

În același timp, notînd de exemplu cu $\gamma(t)$ unghiul făcut de direcția sarcinii cu marginea de intrare a cuzinetului ($\theta = -\theta_1$), atunci

$$\gamma = \theta_1 + \theta^* \quad (48)$$

sau, ținînd seama de relațiile (44) și (45),

$$\theta^* = \gamma - \Theta (1 - v) \quad (49)$$

Introducînd această expresie pentru θ^* în relațiile (47) și ținînd seama că

$$\left. \begin{aligned} \bar{C}_n &= \bar{C}_n[\Theta, \lambda, v(t)], \quad \bar{C}_n = \bar{C}_n[\Theta, \lambda, v(t)], \\ \bar{C}_t &= \bar{C}_t[\Theta, \lambda, v(t)], \quad \bar{C}_t = \bar{C}_t[\Theta, \lambda, v(t)], \end{aligned} \right\} \quad (50)$$

sistemul (47) rezultă ca fiind compus din două ecuații diferențiale ordinare de ordinul I în raport cu necunoscutele e și v .

Acest sistem este neliniar și în general greu de rezolvat în mod riguros. Înmulțind prima ecuație cu \bar{C}_t , a doua cu \bar{C}_n și scăzîndu-le, se obține ecuația

$$\begin{aligned} &\frac{2\mu_1 \Omega_0 b^3}{e} \left(\frac{\Omega}{\Omega_0} + \frac{2\Theta v}{\Omega_0} \right) \frac{e}{e} (\bar{C}_n \bar{C}_t - \bar{C}_t \bar{C}_n) = \\ &= P (\bar{C}_t \sin[\gamma - \Theta(1-v)] - \bar{C}_n \cos[\gamma - \Theta(1-v)]), \end{aligned} \quad (51)$$

sau

$$\dot{v} = \frac{e^2 P \{ \bar{C}_t \sin[\gamma - \Theta(1-v)] - \bar{C}_n \cos[\gamma - \Theta(1-v)] \}}{4\mu_1 \Omega_0 b^3 \Theta (\bar{C}_n \bar{C}_t - \bar{C}_t \bar{C}_n)} - \frac{\Omega}{2e} = f(v, e, t) \quad (52)$$

7344 Gross
 Constantinescu, V.N.
 Calculul lagarelor fara joc radial supuse la forte si viteze variabile
 Studii și cercetari de mecanica aplicata, Tomul VIII, nr. 3, 1957,
 pp. 1-16

Deoarece $6 \varepsilon \frac{\Omega}{\Omega_0} = 0,3$ pentru cazul considerat, iar de obicei $\frac{\cos \Omega_1 t}{1 + \varepsilon \sin \Omega_1 t} < 1$, rezultă că influența coeficienților \bar{C}_n și \bar{C}_i este redusă.

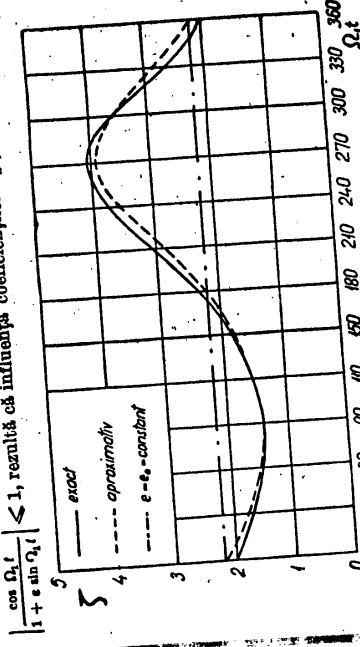


Fig. 3

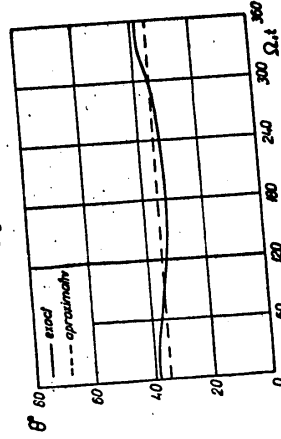


Fig. 4

Astfel în figura 3 și figura 4 s-au reprezentat variația coeficientului de încreștere $\zeta = \sqrt{C_1^2 + C_2^2}$ (39) și a unghiului θ^* în funcție de $\Omega_1 t$ pentru un ciclu în două ipoteze: calculând în mod exact cu ajutorul relațiilor (65) sau neglijând contribuția coeficienților \bar{C}_i și \bar{C}_n . Se vede că diferențele sînt mici și, mai mult, decît se urmărește problema inversă expusă

Sistemul format din ecuația (52) și una din ecuațiile (47) poate fi rezolvat prin aproximații succesive, în felul următor. În ecuația (52) se consideră o anumită valoare particulară pentru ε , de exemplu $\varepsilon = \varepsilon_0$ (excentricitatea corespunzătoare sarcinii medii P_m). Atunci ecuația (52) este o ecuație diferențială în v , $v = f_0(v, \varepsilon_0, t)$. Fie soluția acestei ecuații $v = v_0(t)$. Introducînd această valoare de exemplu în prima ecuație (47), se obține o ecuație diferențială în ε :

$$\dot{\varepsilon} = \frac{e^2 P \sin [v - \theta(1 - \nu)]}{12 \mu_1 h^3 \bar{C}_n(v)} - \left(\frac{\Omega}{\Omega_0} + \frac{2\theta v_0}{\Omega_0} \right) \frac{e \bar{C}_n(v_0)}{\bar{C}_n(v_0)} = f_\varepsilon(\varepsilon, t) \quad (53)$$

a cărei soluție fie $\varepsilon = \varepsilon_1(t)$. Cu această valoare, introdușă în ecuația (52), vom obține o nouă expresie $v = v_1(t)$, ș. a. m. d. Procedenti conduce înșă la calculul laborios.

★

Dat fiind că rezolvarea sistemului (47) conduce la calcule laborioase, pentru a găsi o metodă mai simplă de determinare a caracteristicilor mișcării să tratăm un exemplu pentru a ne da seama de ordinul de mărime și de influența diferiților factori care intervin în ecuațiile (47).

Astfel, fie pentru simplificarea un lagăr cu $\lambda = \cos \theta$ și $\theta = 120^\circ$ și să considerăm

$$\begin{aligned} \nu &= 0,65 \quad (\theta_2 = 42^\circ, \theta_1 = 78^\circ), \\ \Omega &= \Omega_0 = \text{const.}, \\ \varepsilon &= \varepsilon_0 (1 + \varepsilon \sin \Omega_1 t), \quad \varepsilon = 0,25, \quad \Omega_1 = \frac{\Omega_0}{5}, \\ \dot{\varphi} &= \dot{\varphi} = 0. \end{aligned} \quad (54)$$

Aceste date presupun deci viteza unghiulară a fusului și direcția liniei centrelor constante în timp. Variația excentricității sub forma de mai sus, corespunde în primă aproximație unei sarcini pulsatorii periodice, cu o frecvență de același ordin de mărime, cu cea a șocurilor la lagărele de vagonete, datorită trecerii roților peste rosturile de la șinele de cale ferată.

În aceste condiții, din relația (6) rezultă constantele care determină soluția \bar{P}_n , $C_1 = 0,618$, $C_2 = -1,902$. Formulele (24) și (25) dau astfel soluția \bar{P}_n , rezultă în mod analog [2], $\bar{C}_n = 1,26$, $\bar{C}_i = 1,80$.

Coefficienții C_n și C_i (40) sînt astfel egali cu

$$\begin{aligned} C_n &= \frac{1}{(1 + \varepsilon \sin \Omega_1 t)^2} \left(\bar{C}_n + 6 \varepsilon \frac{\Omega_1}{\Omega_0} \frac{\cos \Omega_1 t}{1 + \varepsilon \sin \Omega_1 t} \bar{C}_n \right), \\ C_i &= \frac{1}{(1 + \varepsilon \sin \Omega_1 t)^2} \left(\bar{C}_i + 6 \varepsilon \frac{\Omega_1}{\Omega_0} \frac{\cos \Omega_1 t}{1 + \varepsilon \sin \Omega_1 t} \bar{C}_i \right). \end{aligned} \quad (55)$$

Constantinescu, V.N. 7344 Cross
 Calculul lagarelor fara joc radial supuse la forte si viteze variabile
 Studii si cercetari de mecanica aplicata, Tomul VIII, nr. 3, 1957,
 pp. 1-16

anterior (când se cunoaște sarcina și trebuie să se determine excentricitatea), eroarea făcută este acoperitoare. Într-adevăr, din figura 3 se constată că, neglijând aportul termenilor \bar{O}_n și \bar{O}_i , se obține o sarcină maximă mai redusă, adică soluția \bar{p} , contribuie la creșterea capacității portante atunci când fusul tinde să se apropie de cuzinet. Este evident deci că neglijarea soluției \bar{p} introduce astfel o aproximație în calcule acoperitoare.

Rezultă deci că, cel puțin într-o primă aproximație, se poate neglija influența termenilor \bar{O}_n și \bar{O}_i . În aceste condiții, calculele se simplifică apreciabil.

Astfel relațiile (49) și (47) se scria

$$\gamma(t) = \theta^* (v) + \Theta (1 - v) \quad (56)$$

și

$$2\mu \frac{h^2 (\Omega + 2\Theta \dot{\gamma})}{P} \zeta = P(t) \quad (57)$$

Cunoscând pe $\gamma(t)$, ecuația (56) permite determinarea parametrului $v(t)$. Rezolvarea acestei ecuații în v se poate face prin încercări fără dificultăți, cu ajutorul diagramei 10 din lucrarea [2] care dă variația unghiului θ^* în funcție de v . Evident, dacă $\gamma(t) = \text{const.}$, $\theta^* = \text{const.}$, și rezultă $v = \text{const.}$, $\dot{v} = 0$.

O dată cunoscut $v = v(t)$, din relația (57) rezultă variația excentricității:

$$e = \sqrt{\frac{2\mu h^2 (\Omega + 2\Theta \dot{\gamma})}{P} \zeta} \quad (58)$$

și se poate trasa variația grosimii minime δ , a filmului de lubrifiant în funcție de timp,

$$\delta = e \cos \theta = e \cos (v \Theta), \quad (59)$$

putînd verifica astfel dacă tot timpul δ , rămîne mai mare decît o valoare minimă pînă la care regimul de ungere își mai păstrează caracterul hidrodinamic.

Dacă sarcina suportată de lagăr suferă variații rapide în mărime și direcție, este posibil ca aproximațiile făcute să fie destul de mari. Acest lucru poate fi verificat, plecînd de la valorile calculate pentru v și e , și determinînd cu ajutorul relațiilor (47) influența termenilor neglijați. În acest mod se poate îmbunătăți precizia calculului, efectuînd o a doua aproximație, considerînd în calculul termenilor care conțin soluția \bar{p} , variațiile parametrilor e și v , determinați în modul simplu arătat mai sus.

Pentru o apreciere rapidă, ținînd seama de expresia (58) rezultă că termenul $\frac{\dot{e}}{e\Omega}$, de care depinde influența coeficienților \bar{O}_n și \bar{O}_i , este egal în prima aproximație cu

$$\frac{\dot{e}}{e\Omega} \approx \frac{1}{\Omega} \left[\frac{\dot{\Omega} + 2\Theta \dot{\gamma}}{\Omega + 2\Theta \dot{\gamma}} + \frac{\dot{\zeta}}{\zeta} - \frac{\dot{P}}{P} \right], \quad (60)$$

iar dacă direcția sarcinii rămîne constantă ($\dot{v} = \dot{\gamma} = \dot{\zeta} \approx 0$), termenul (60) poate fi calculat cu datele inițiale ale problemei,

$$\frac{\dot{e}}{e\Omega} \approx \frac{1}{\Omega} \left(\frac{\dot{\Omega}}{\Omega} - \frac{\dot{P}}{P} \right). \quad (61)$$

Dacă acest termen are valori relativ reduse, de exemplu dacă sub 80 % din ciclu $\frac{\dot{e}}{e\Omega} < 0,5$, metoda simplificată propusă este aplicabilă, obținîndu-se aproximații comparabile cu cele din exemplul prezentat (în care $\frac{\dot{e}}{e\Omega} < 0,3$).

Primită la redacție la 24 aprilie 1957.

РАСЧЕТ ПОДШИПНИКОВ БЕЗ РАДИАЛЬНОГО ЗАЗОРА
 ПРИ ПЕРЕМЕННЫХ НАГРУЗКАХ И СКОРОСТЯХ

(КРАТКОЕ СОДЕРЖАНИЕ)

Определяется распределение давлений на подшипниках без радиального зазора, подвергающихся действию переменных сил и скоростей, сначала в точной форме, а затем с некоторыми допущениями, в форме, применимой на практике. Рассчитывается равнодействующая давлений и моменты трения на шейке и на вкладыше, а затем при помощи этих результатов дается метод для расчета подшипника, когда известны относительные скорости поверхностей и их относительное положение, в зависимости от времени или нагрузки на подшипники в зависимости от времени.

LE CALCUL DES PALIERS SANS JEU RADIAL,
 SOUMIS À DES CHARGES ET VITESSES VARIABLES

(RÉSUMÉ)

On obtient la distribution des pressions pour les paliers sans jeu radial soumis à des charges et vitesses variables, d'abord sous une forme rigoureuse, ensuite, sous une forme utilisable dans les applications pratiques. On détermine le résultante des pressions ainsi que les moments de frottement du tourillon et du coussinet et, à l'aide de ces résultats, on donne une méthode de calcul des paliers, quand on connaît les vitesses relatives des surfaces et leurs positions relatives, en fonction du temps, ou bien la charge supportée par le palier, en fonction du temps.

Constantinescu, V.N. 7344 Gros.
Calculul lagarelor fara joc radial supuse la forte si viteze variabile .
Studii si gercetari de mecanica aplicata, Tomul VIII, nr. 3, 1957,
pp. 1-16

804

V. N. CONSTANTINESCU

16

BIBLIOGRAFIE

1. V. N. Constantinescu. *Lagare fără joc radial supuse la sarcini și viteze variabile.* Comunicările Acad. R.P.R., t. VI, nr. 11, noiembrie 1956, p. 1299.
2. — *Considerații asupra calculului lagarelor fără joc radial.* Studii și cercetări de mecanică aplicată, t. V, nr. 3-4, Iulie-decembrie 1954, p. 425.
3. N. Tipei. *Repartiția presiunilor în lagărele fără joc radial.* Bul. științ. Acad. R.P.R., Secția de științe tehnice și chimice, t. V, 1953, p. 13.

Approved For Release 2008/06/27 : CIA-RDP80T00246A005800550002-6

Page Denied

Approved For Release 2008/06/27 : CIA-RDP80T00246A005800550002-6